

FIG. 1

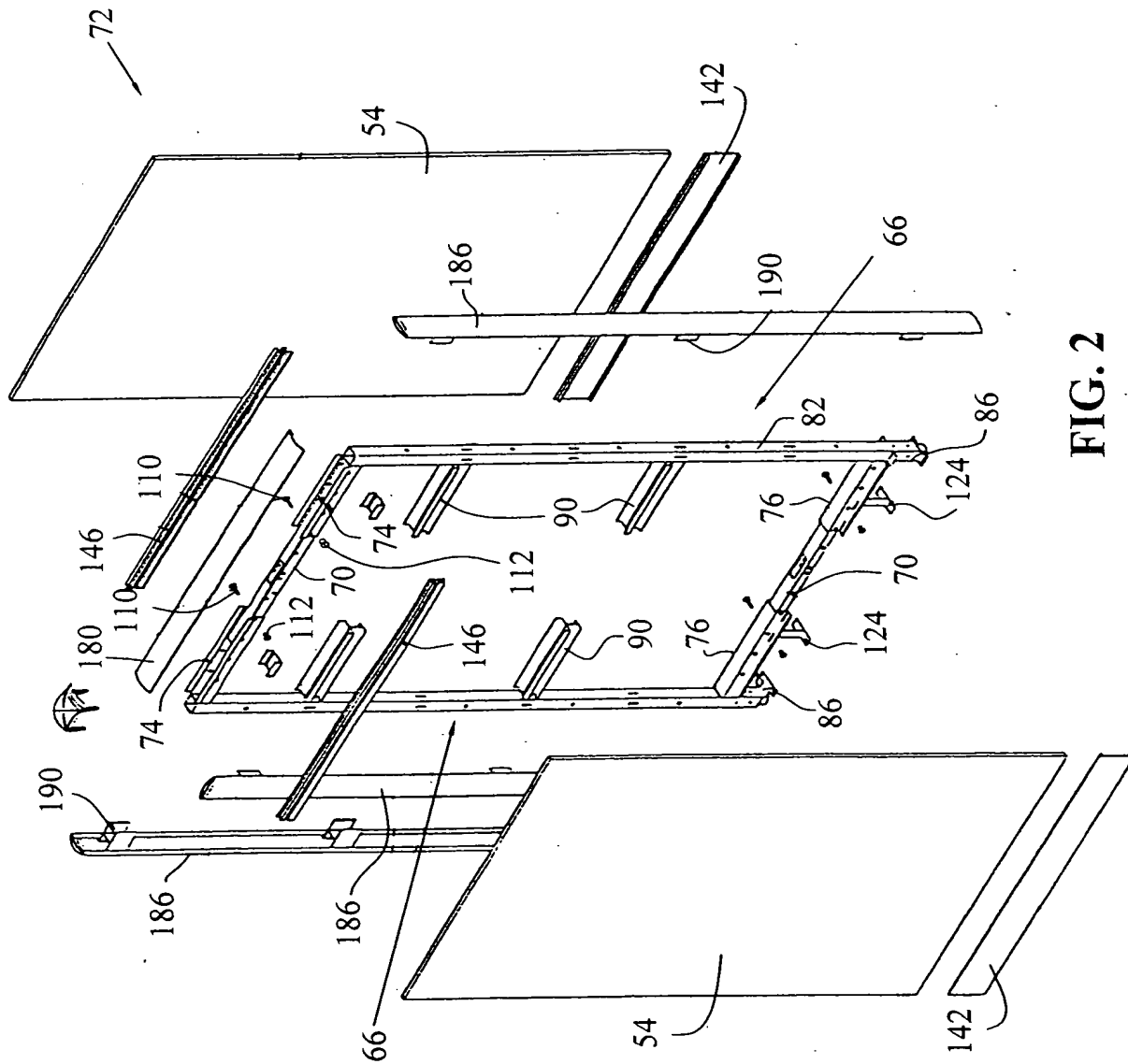


FIG. 2

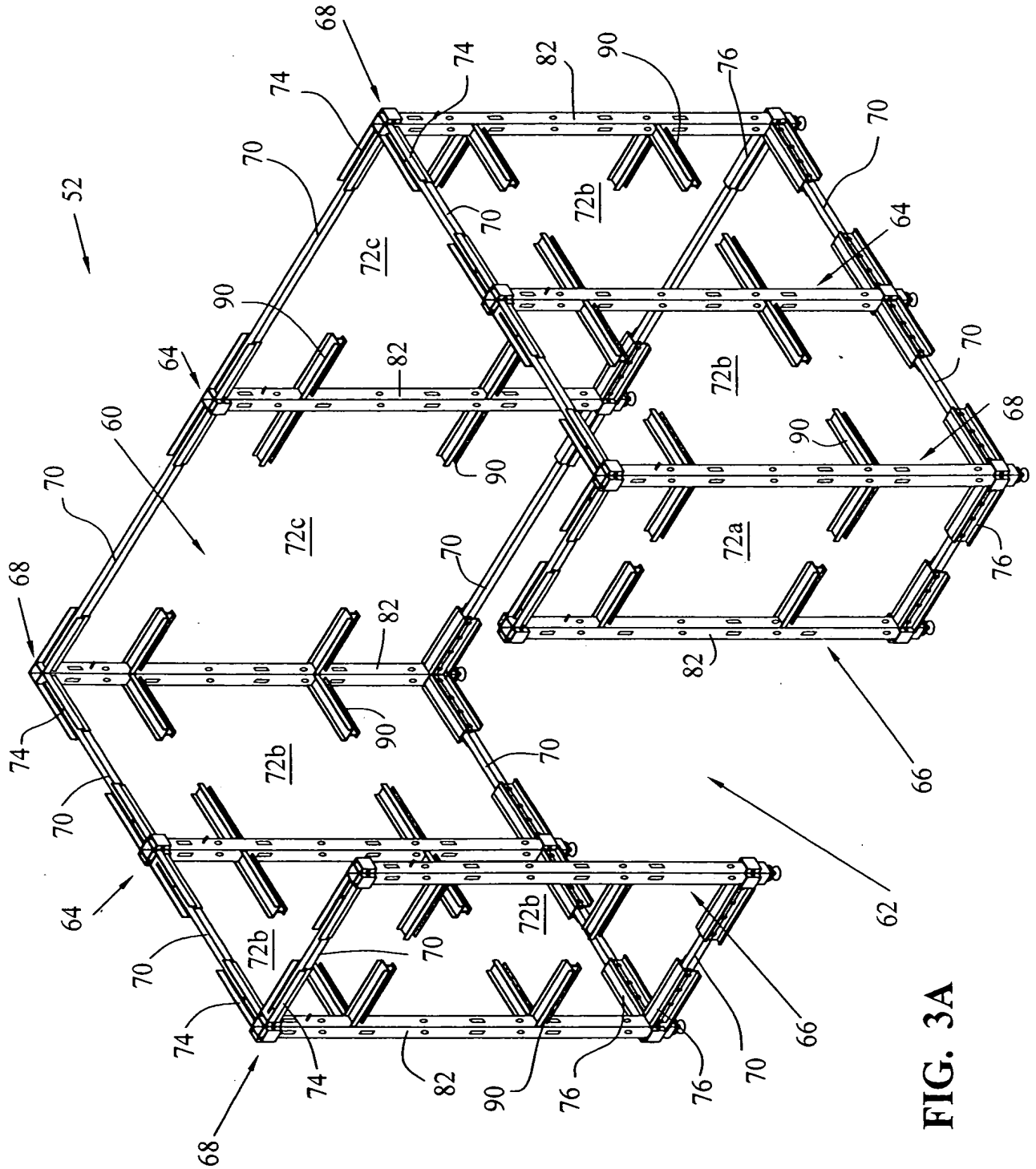


FIG. 3A

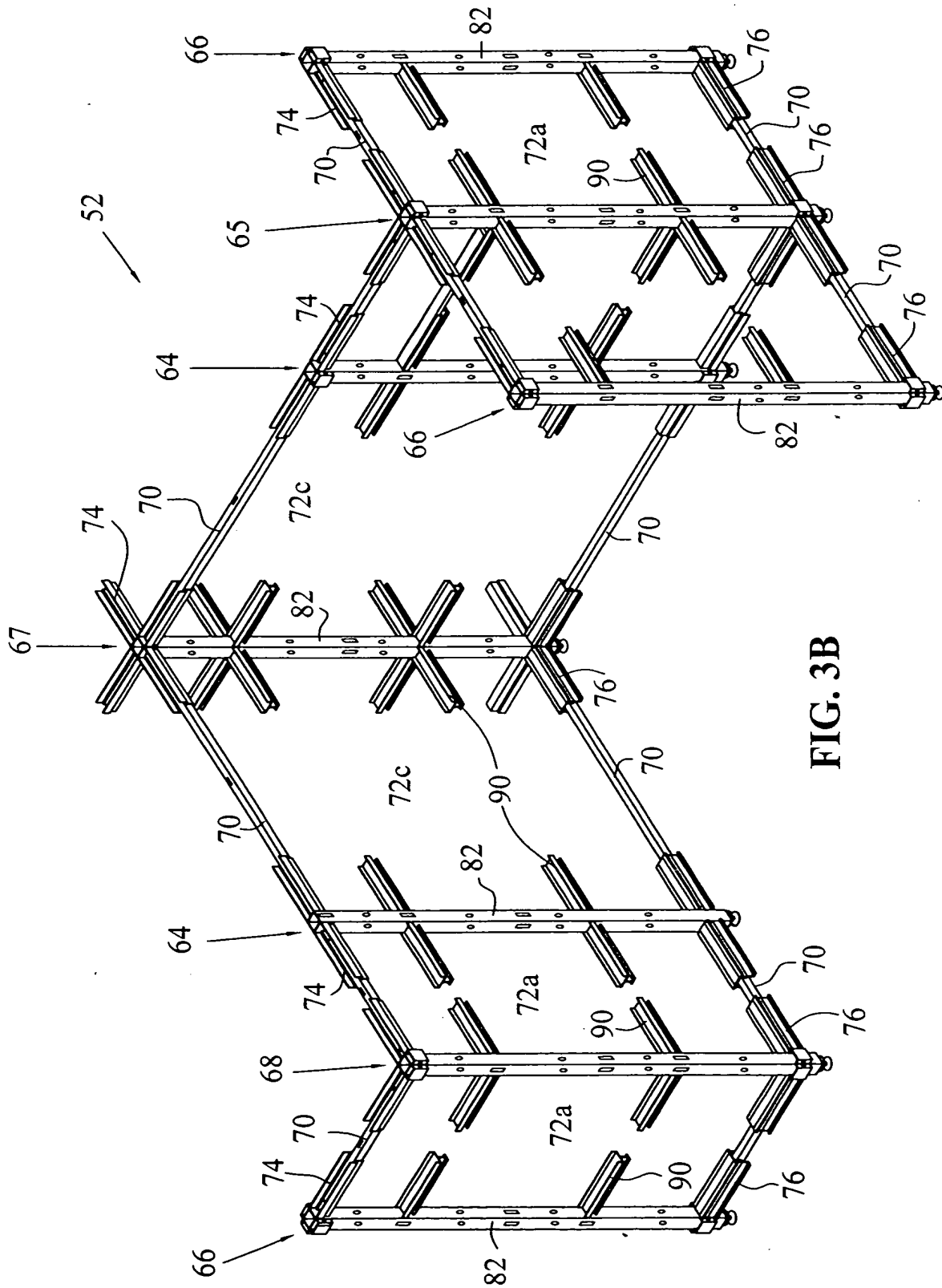


FIG. 3B

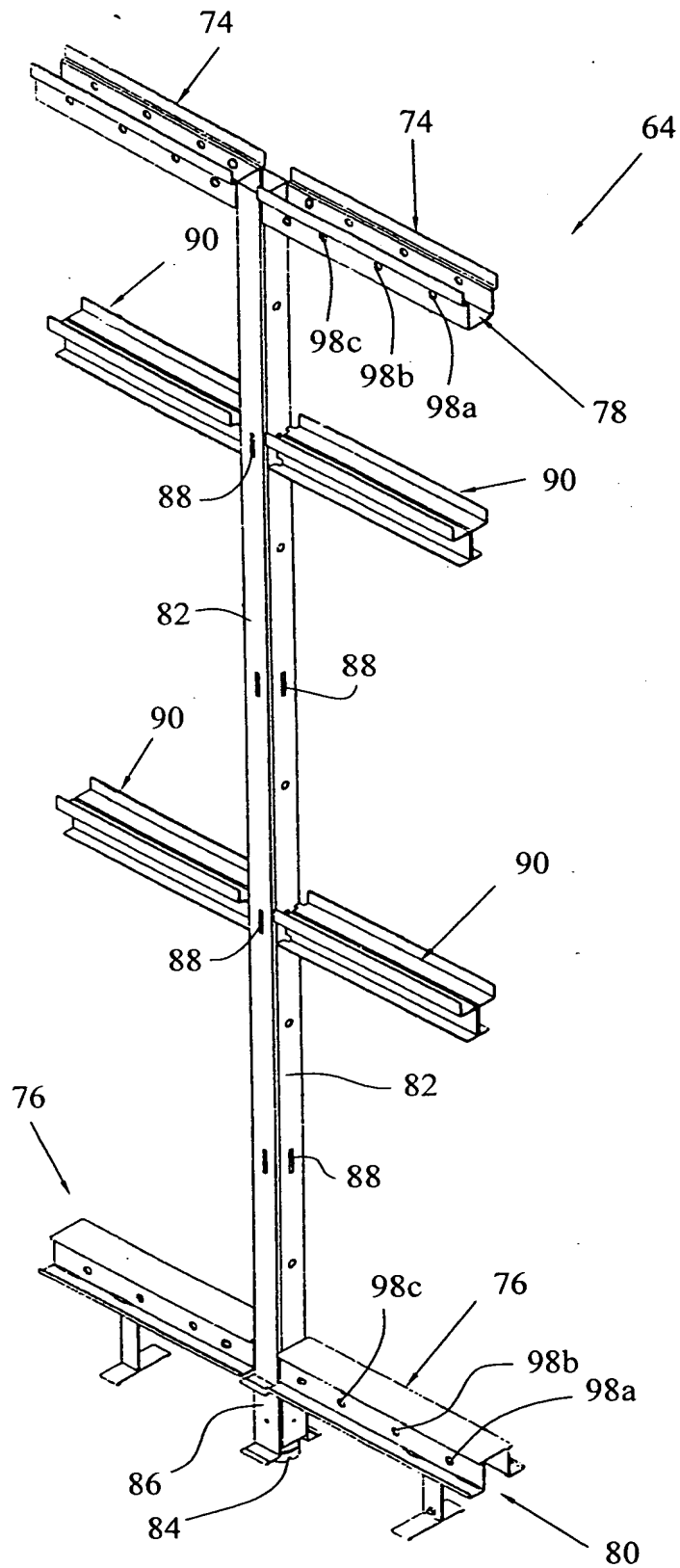
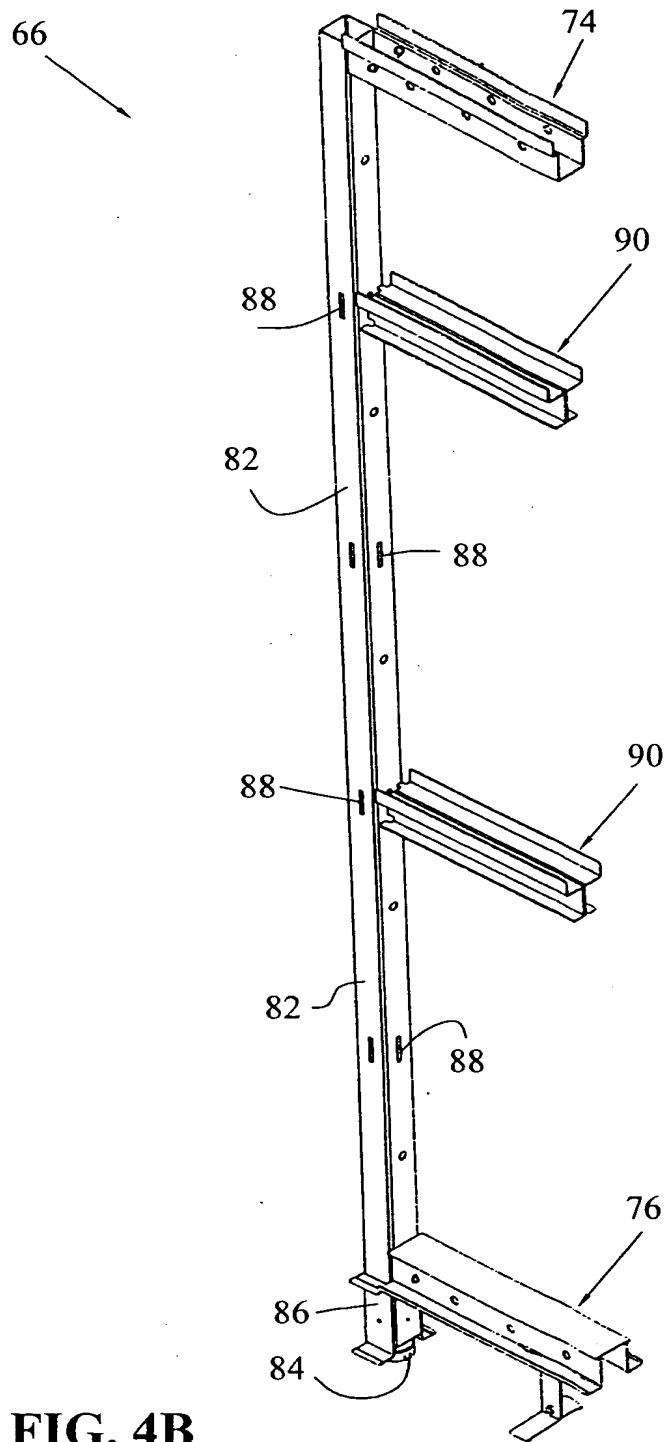


FIG. 4A



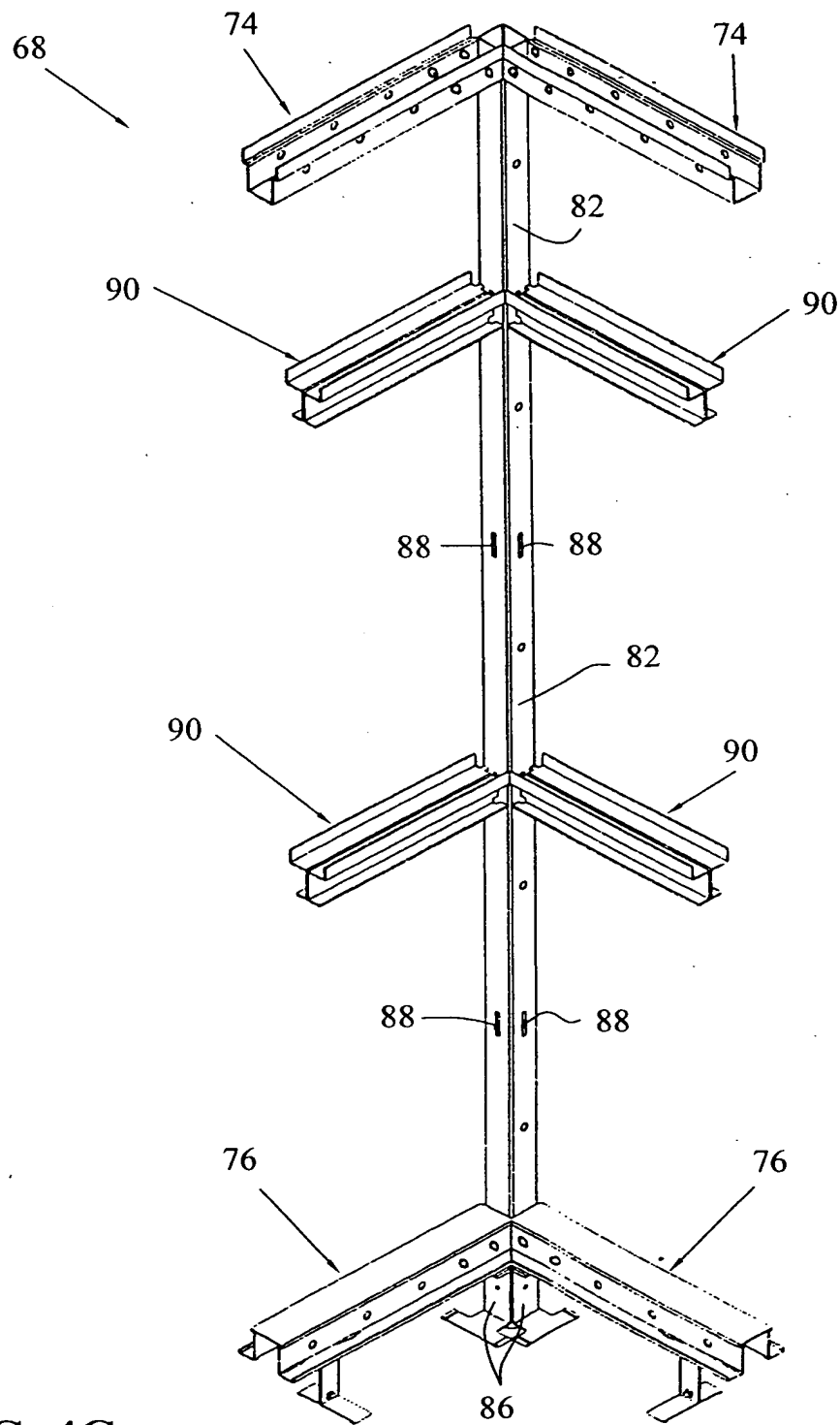


FIG. 4C

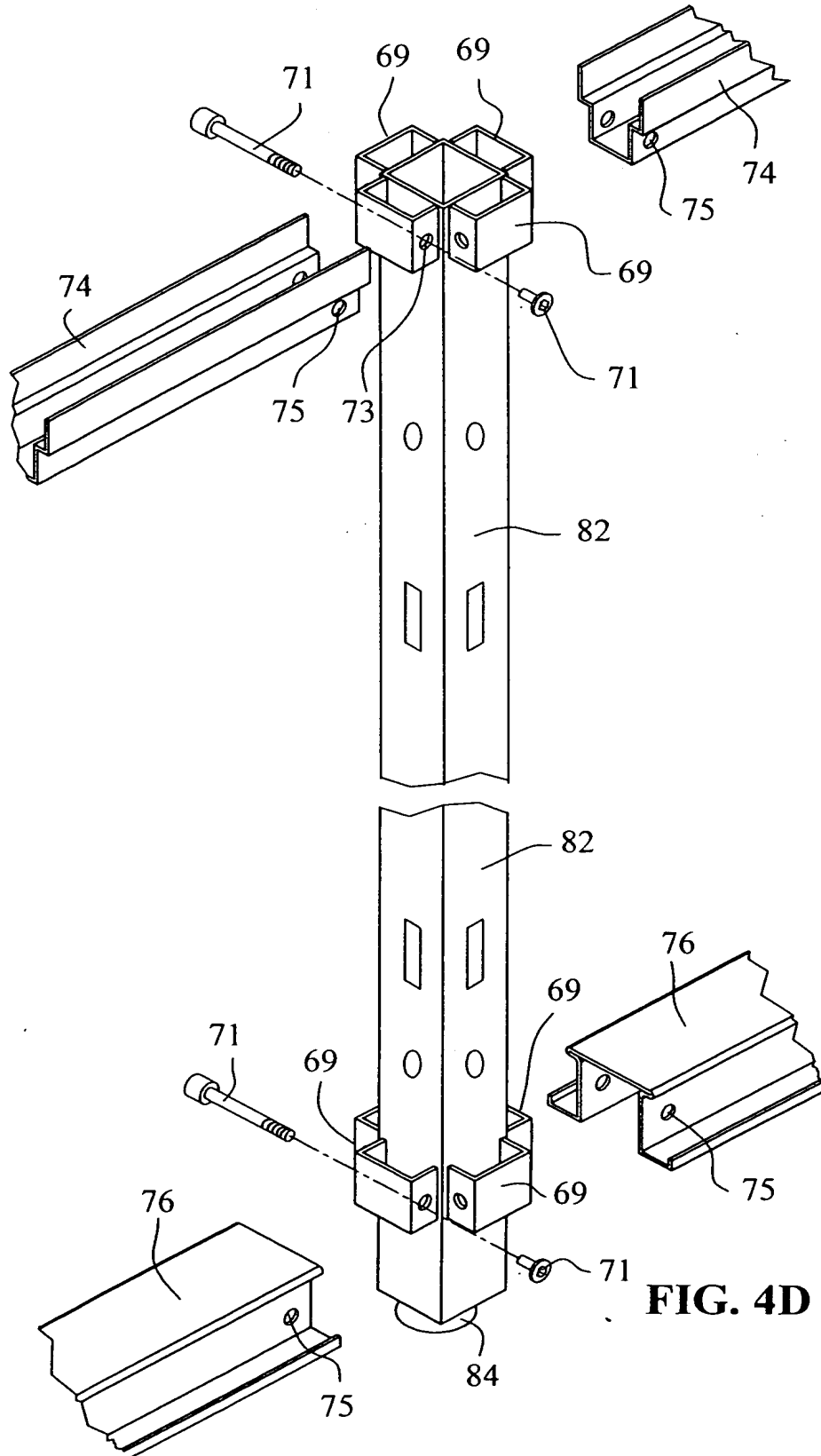


FIG. 4D

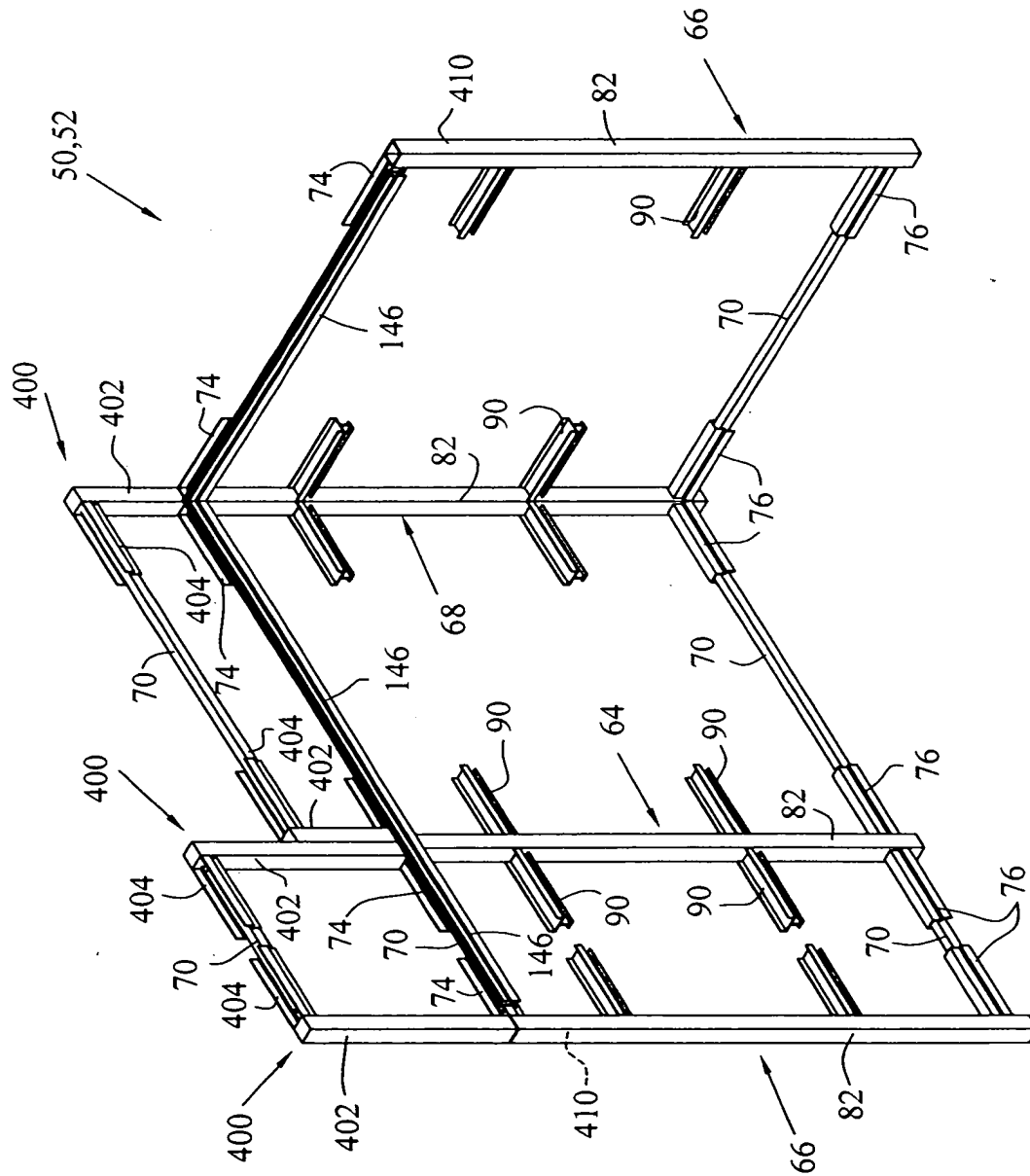
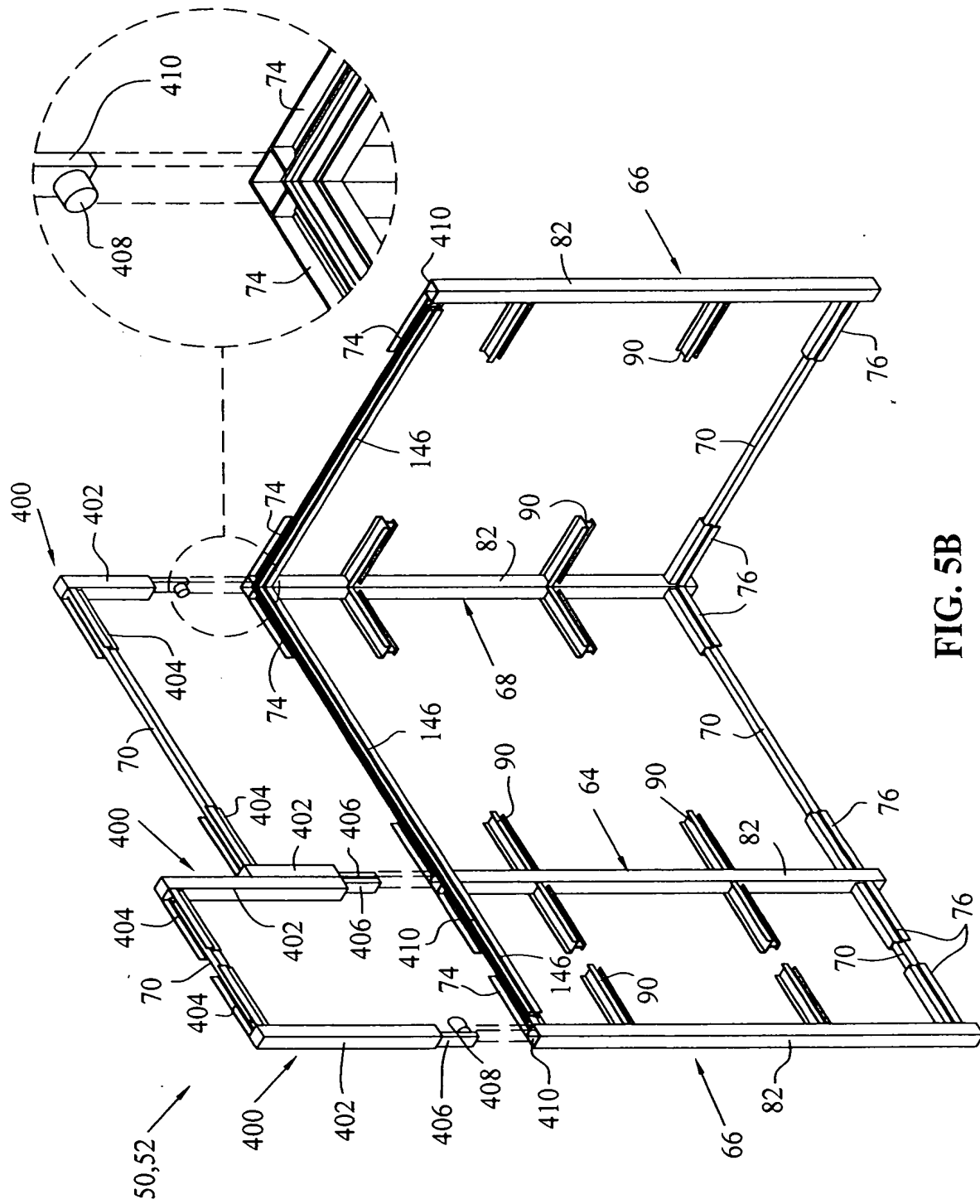


FIG. 5A



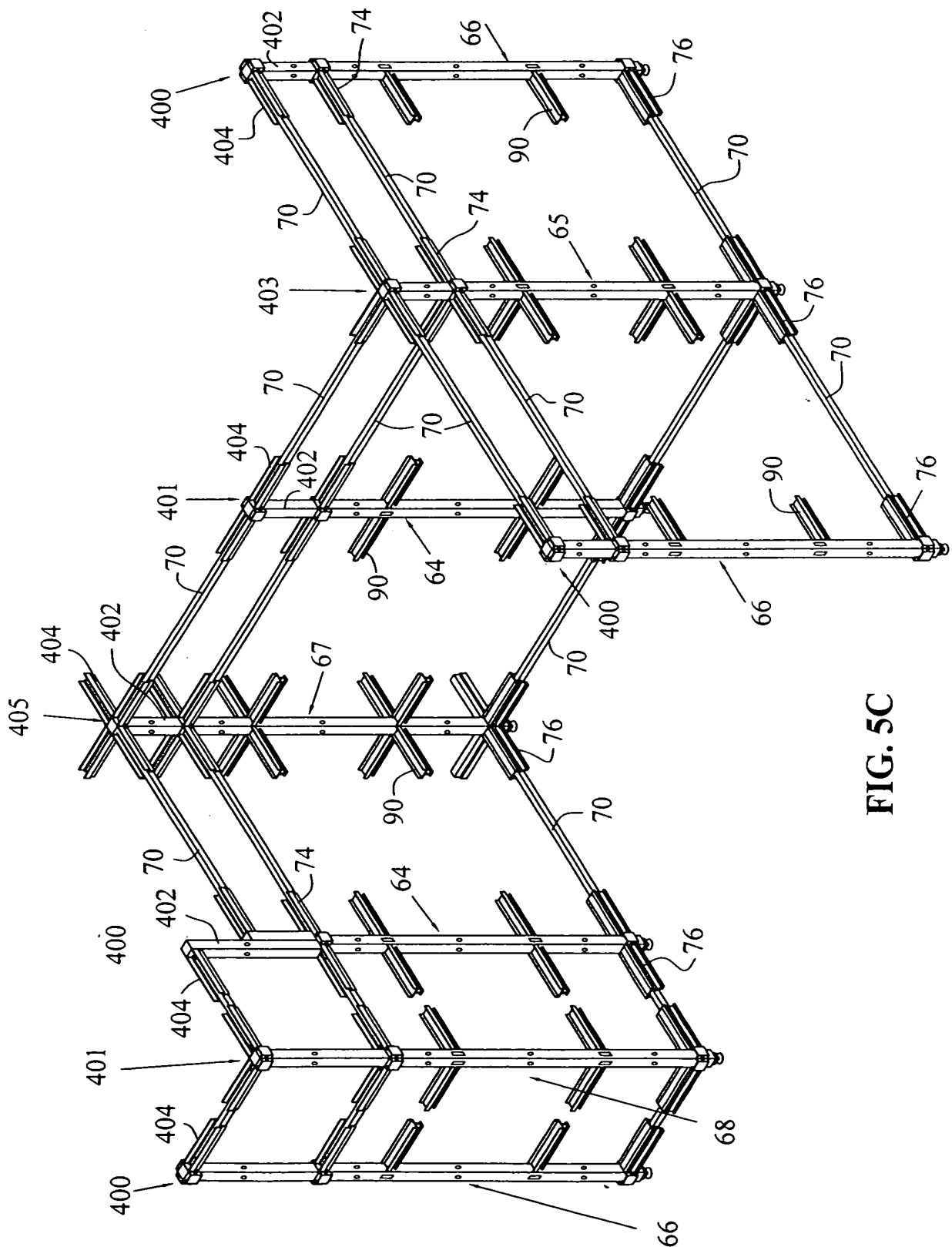


FIG. 5C

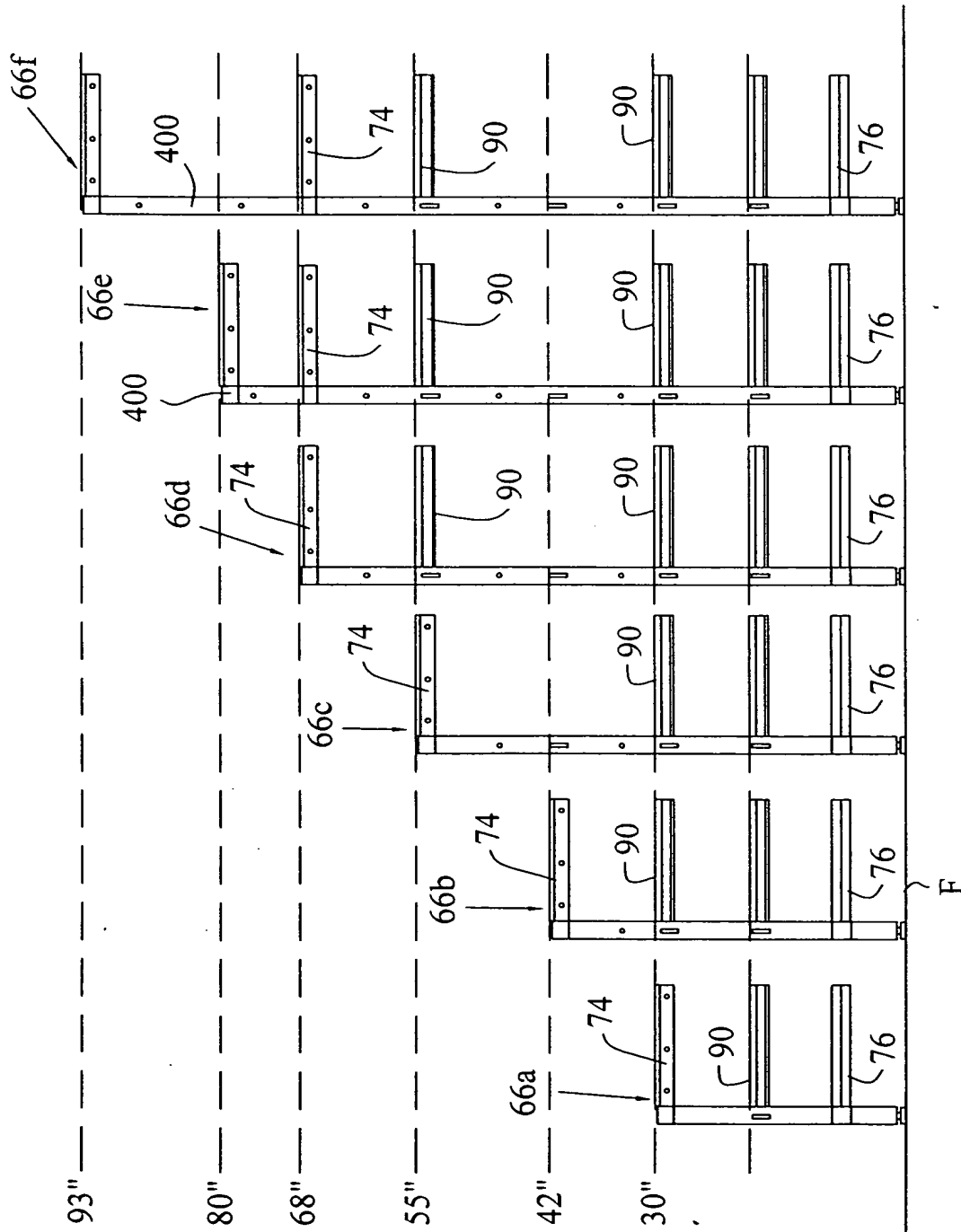


FIG. 5D

FIG. 6A

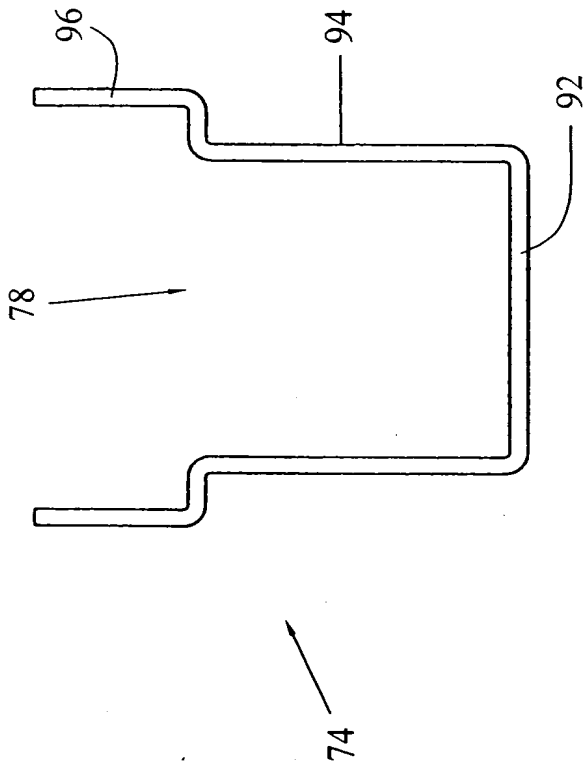
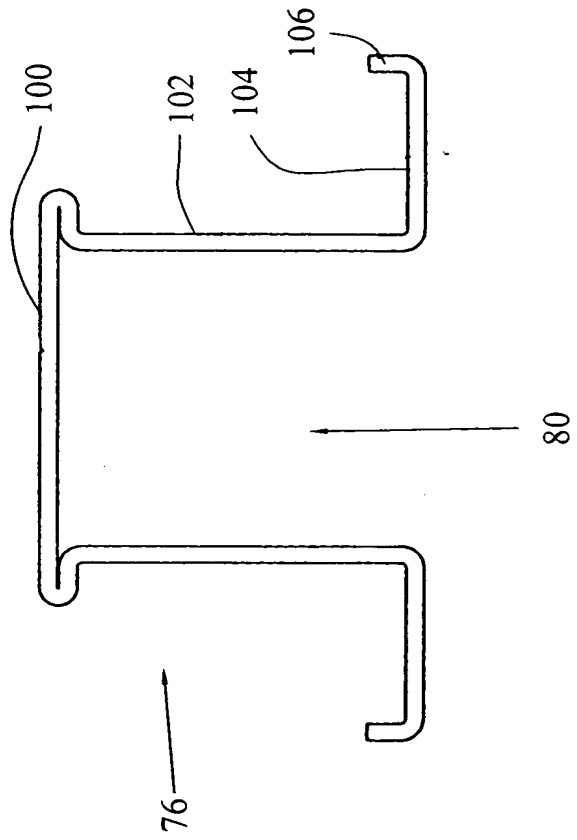


FIG. 6B



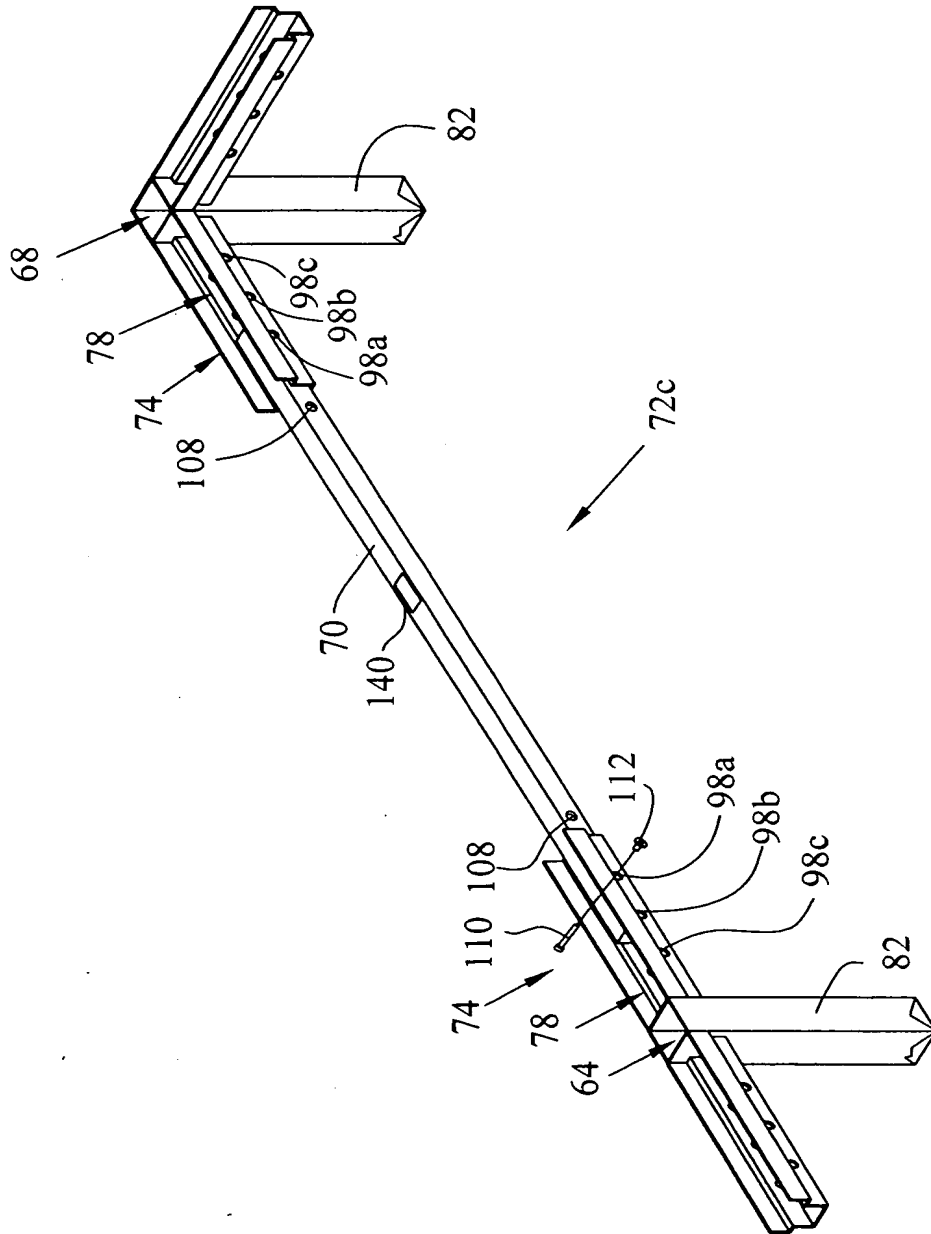


FIG. 7

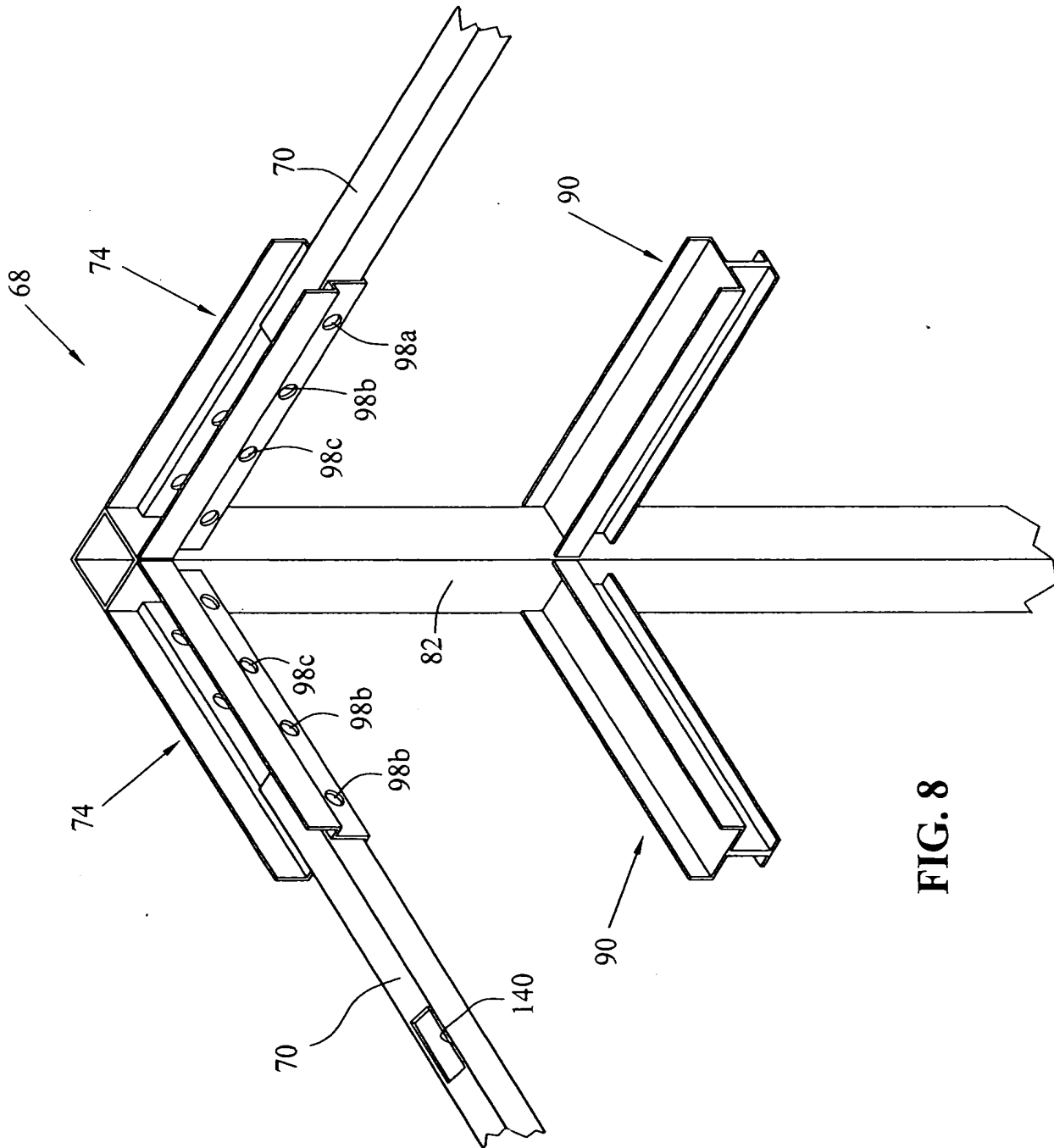


FIG. 8

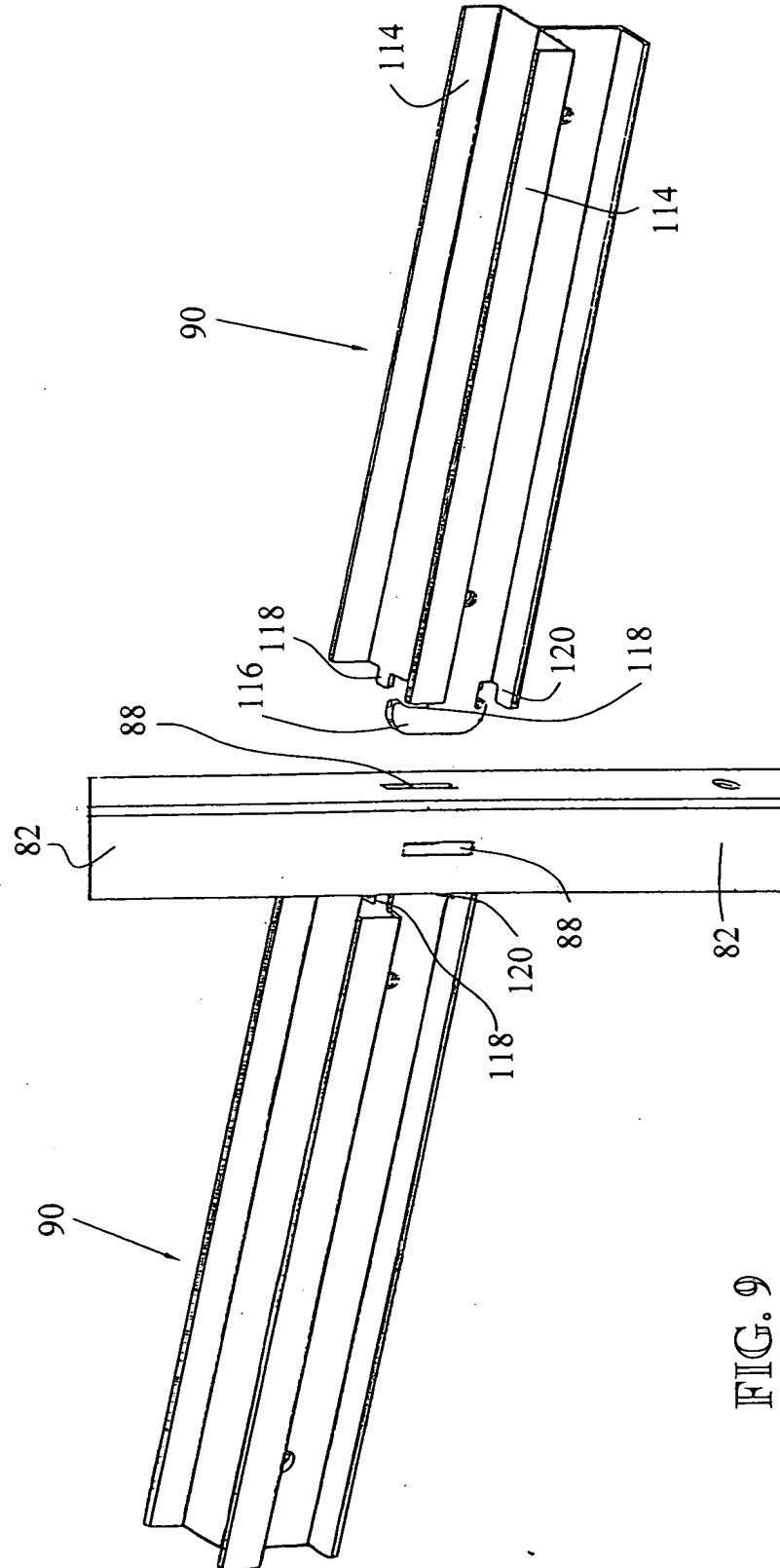


FIG. 9

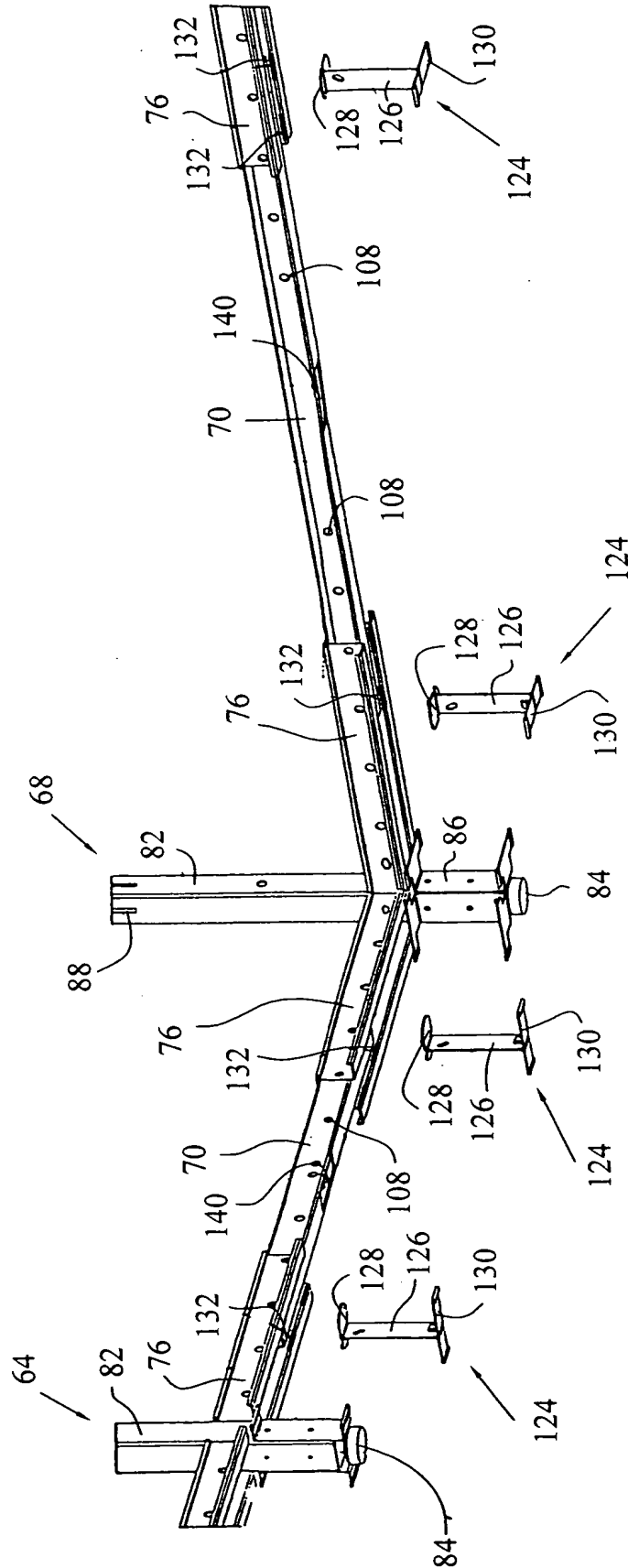


FIG. 10

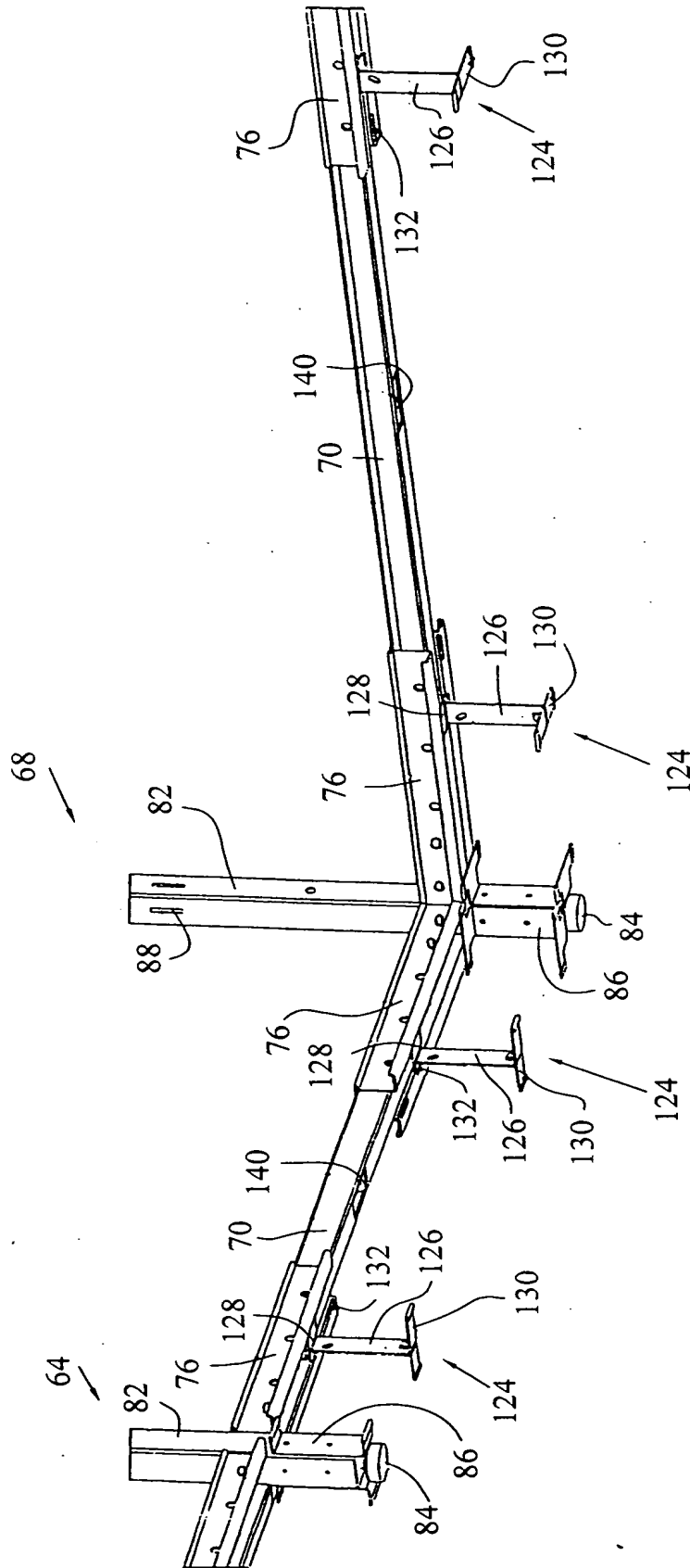


FIG. 11

Sheet 19 of 67

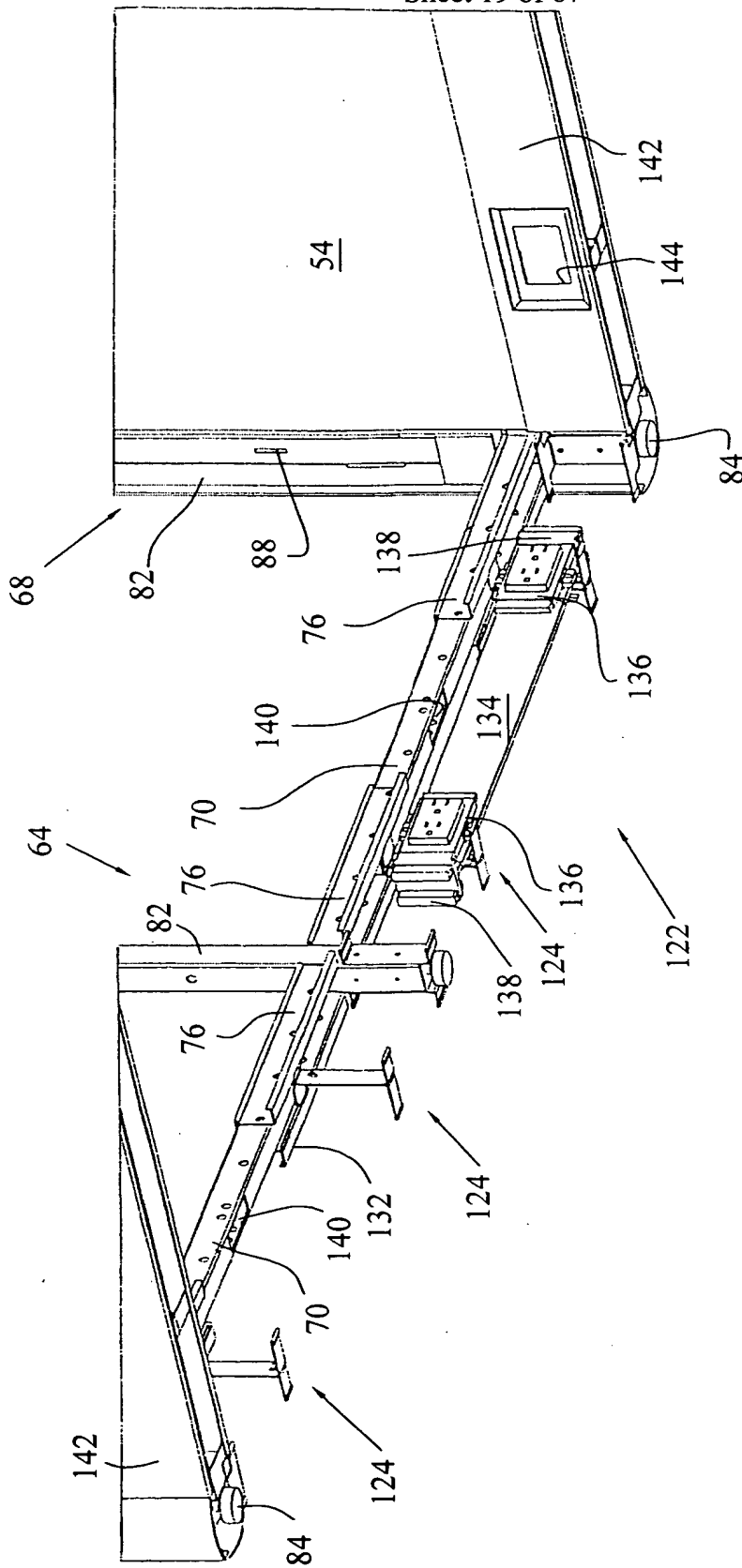
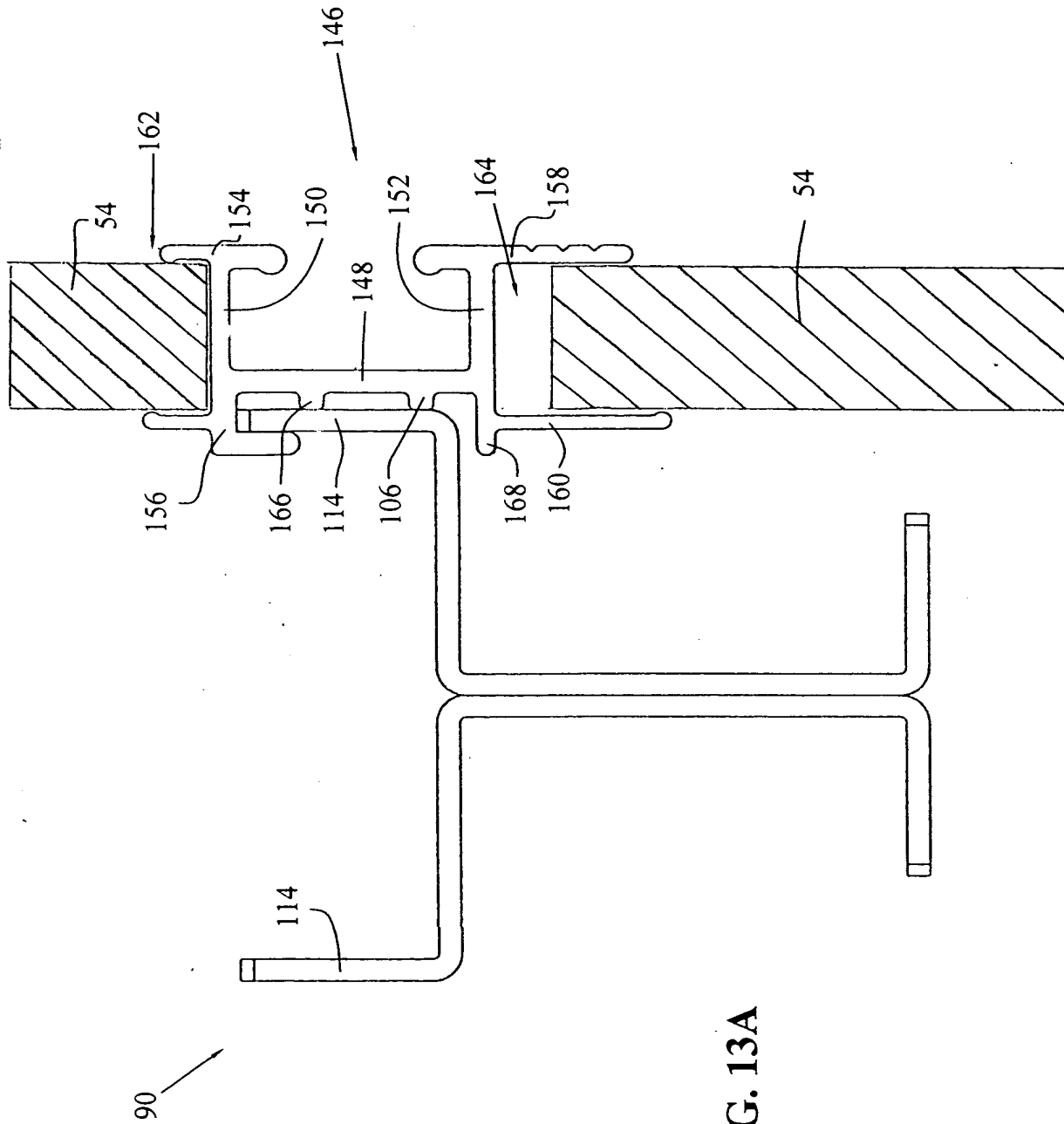


FIG. 12



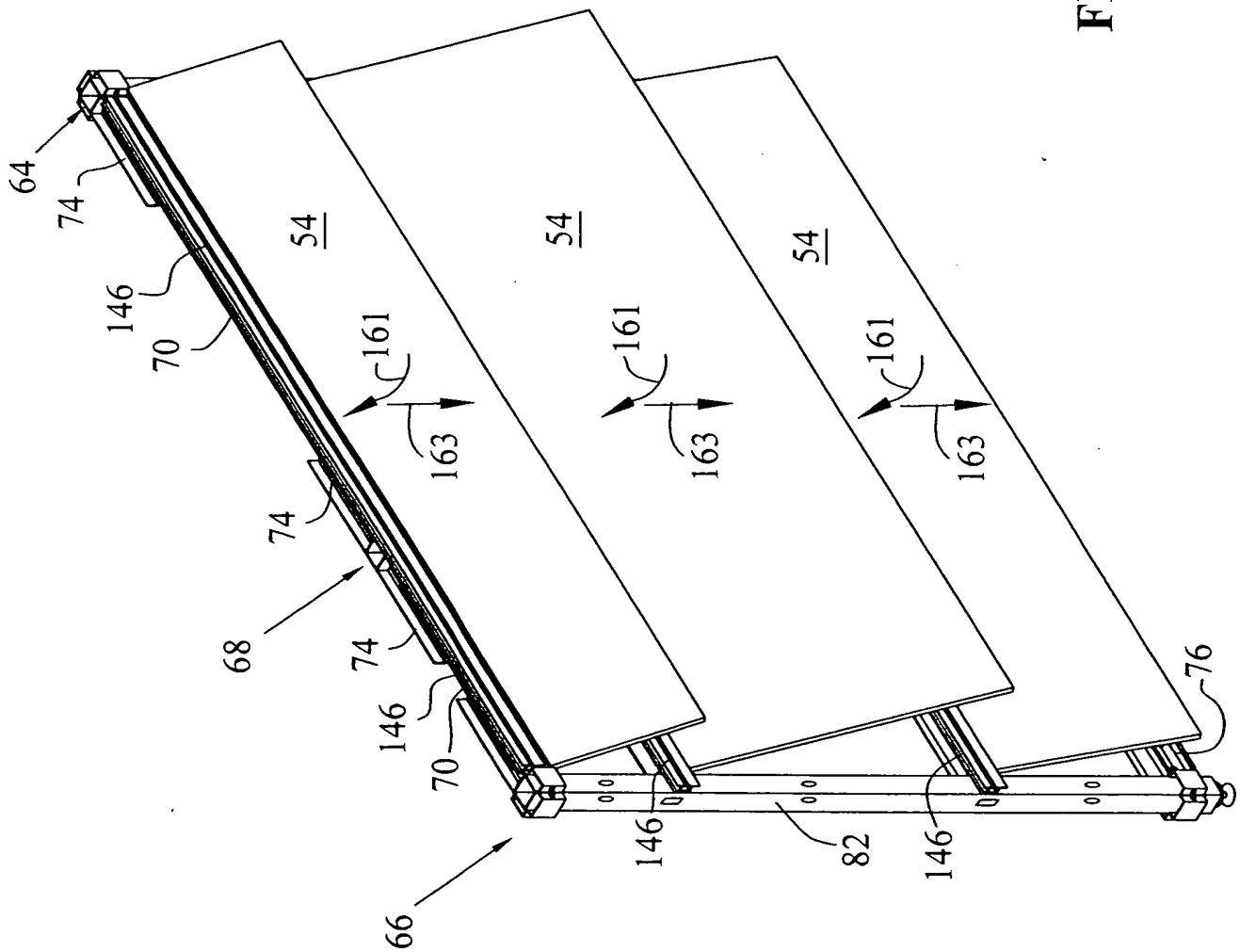


FIG. 13B

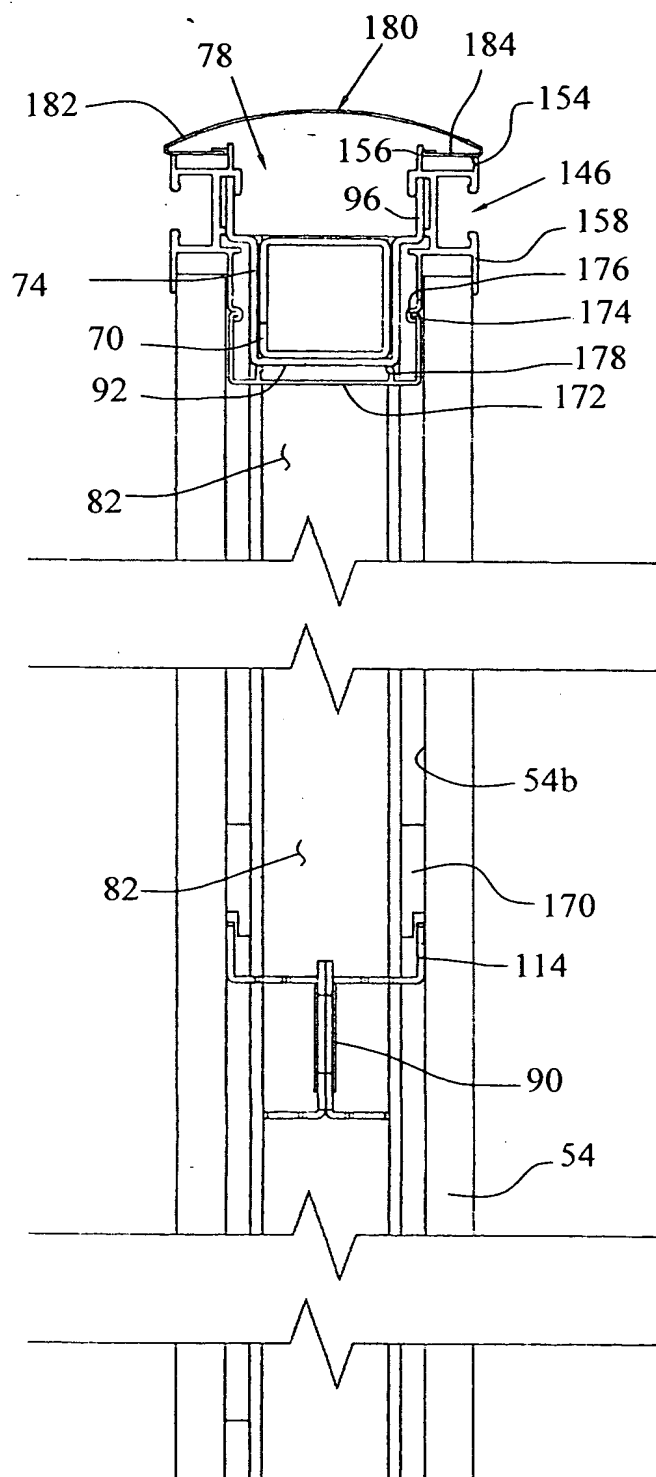


FIG. 14

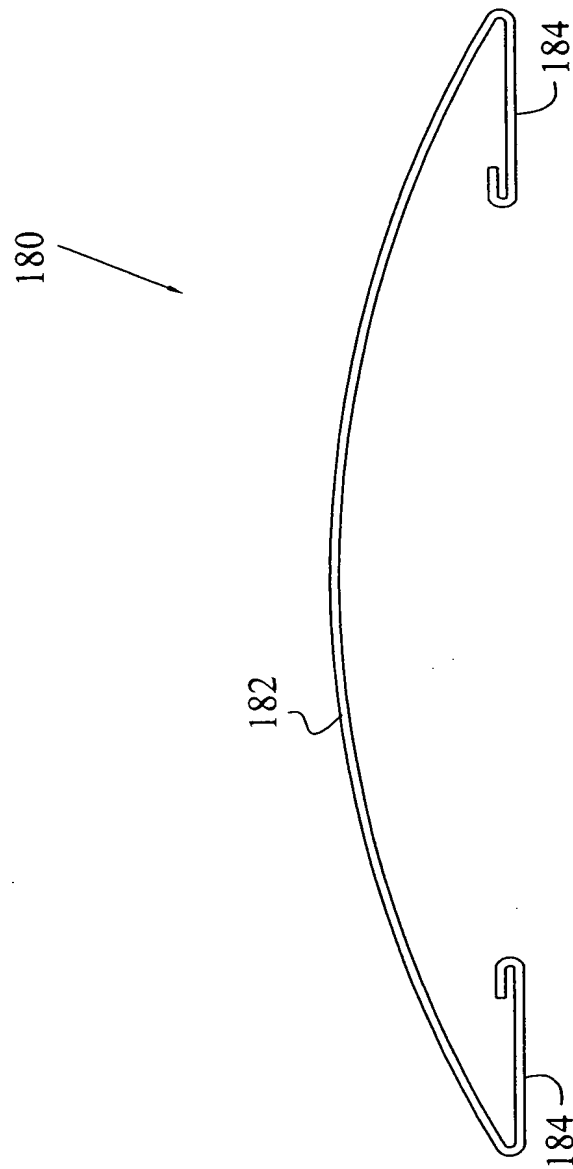


FIG. 15

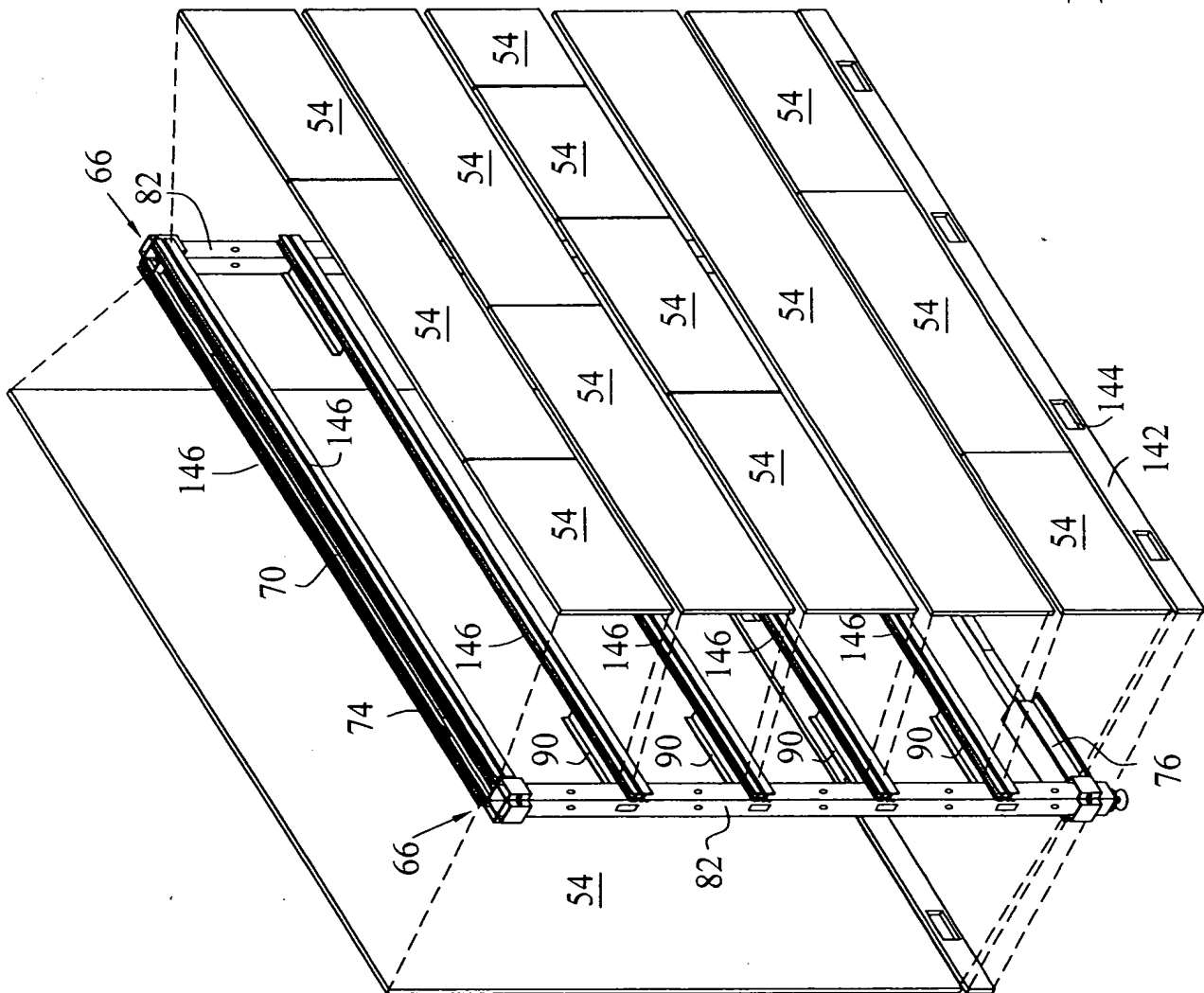
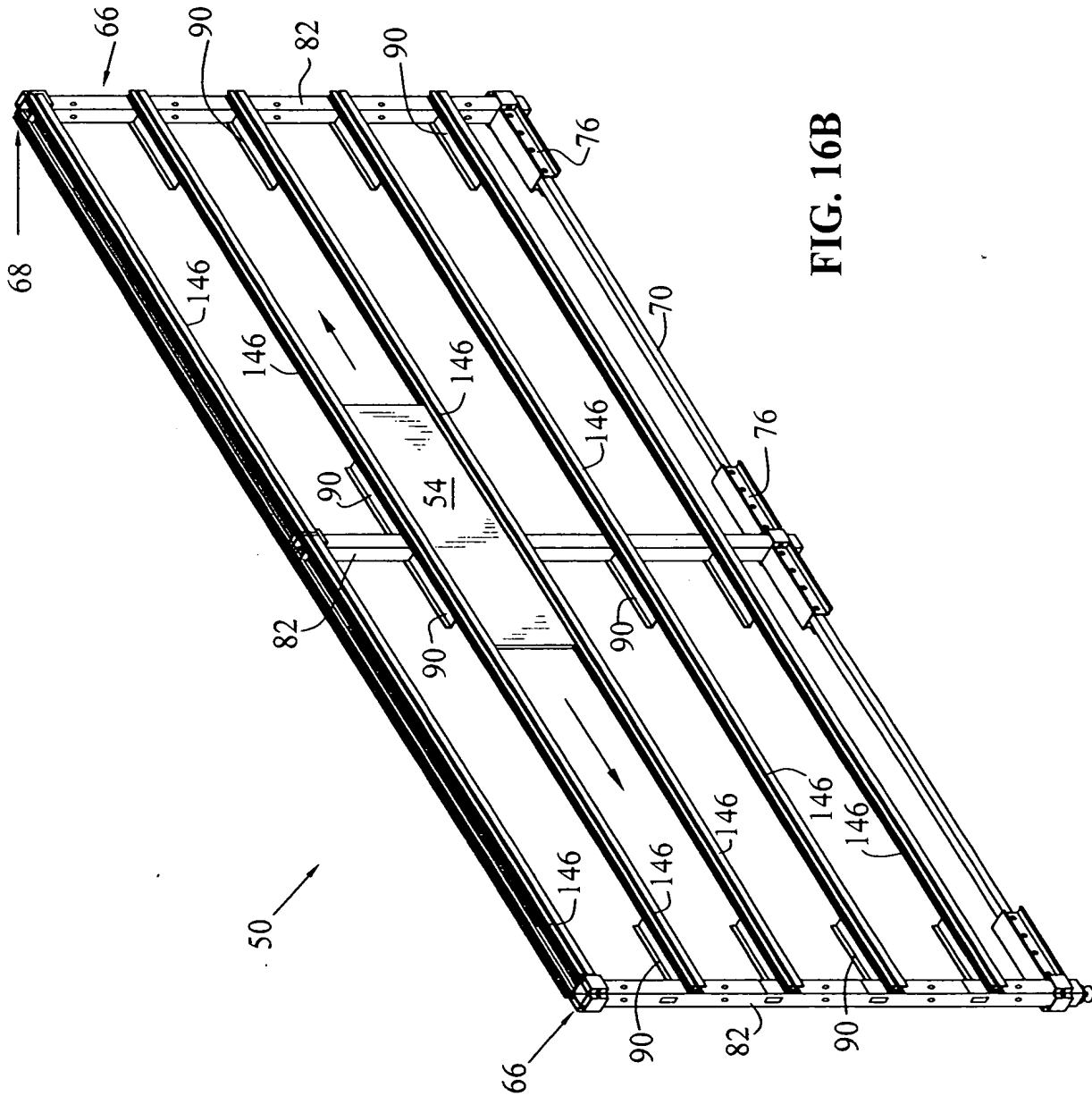


FIG. 16A



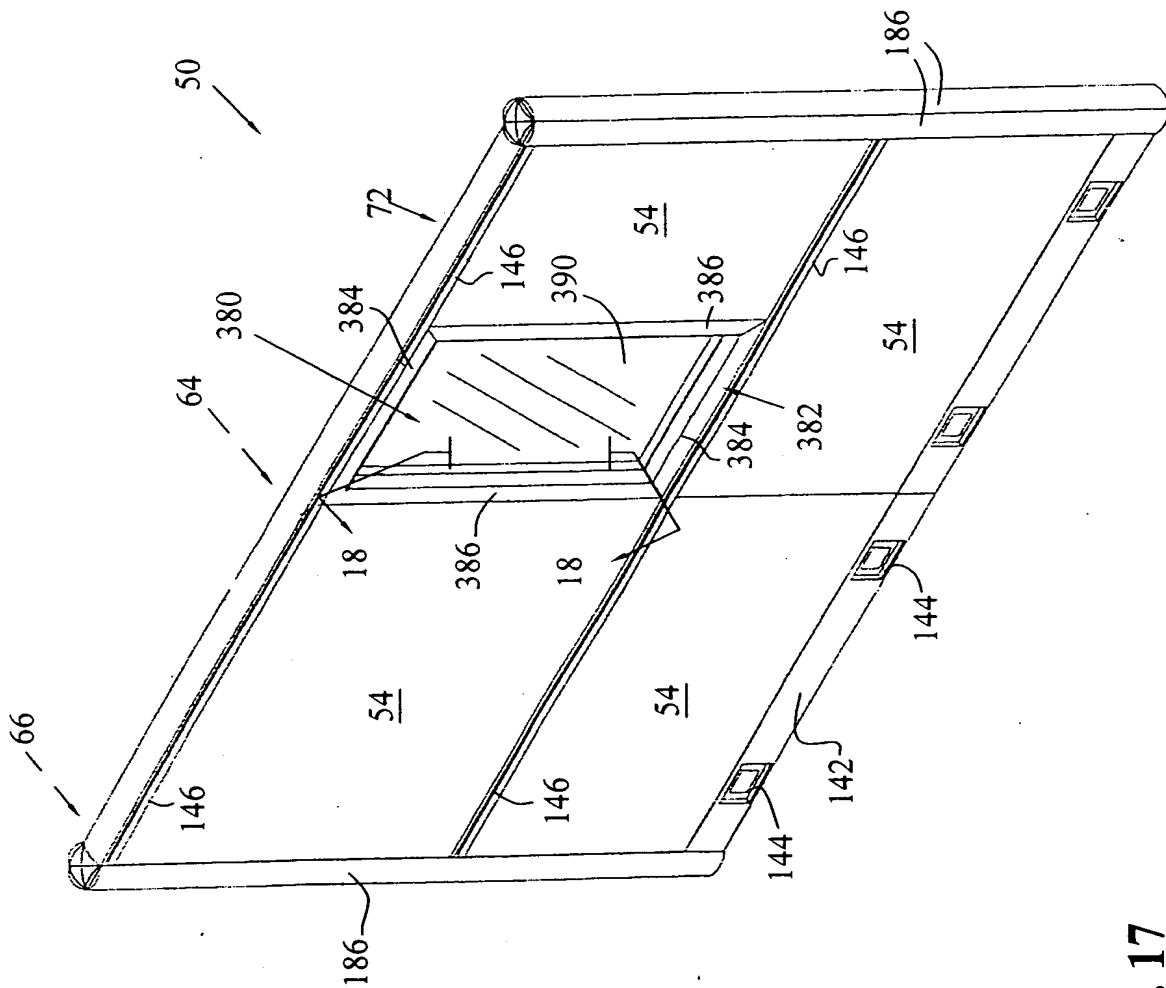
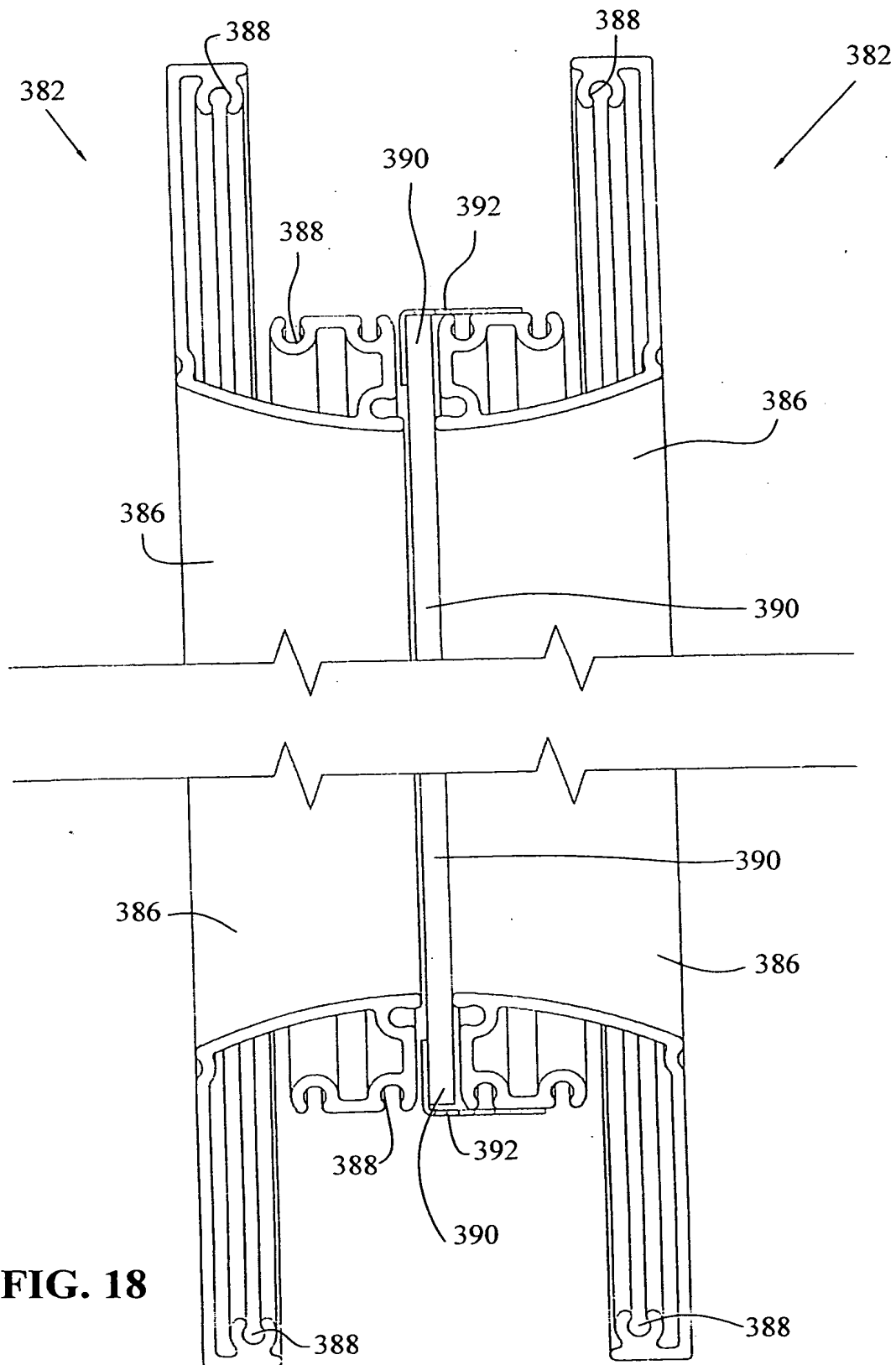


FIG. 17



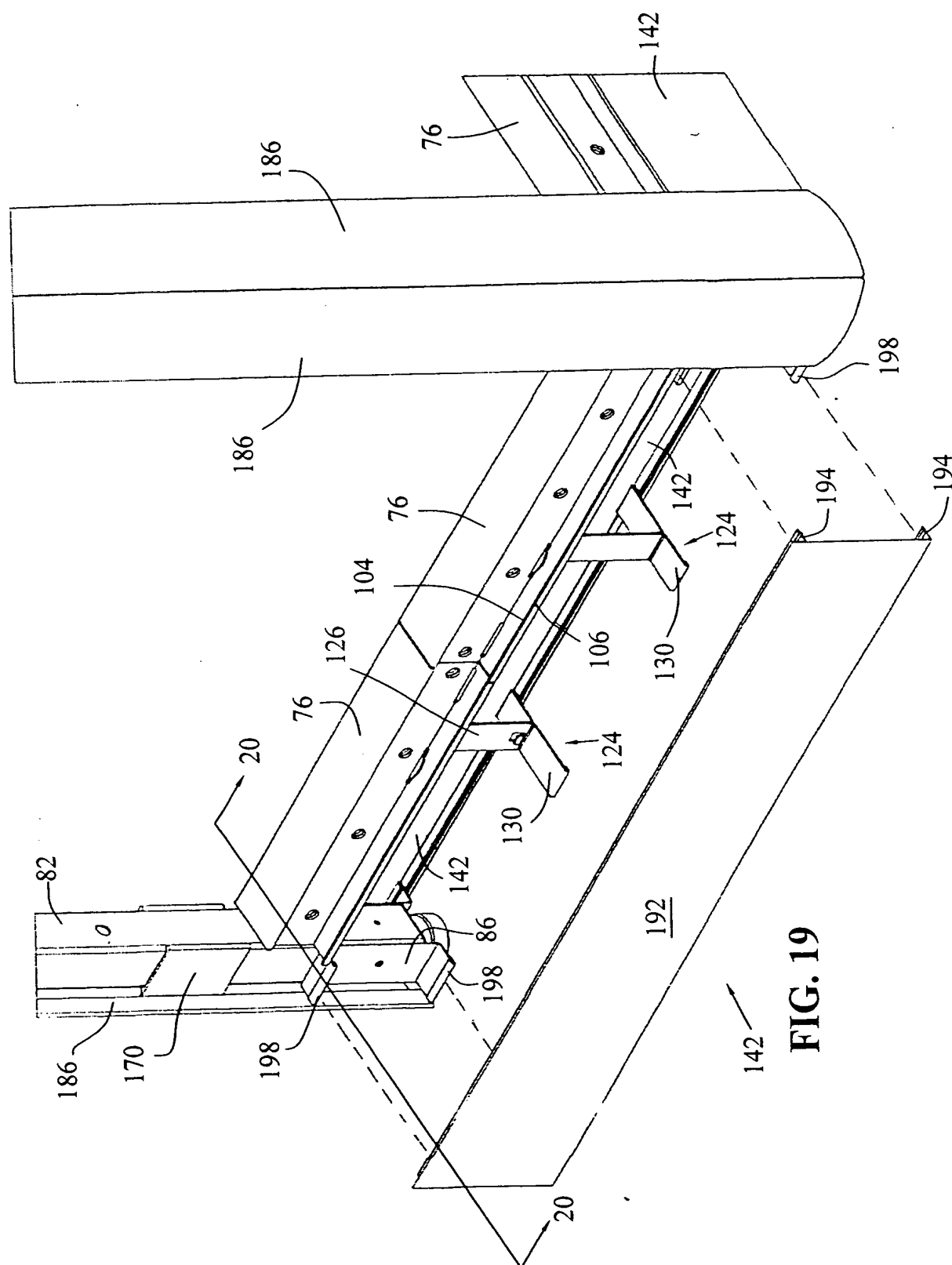


FIG. 19

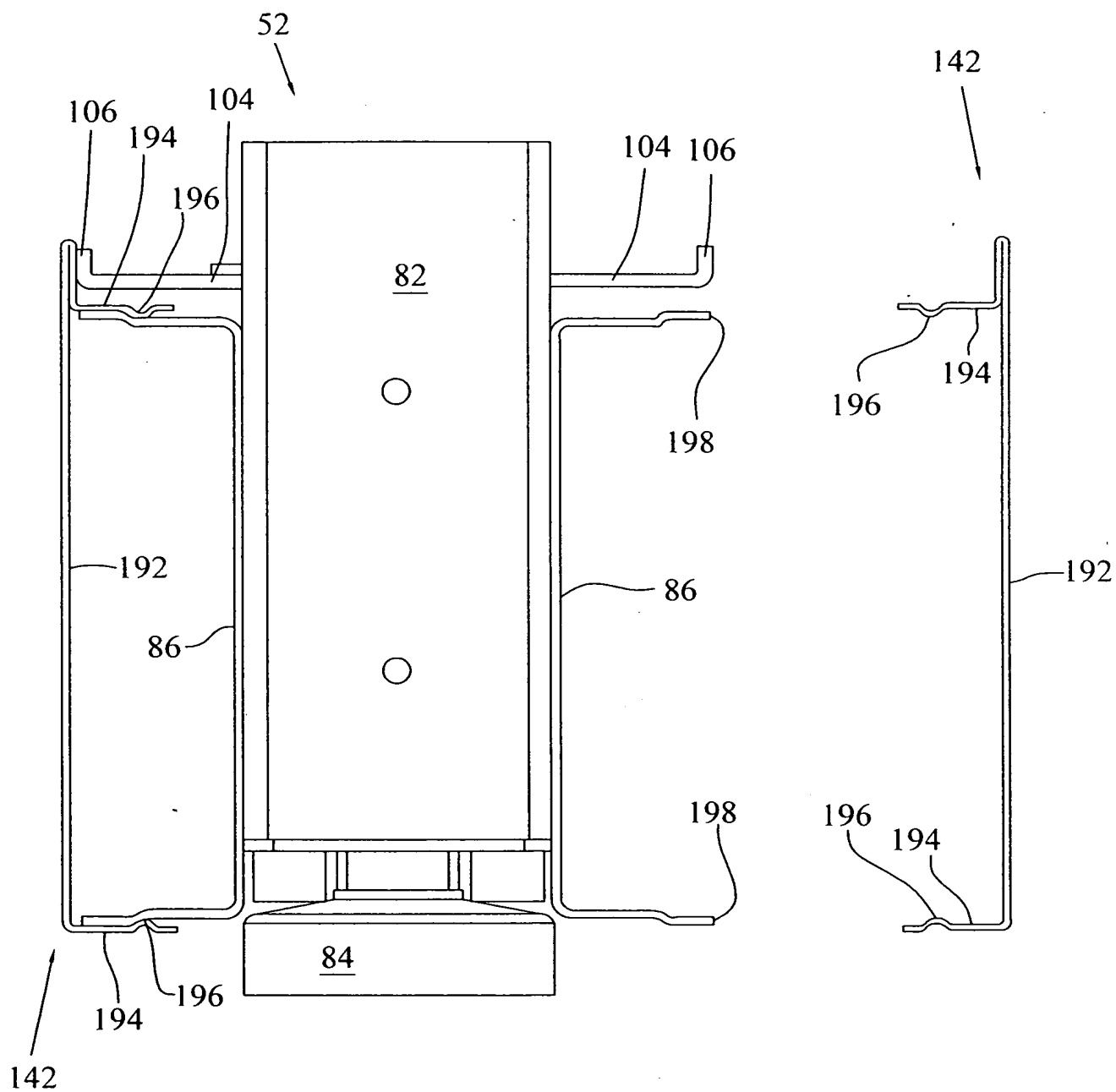


FIG. 20

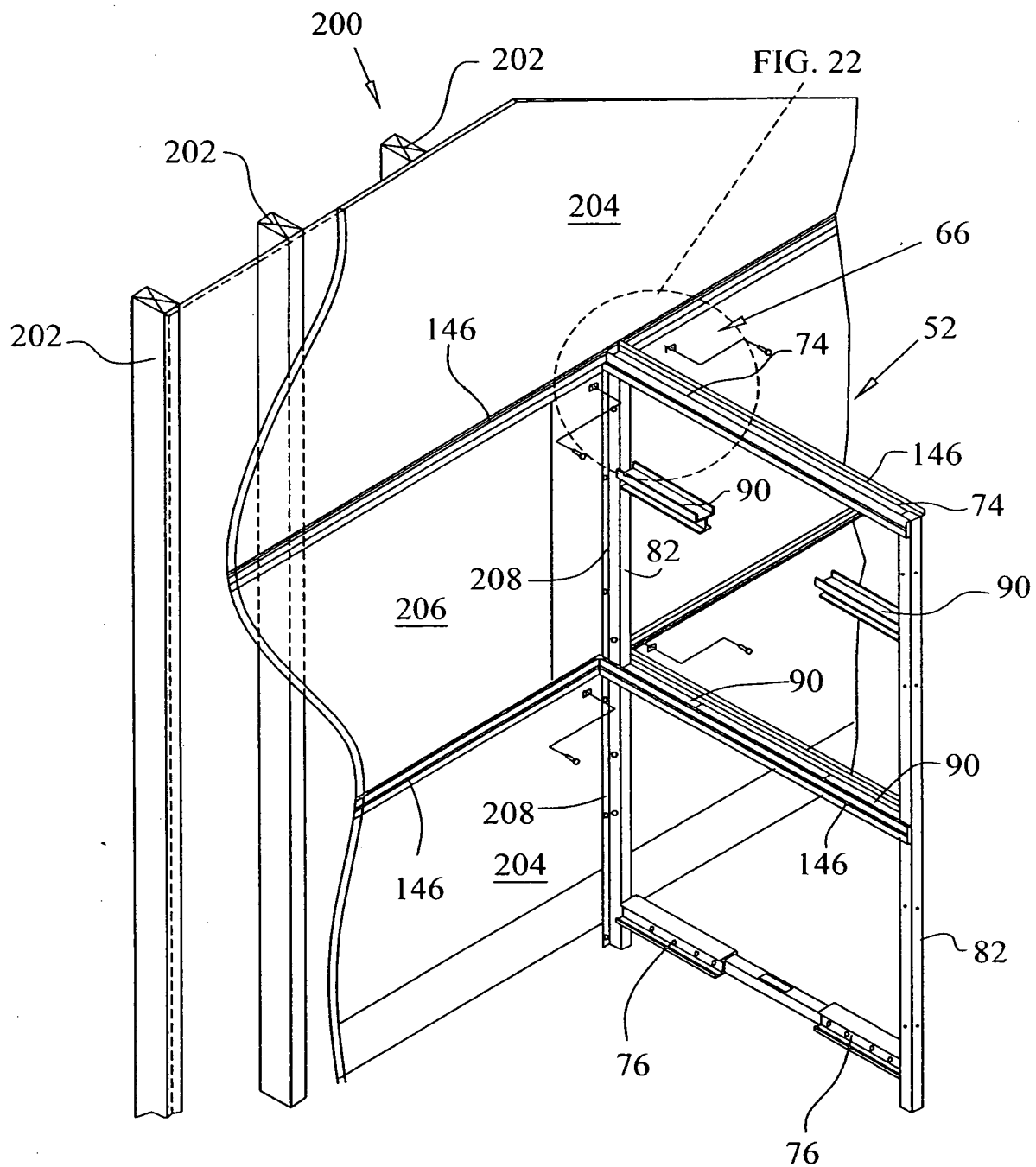


FIG. 21A

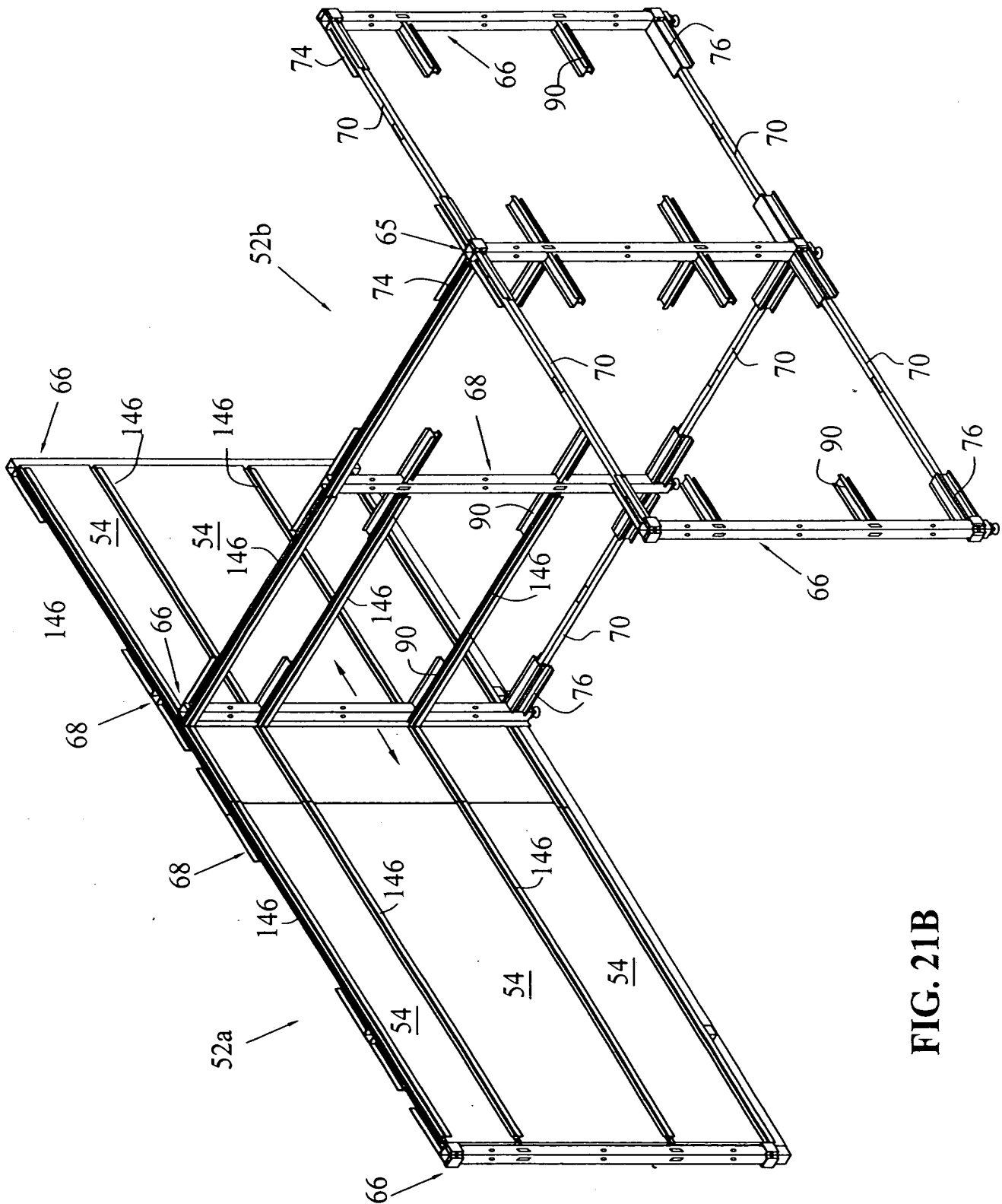


FIG. 21B

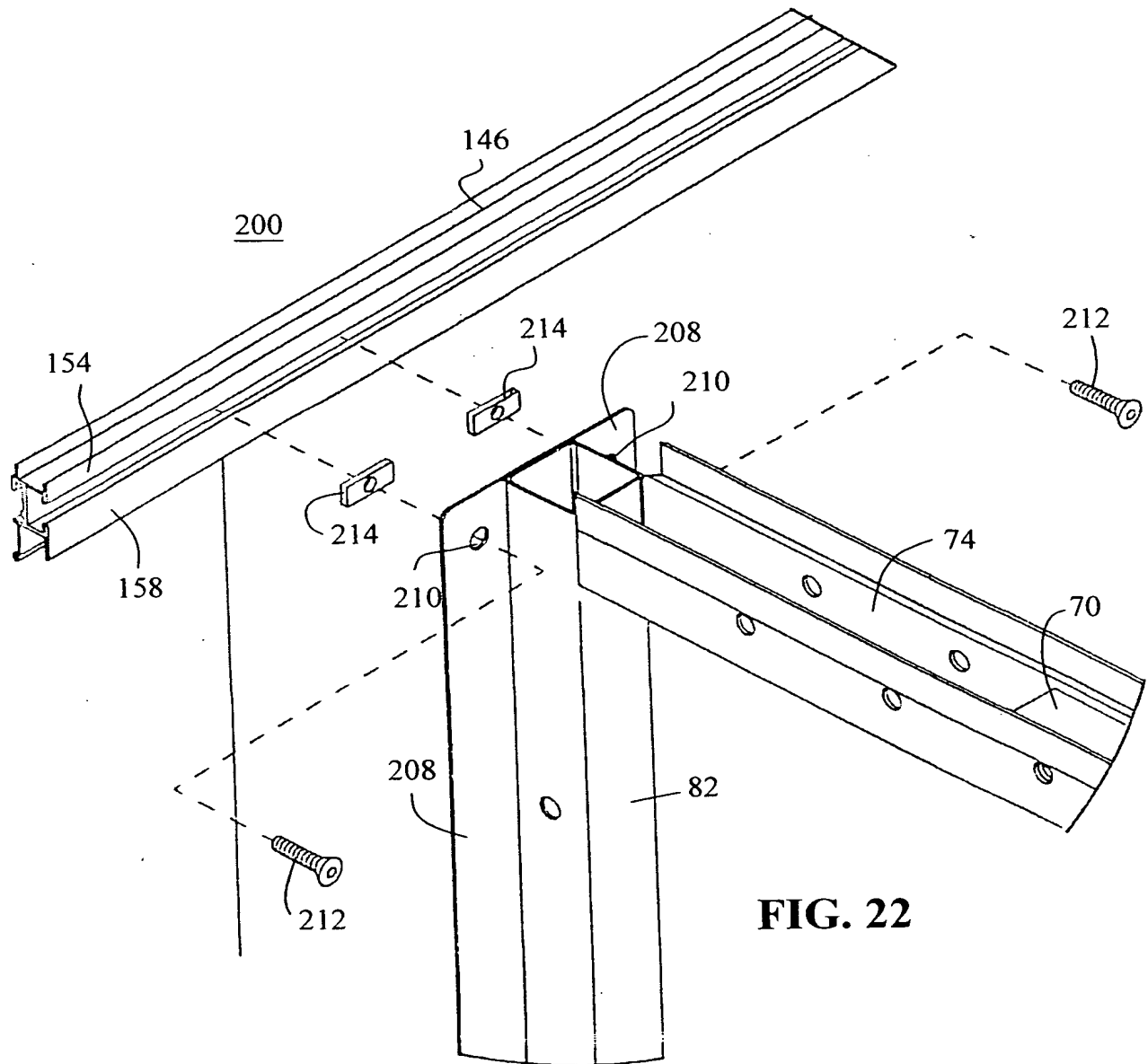


FIG. 22

FIG. 23

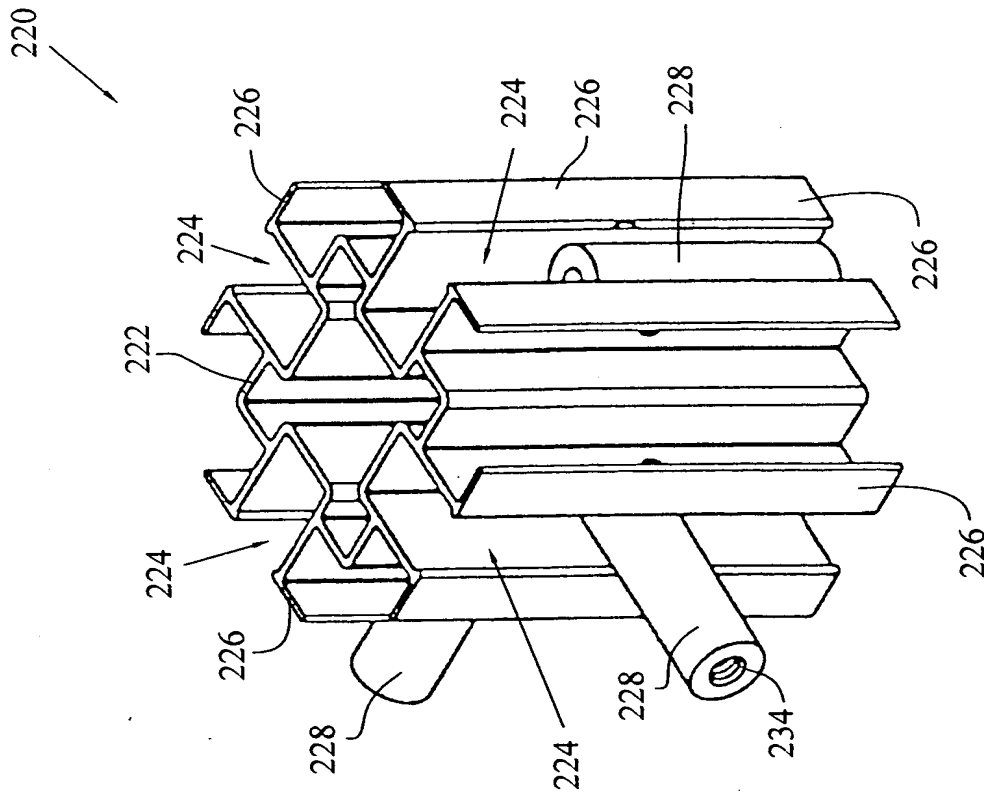


FIG. 24A

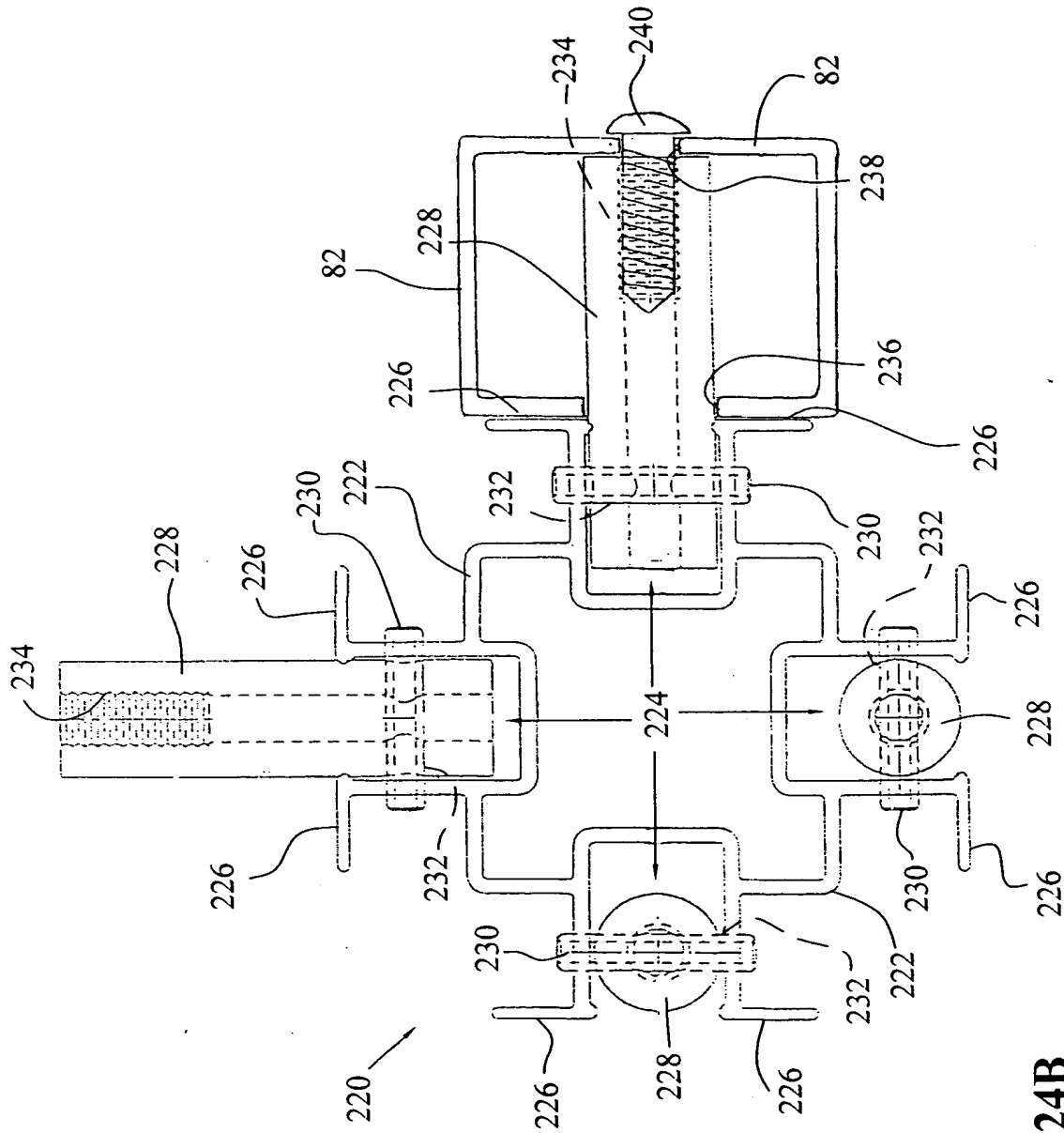


FIG. 24B

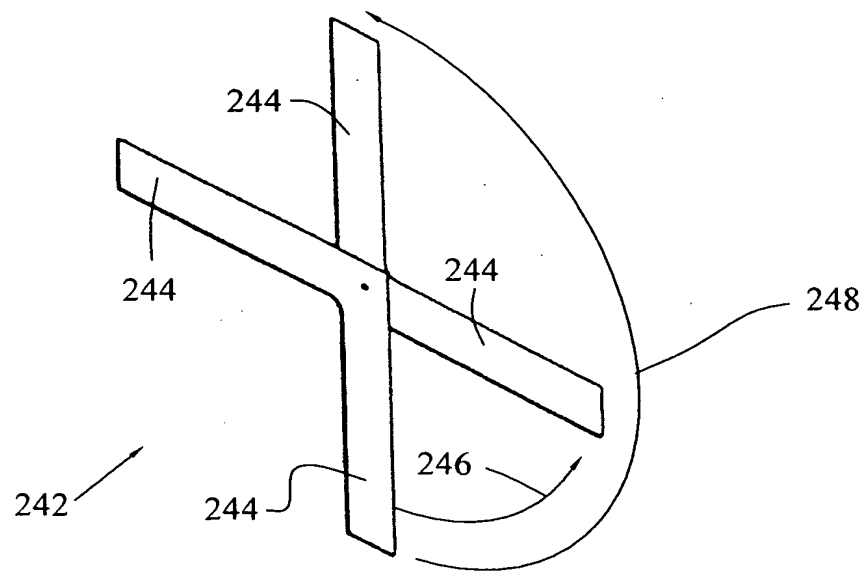
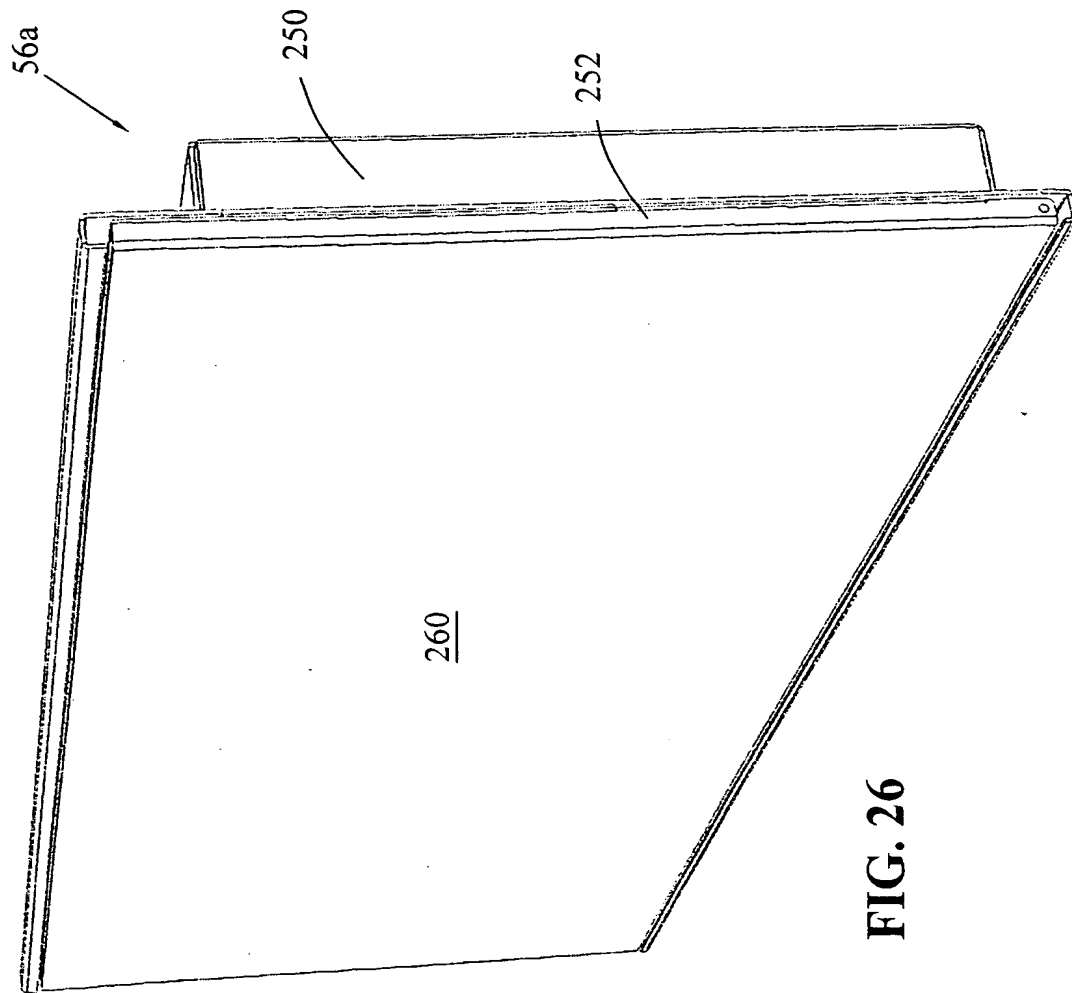


FIG. 25



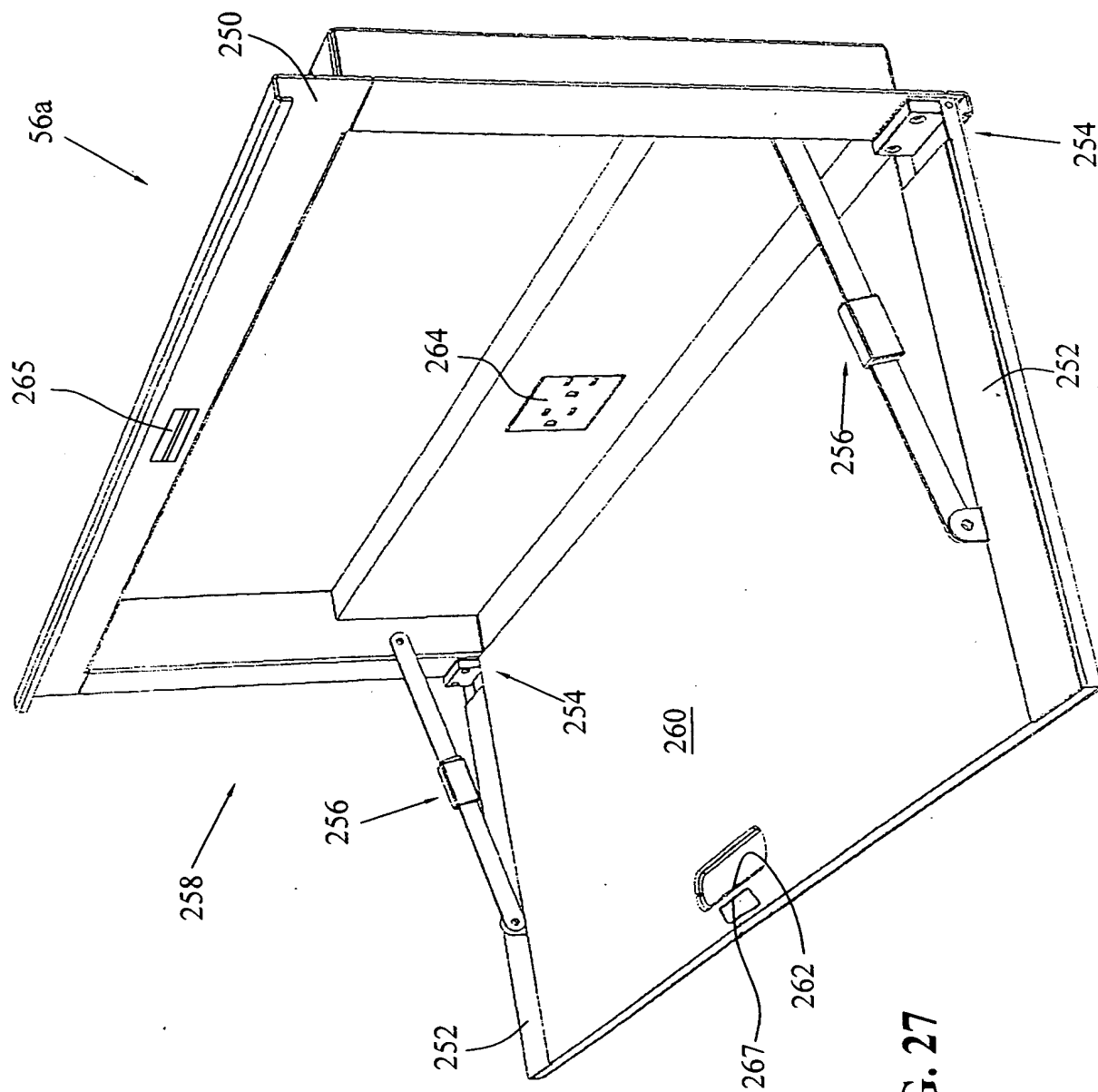
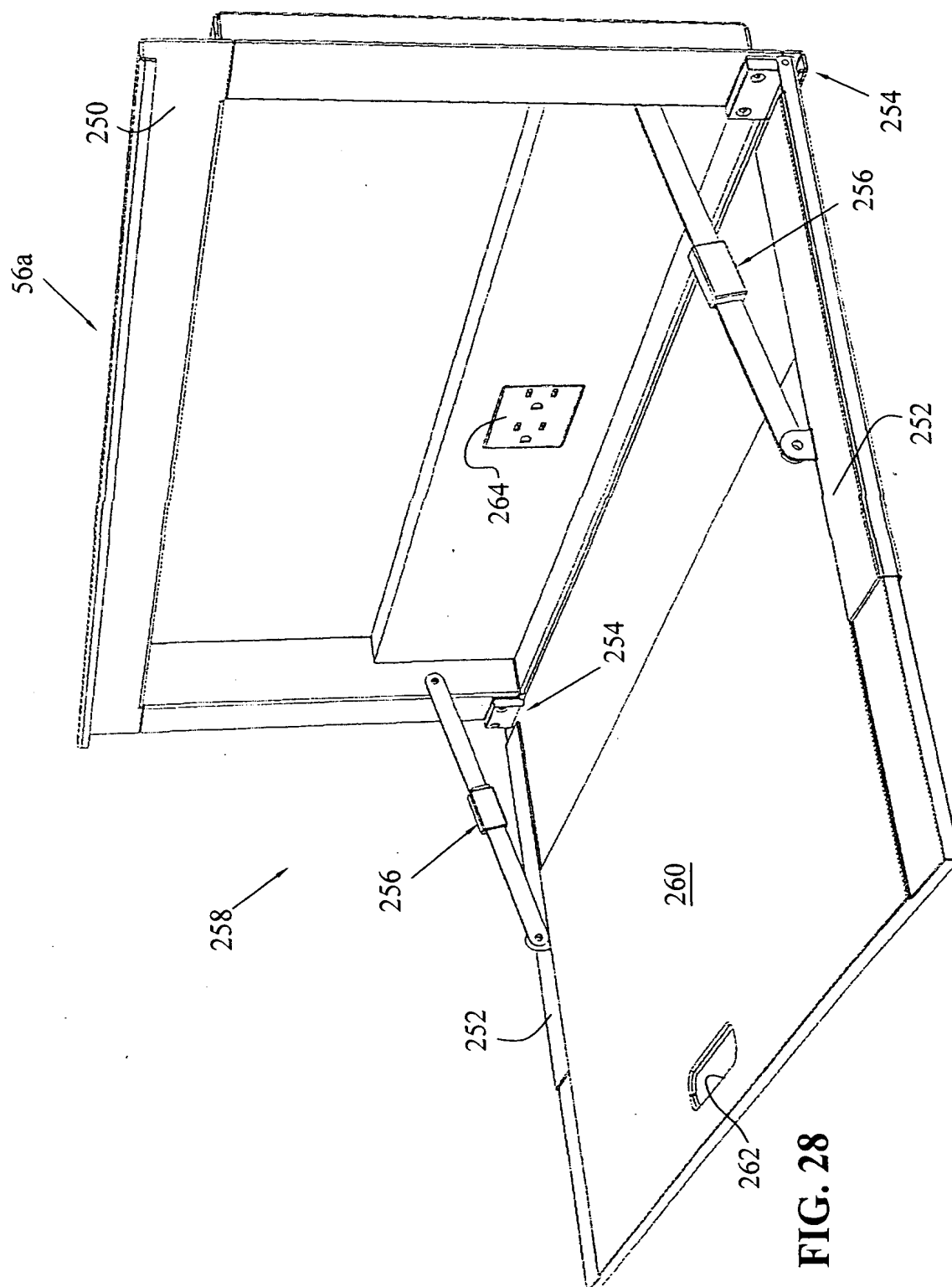


FIG. 27



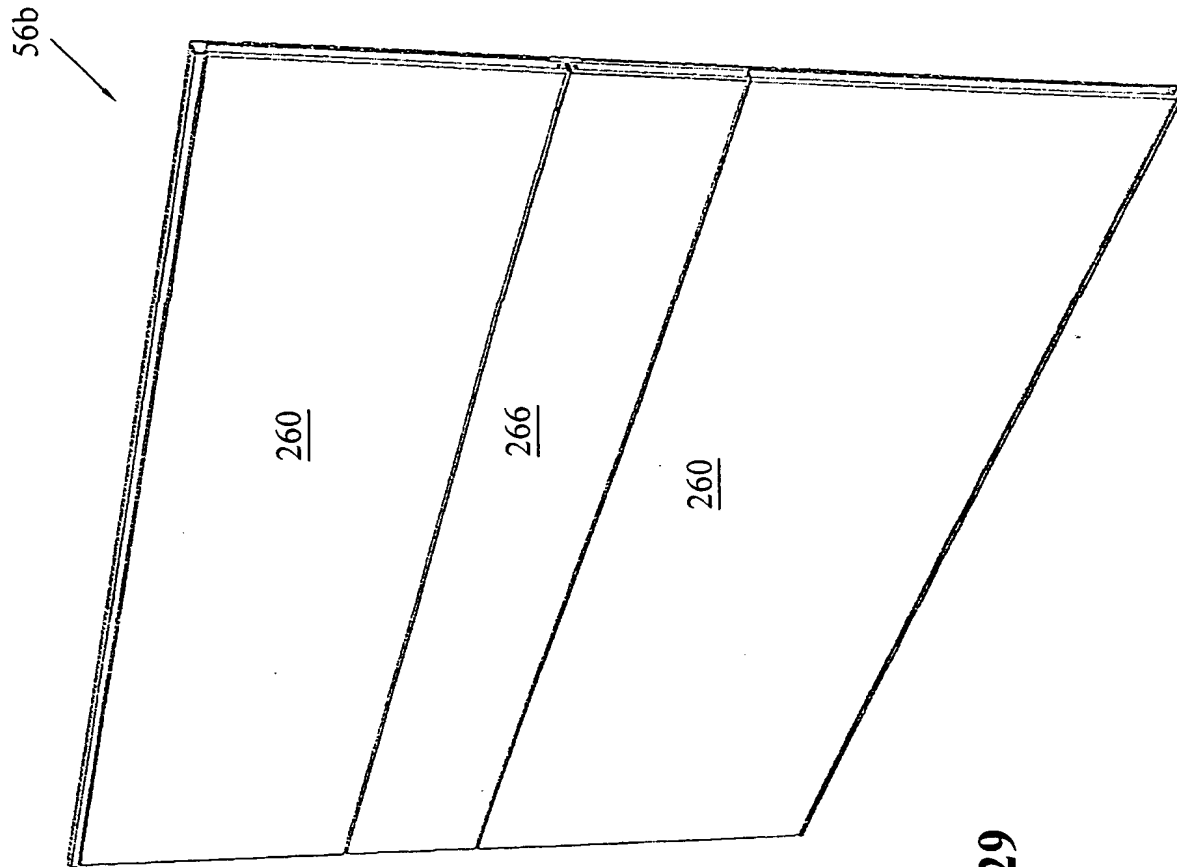


FIG. 29

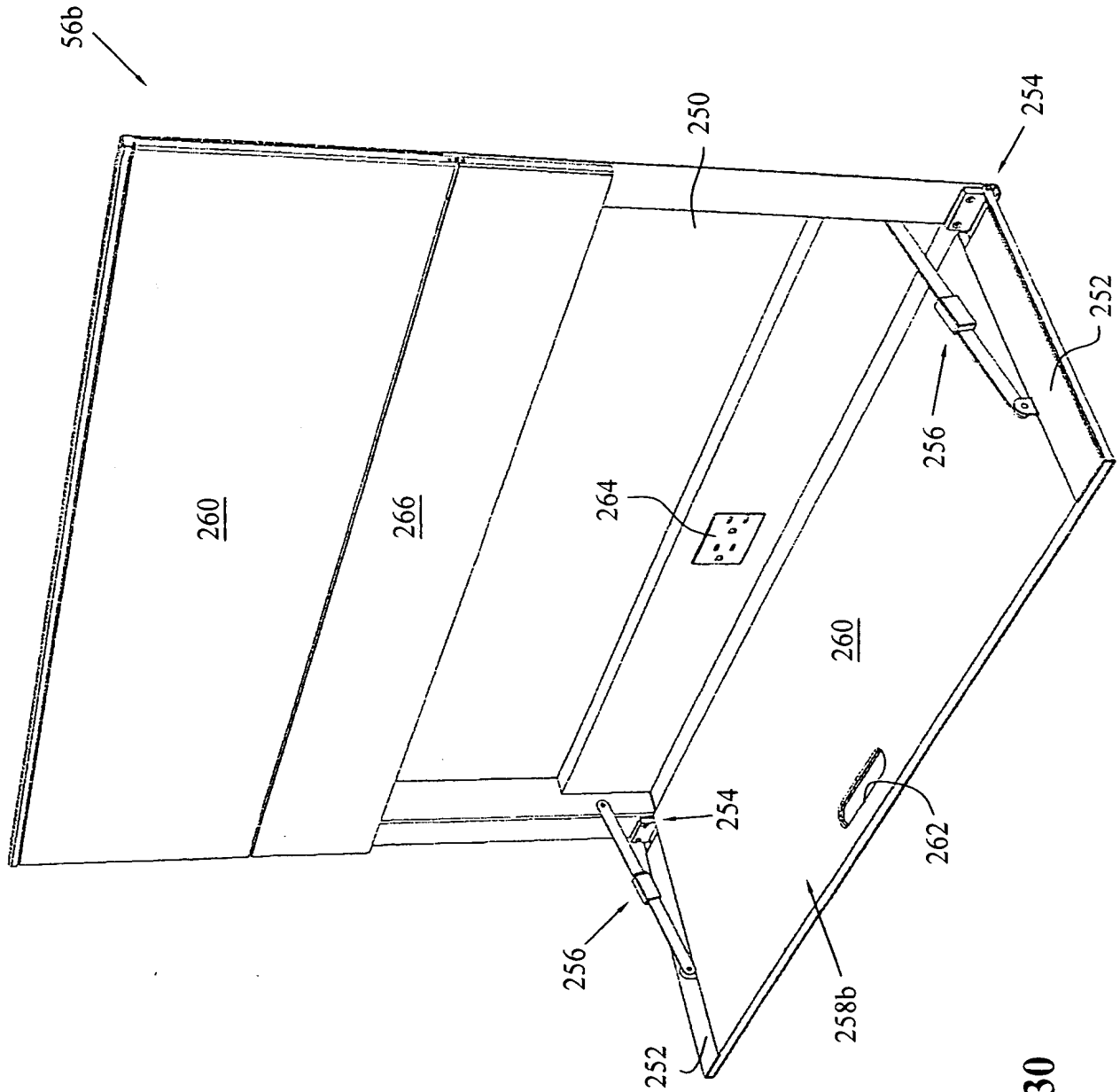


FIG. 30

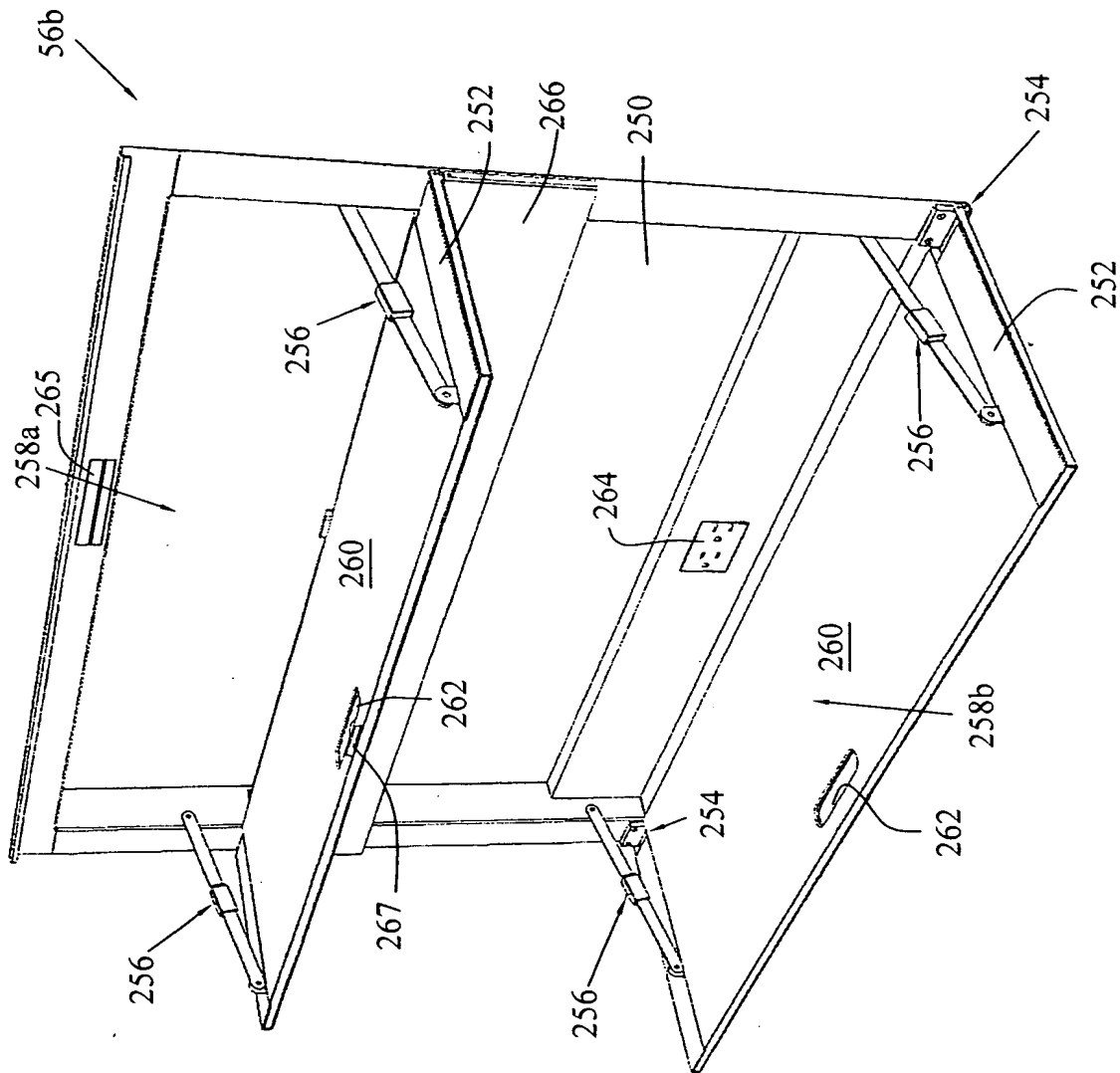


FIG. 31

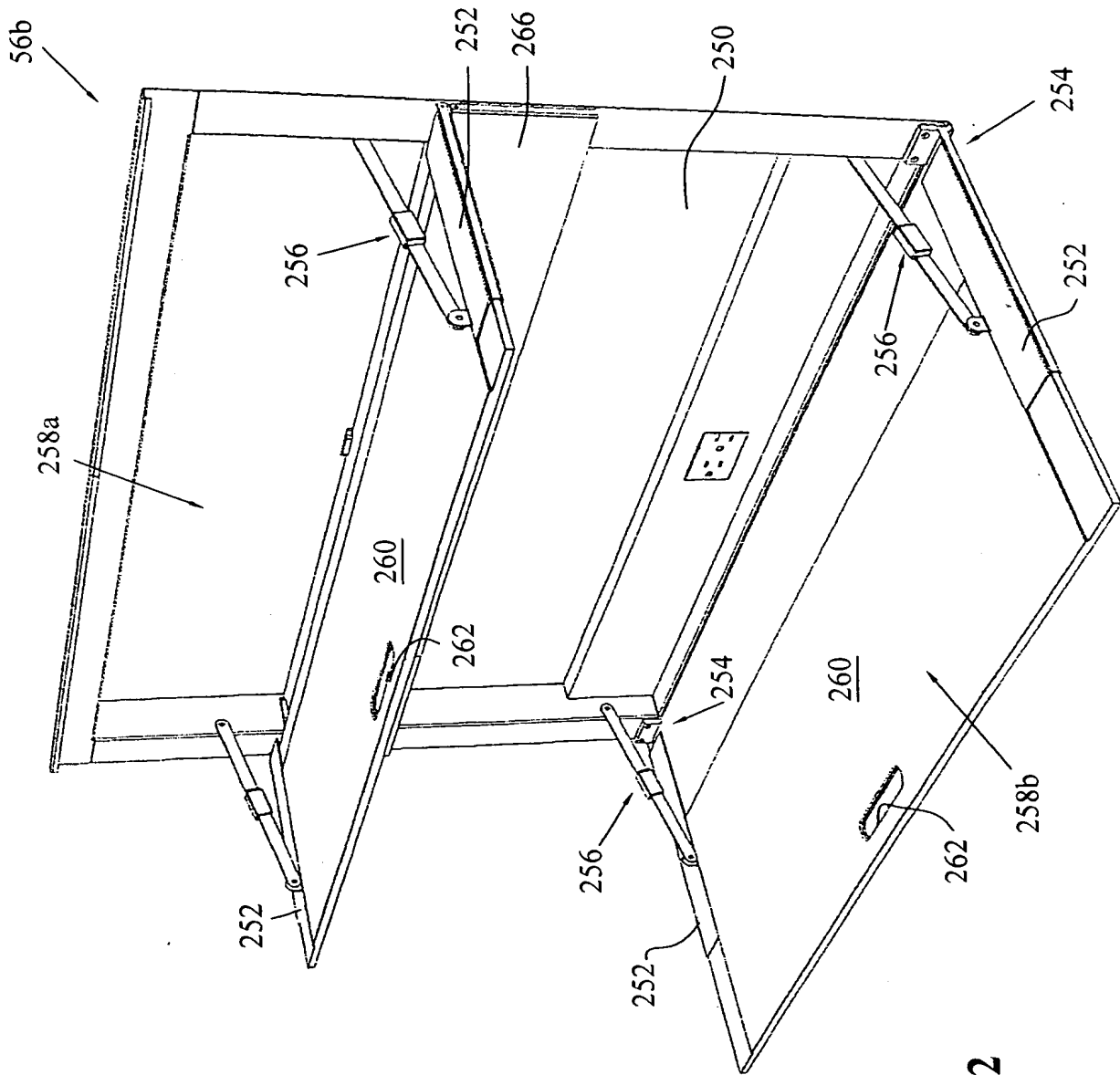


FIG. 32

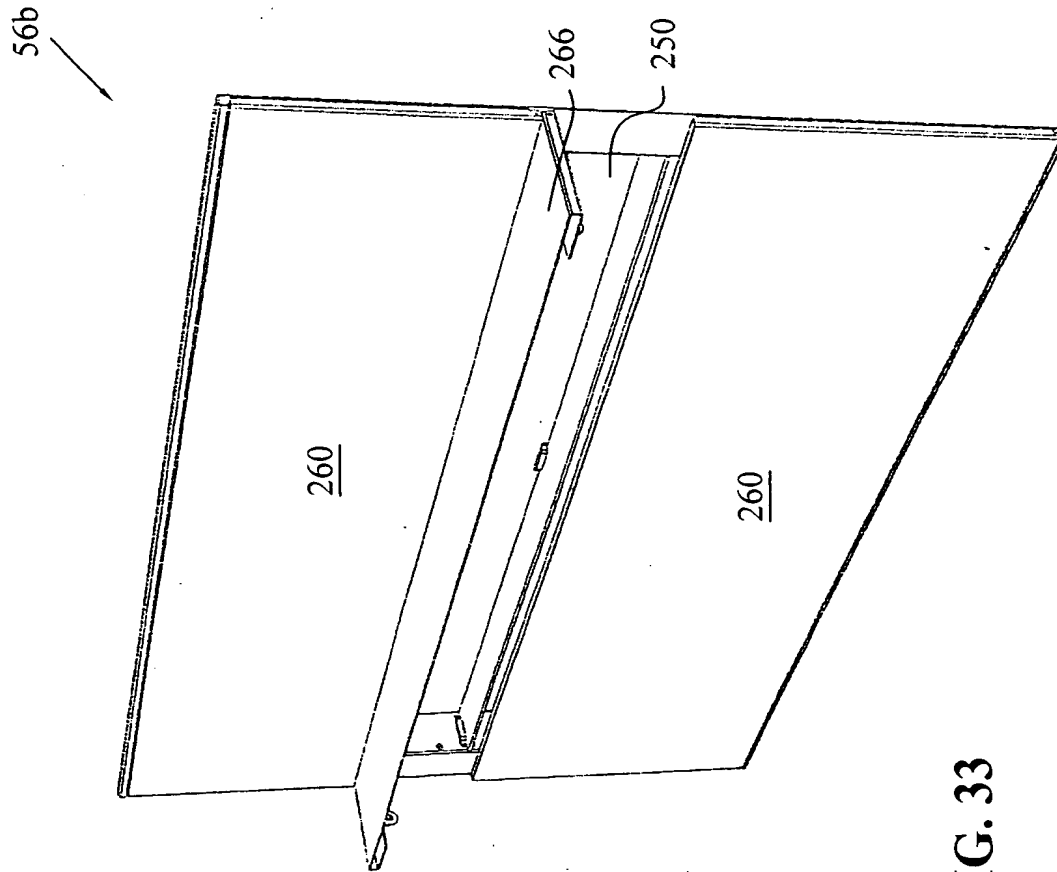


FIG. 33

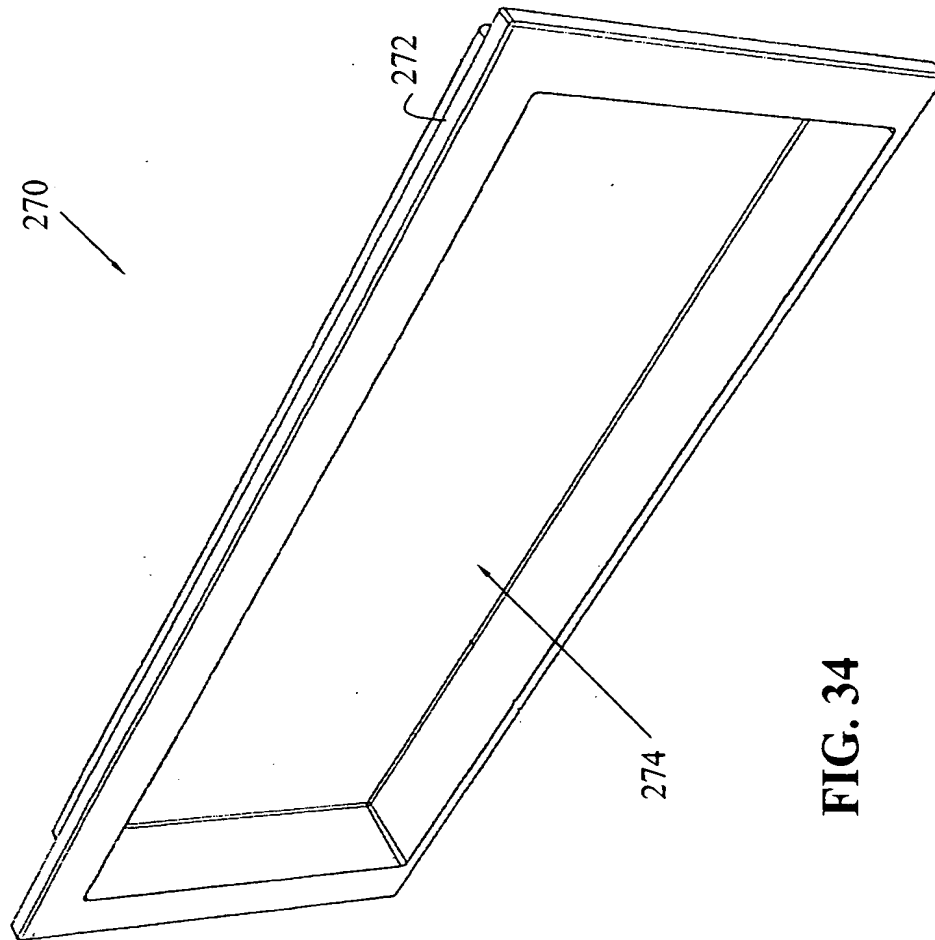


FIG. 34

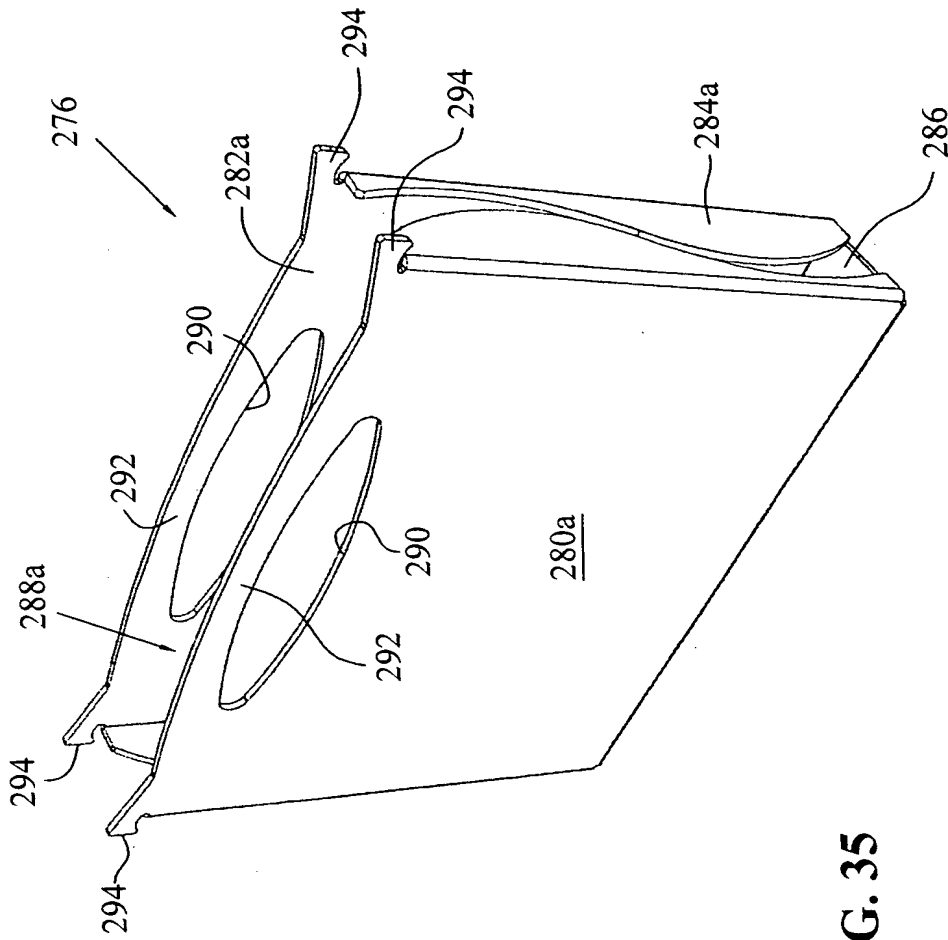


FIG. 35

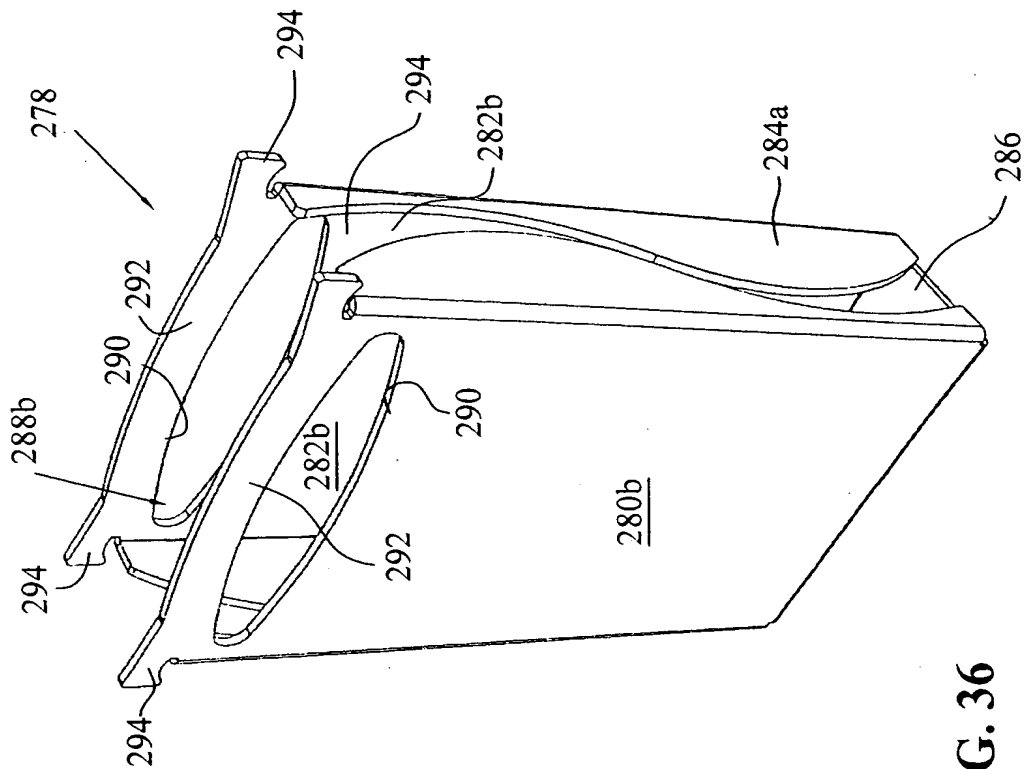


FIG. 36

PARTITION SYSTEM
Keith E. Metcalf et al. / KIM0502-03

Sheet 48 of 67

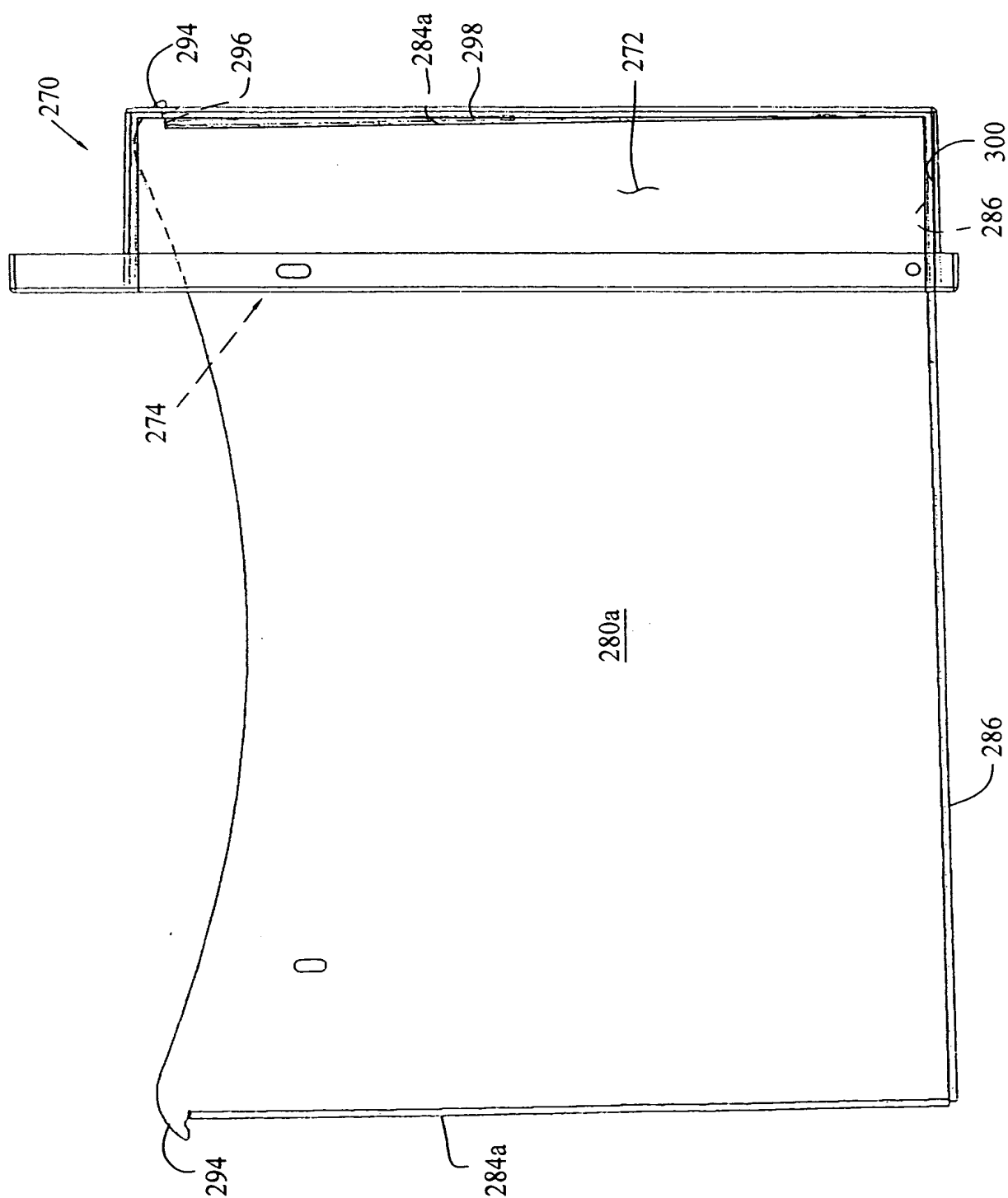
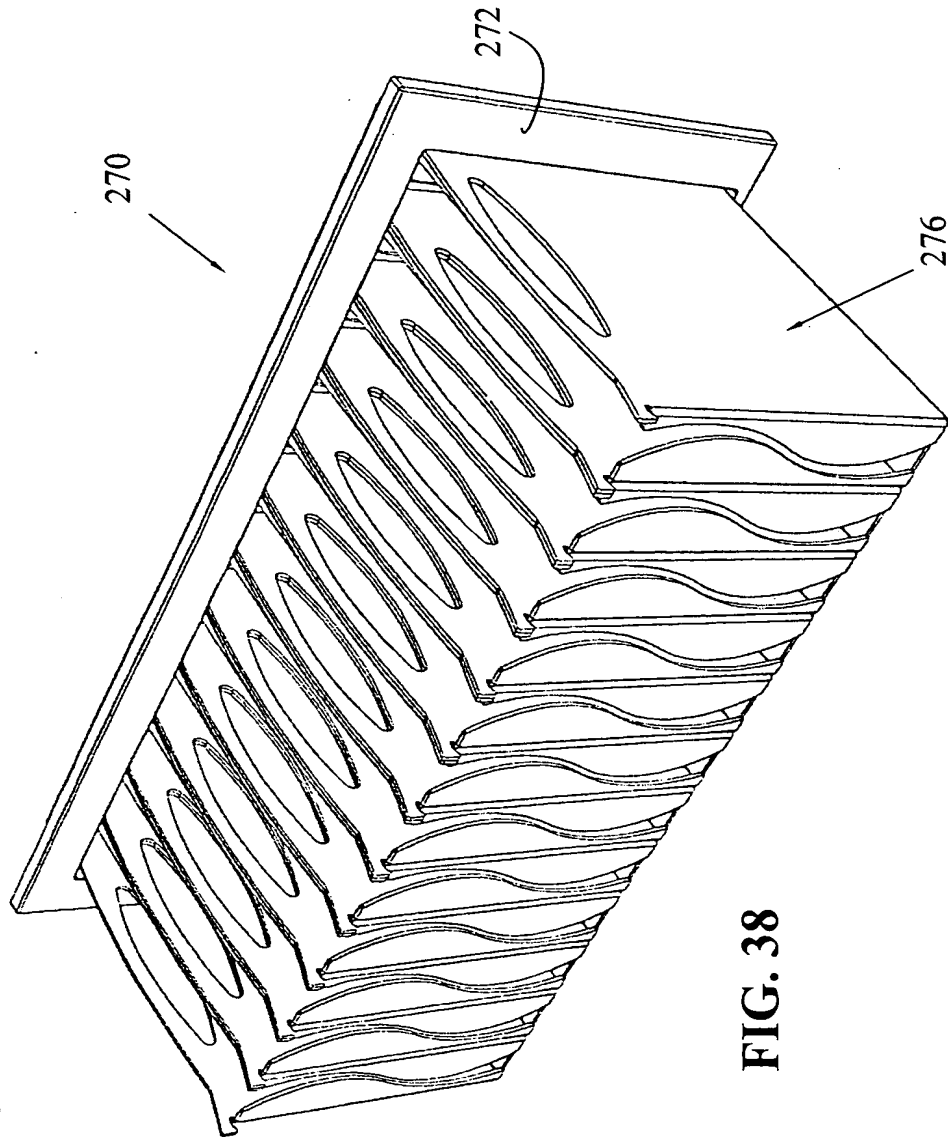
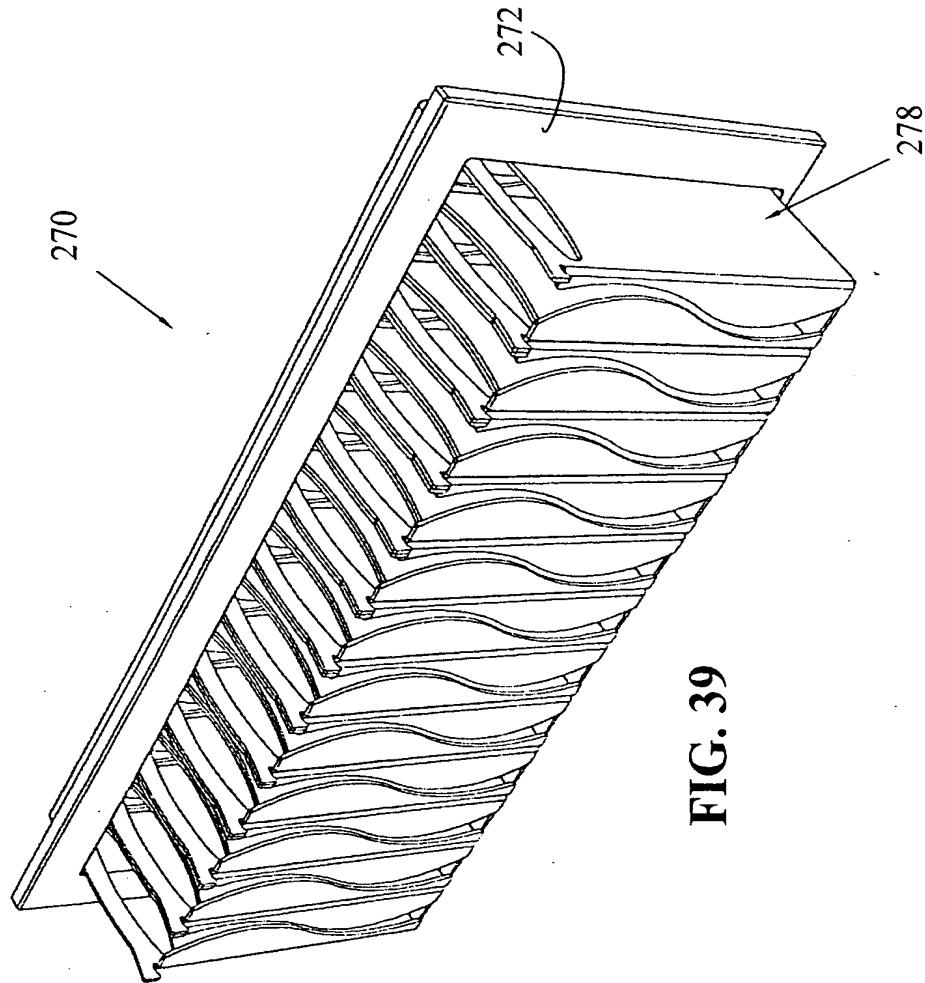


FIG. 37





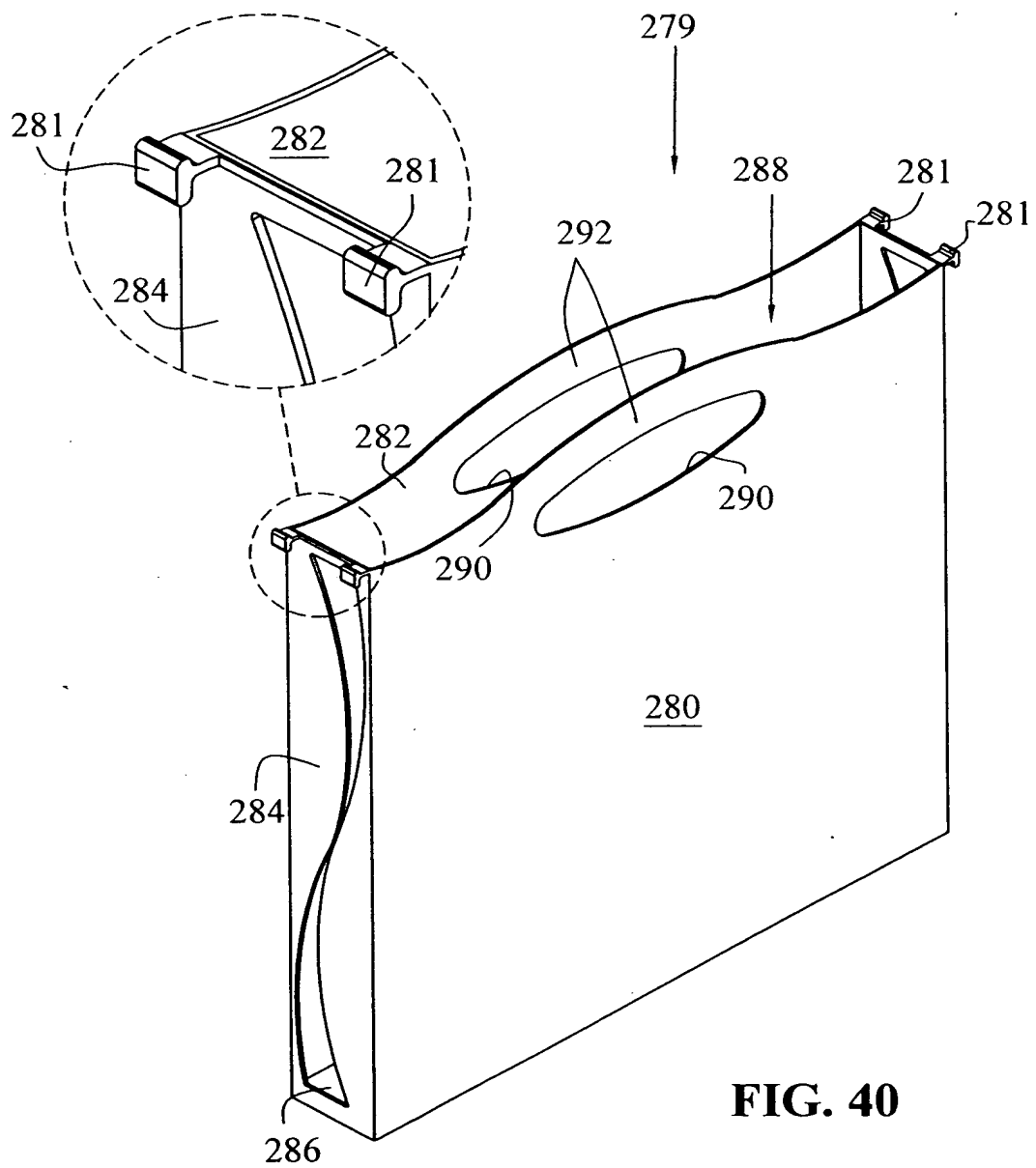


FIG. 40

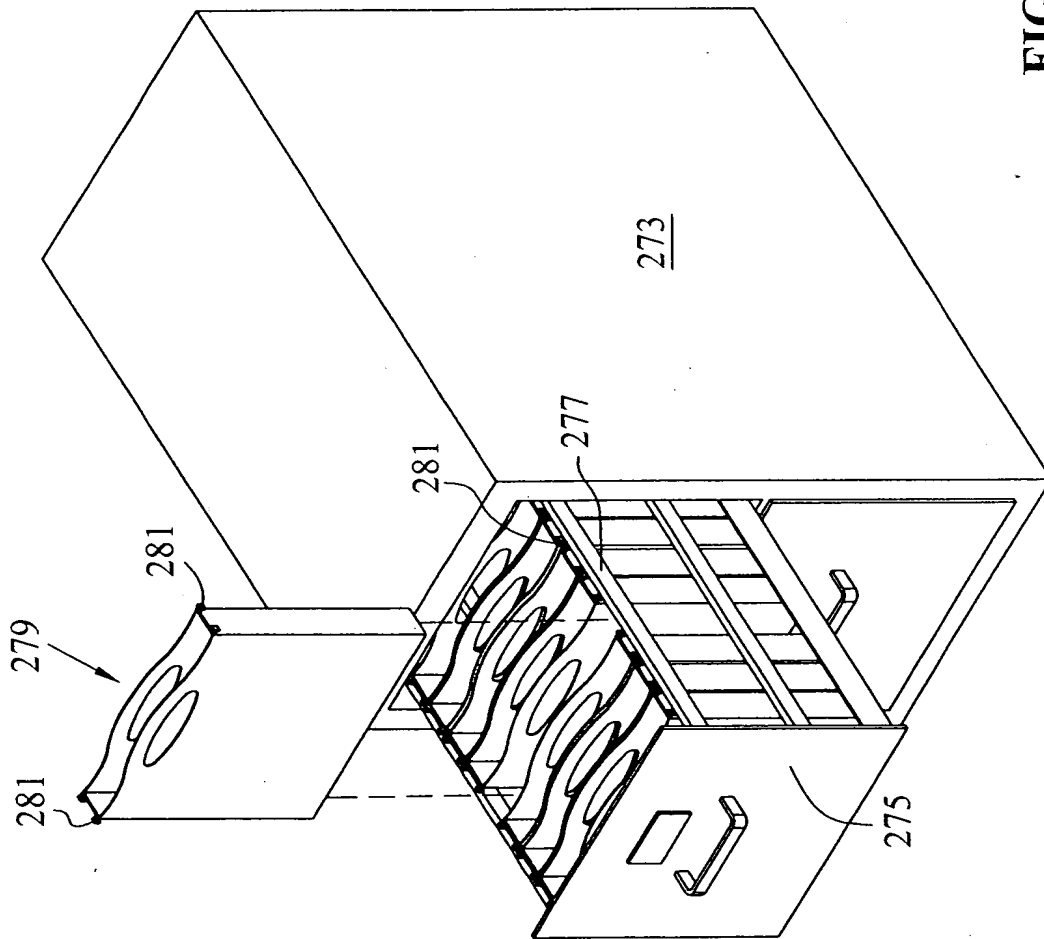


FIG. 41

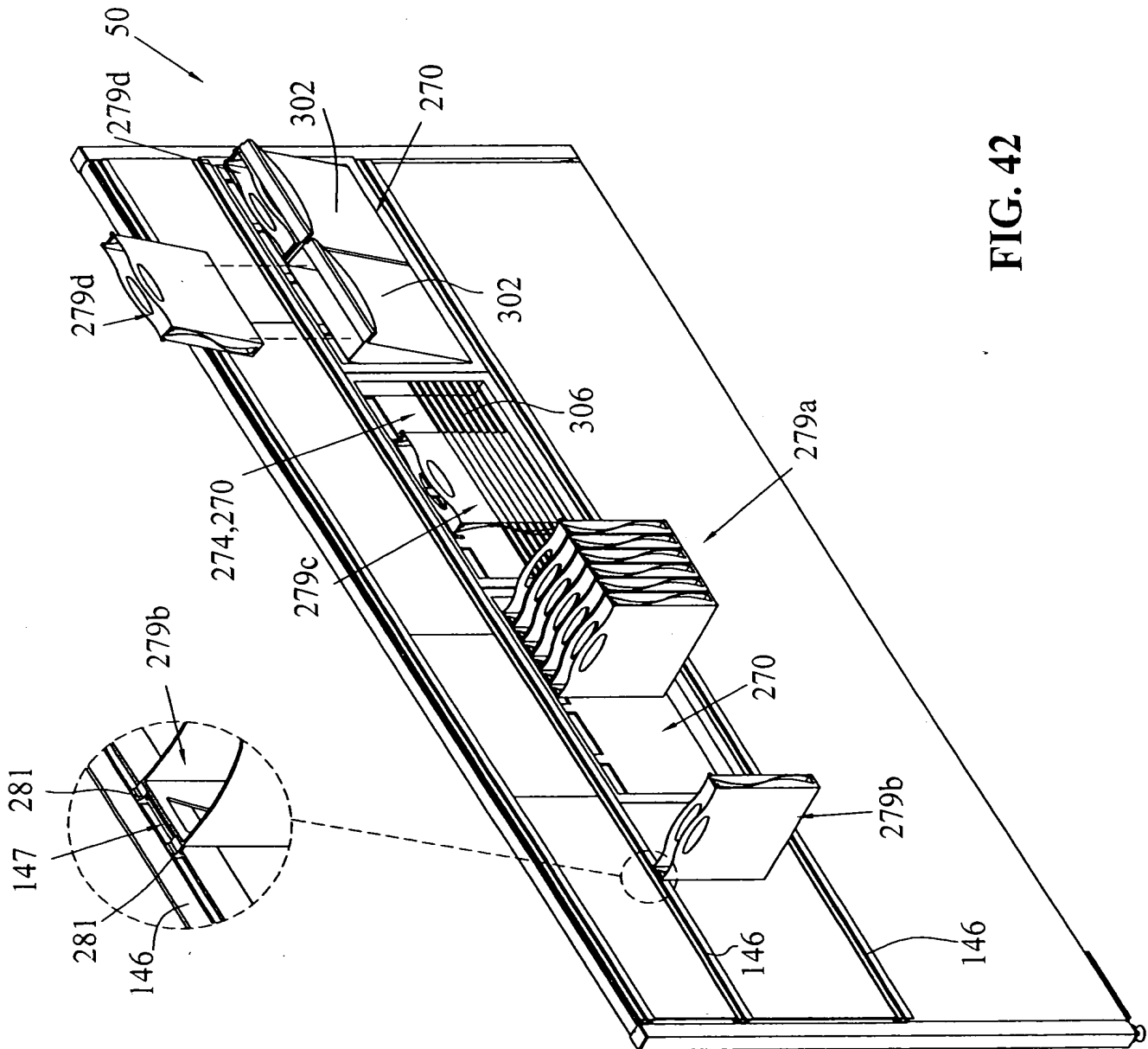


FIG. 42

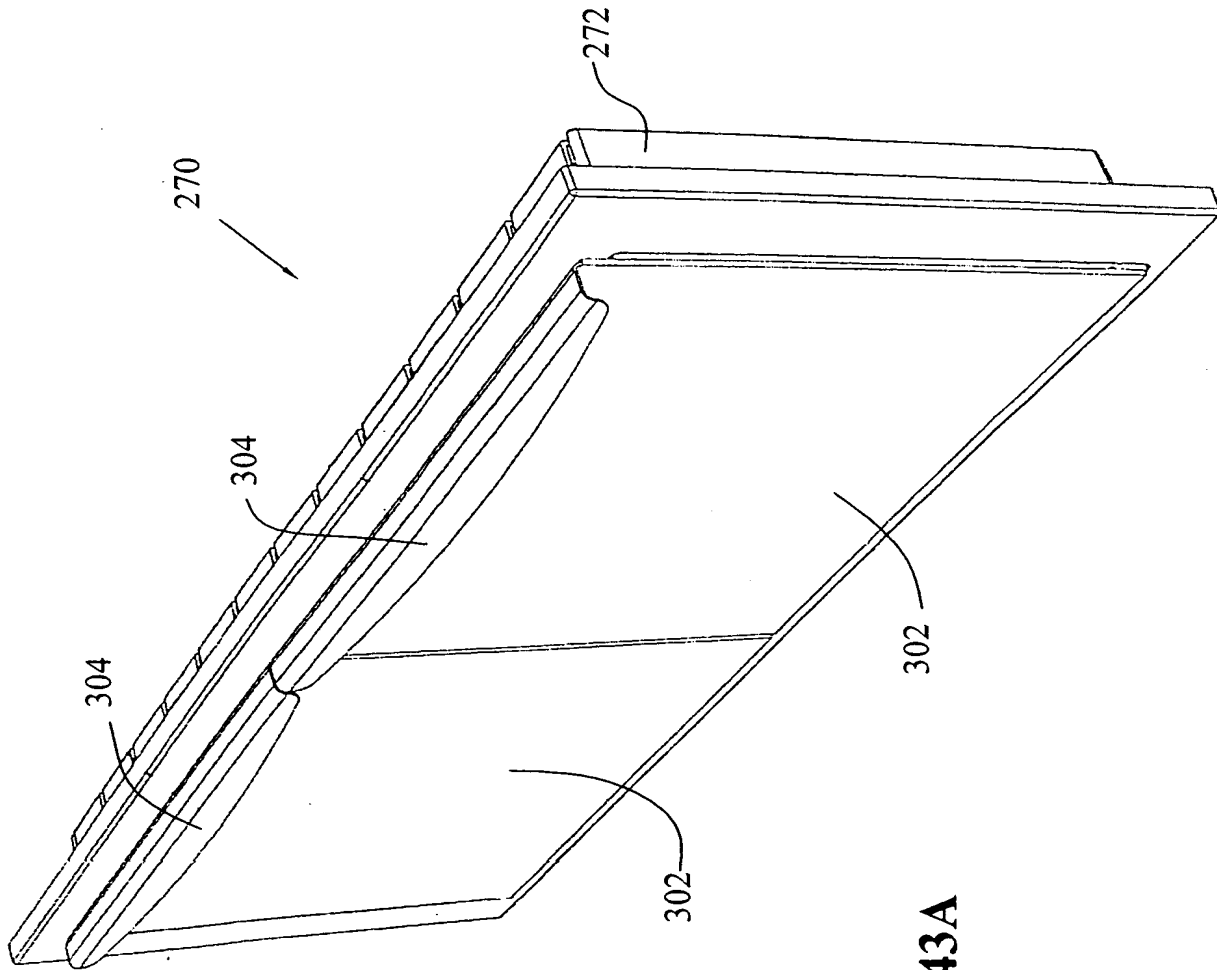


FIG. 43A

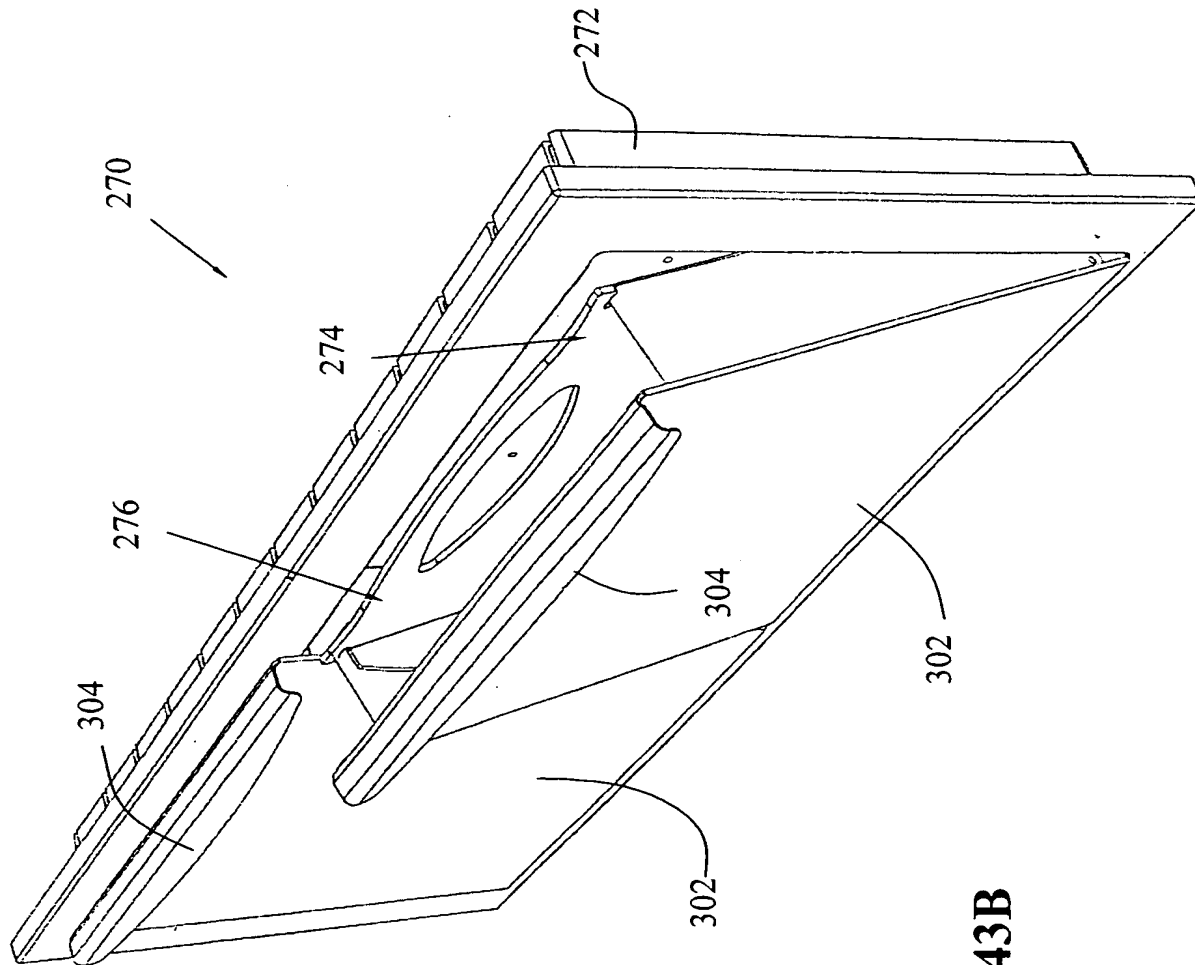


FIG. 43B

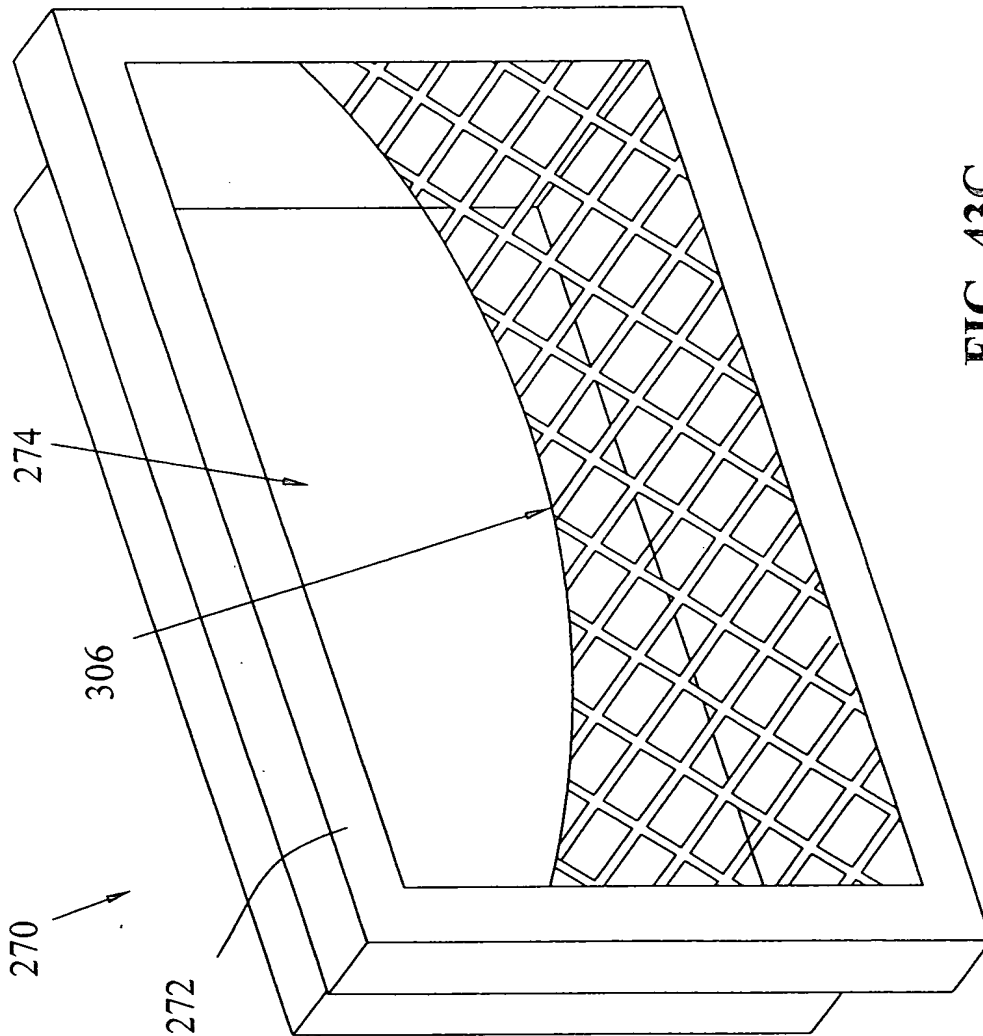


FIG. 43C

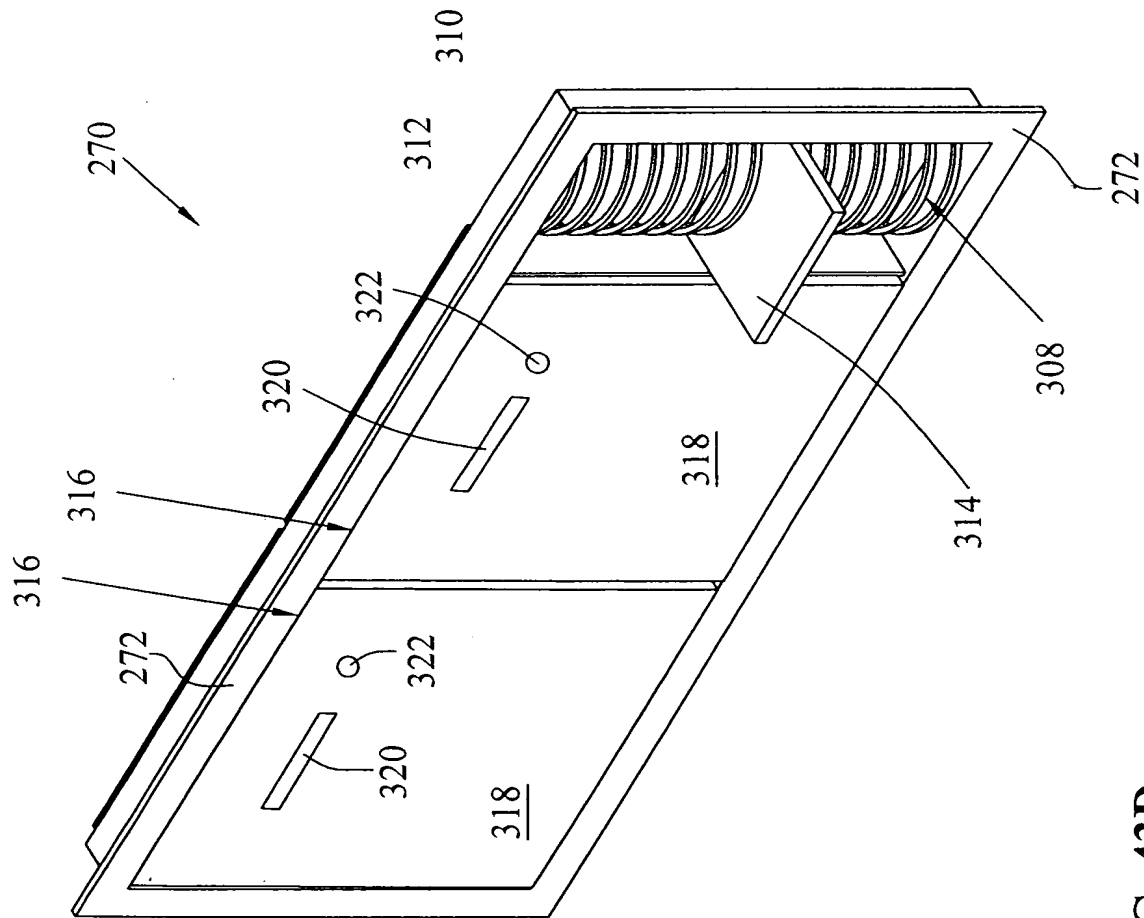


FIG. 43D

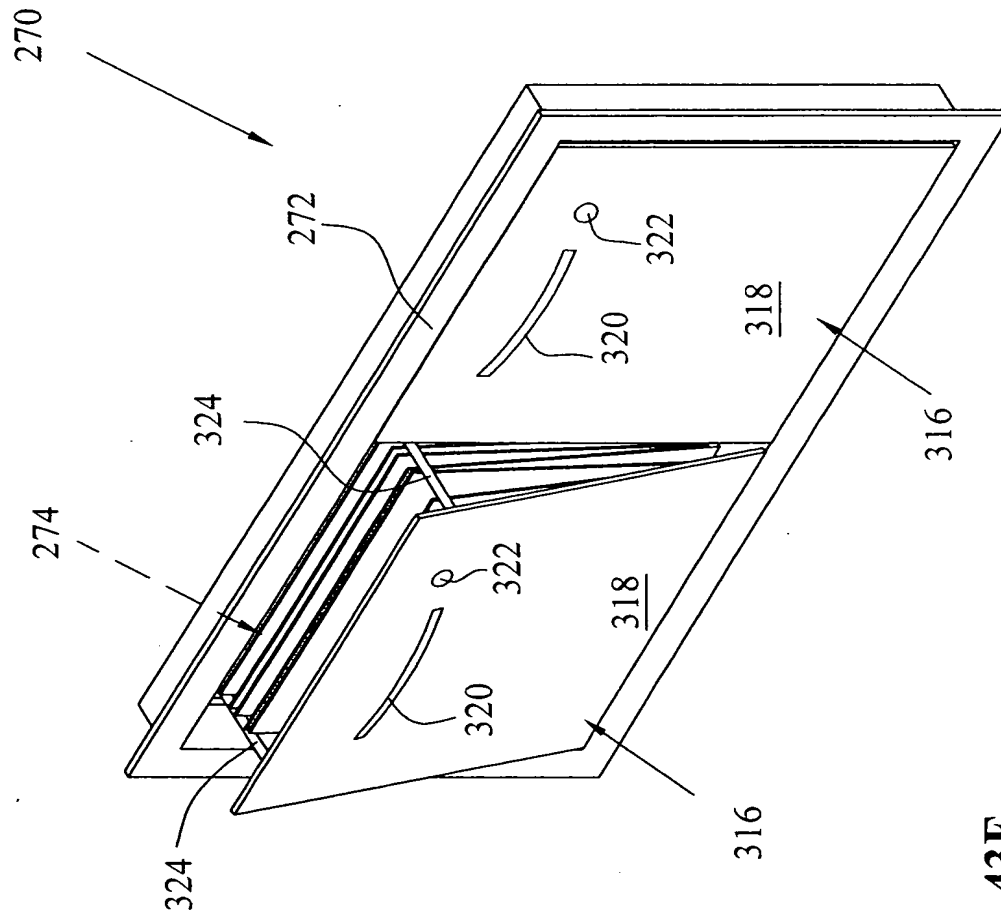


FIG. 43E

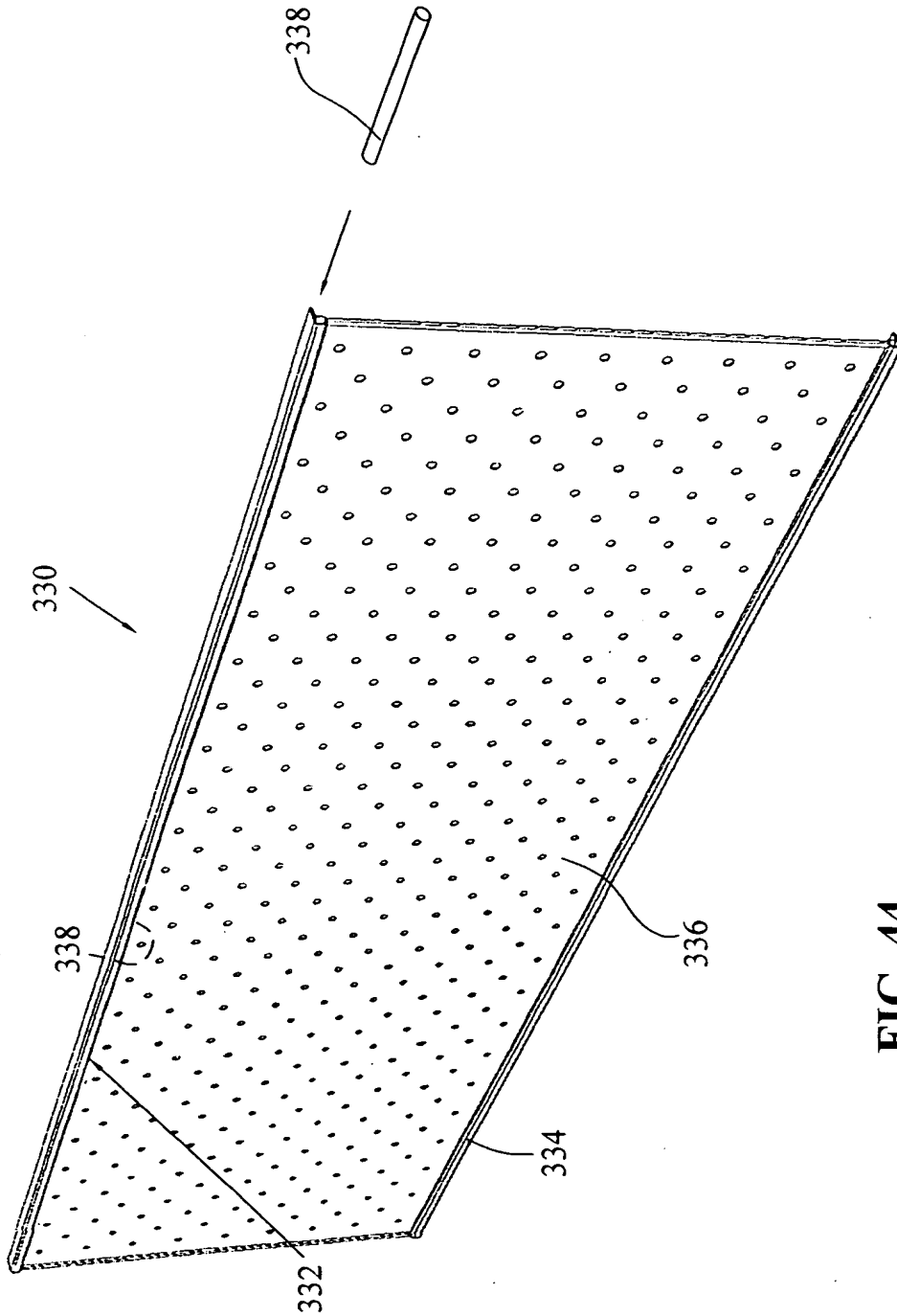


FIG. 44

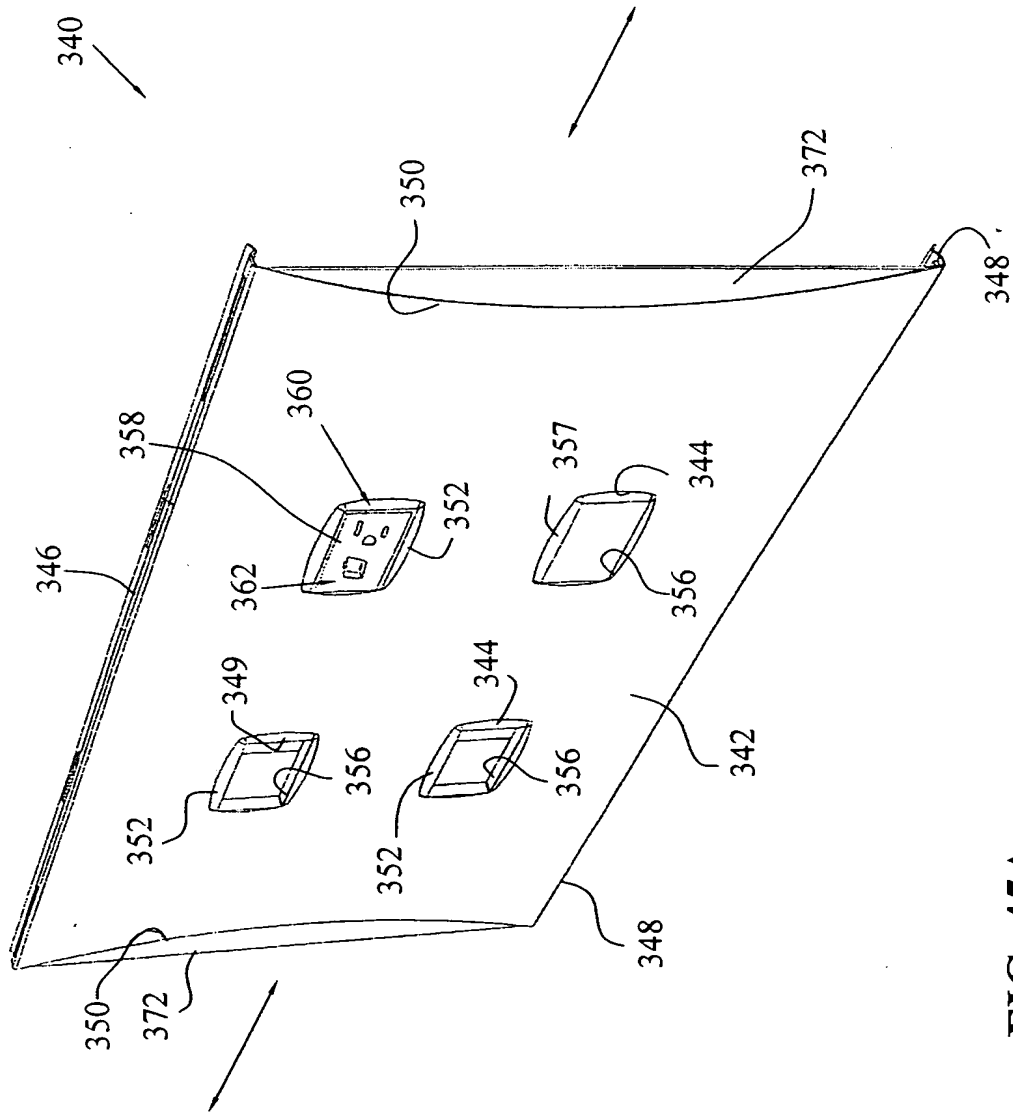


FIG. 45A

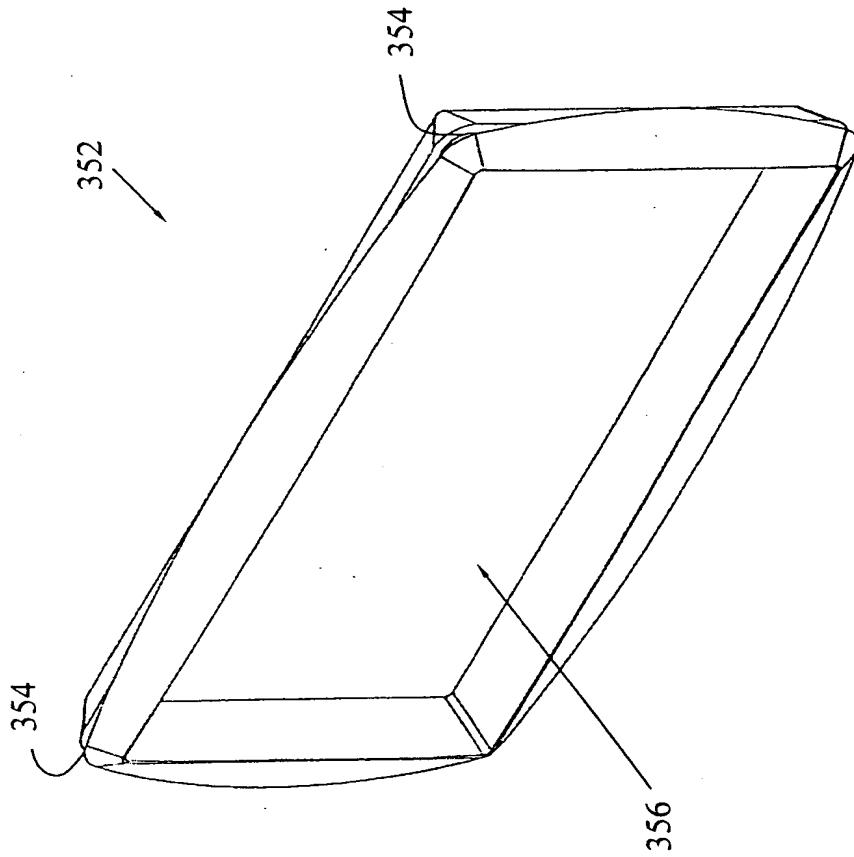
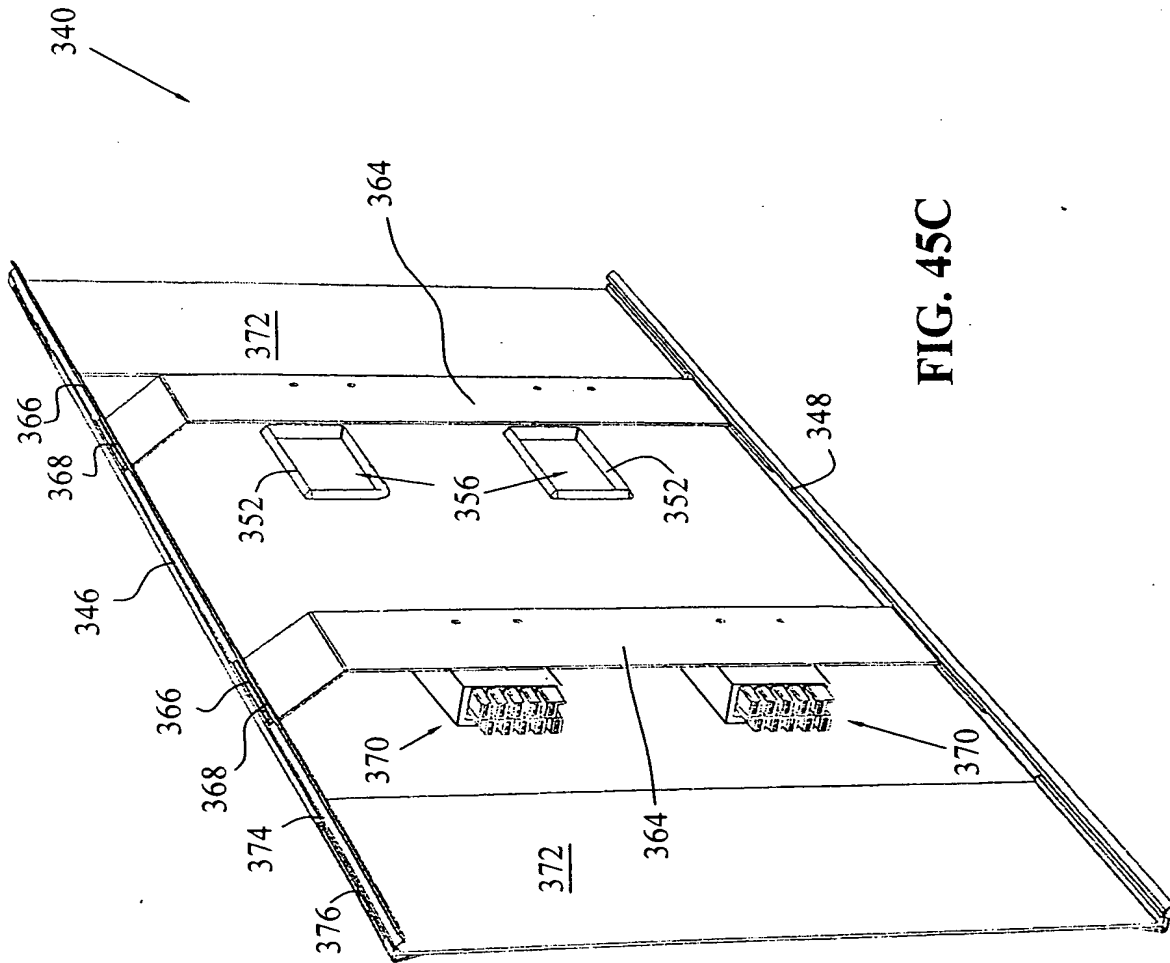
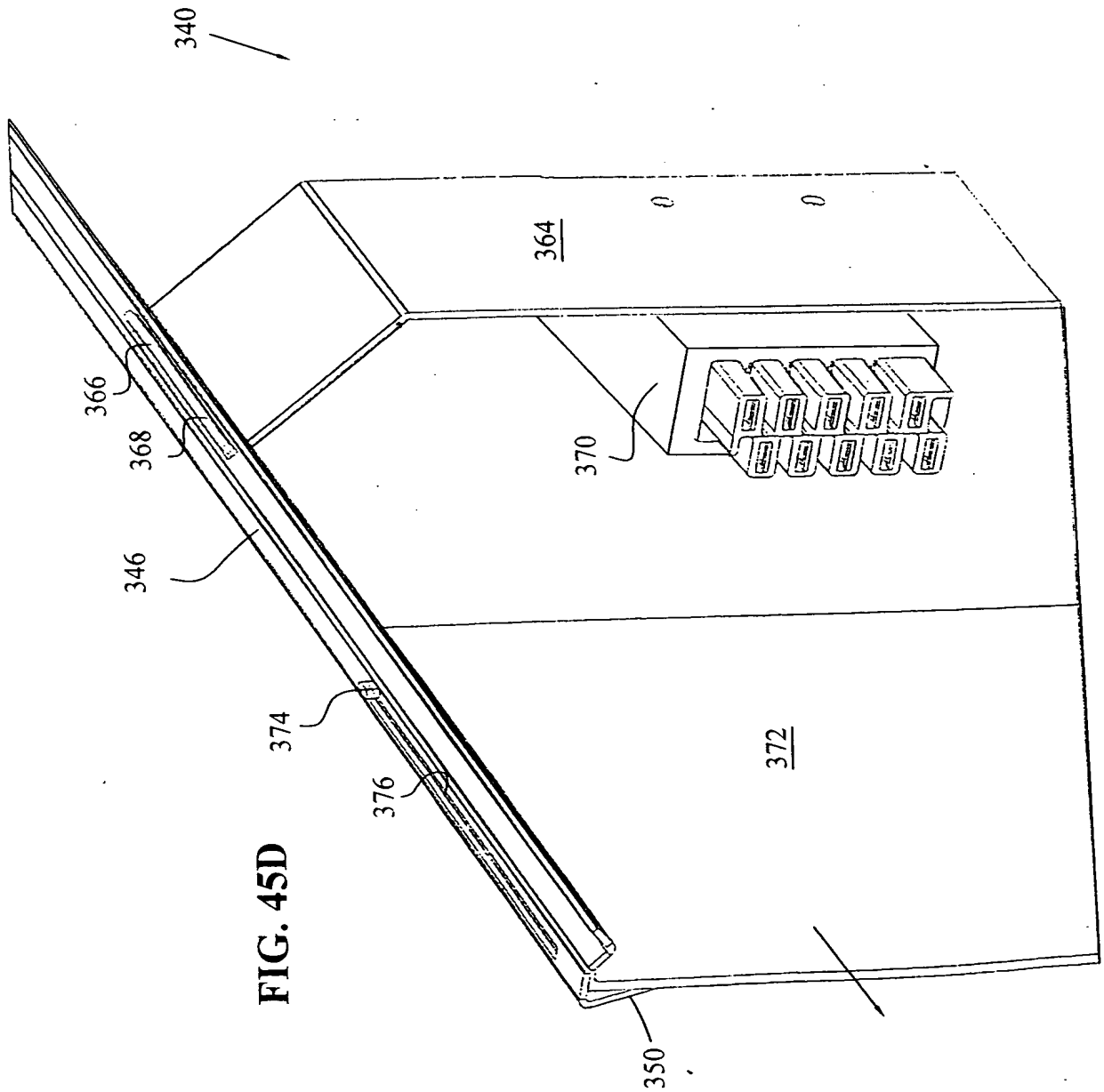
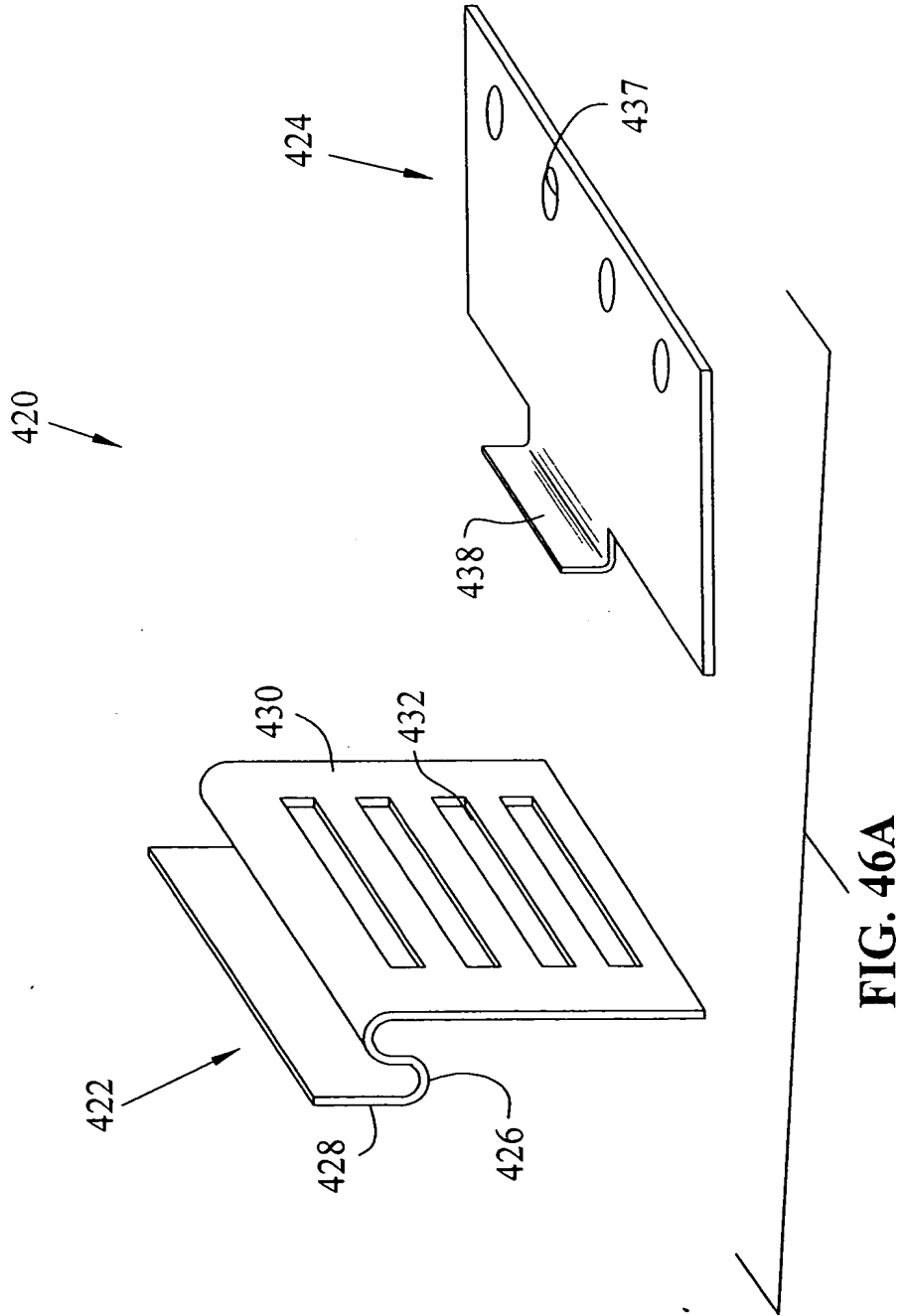


FIG. 45B







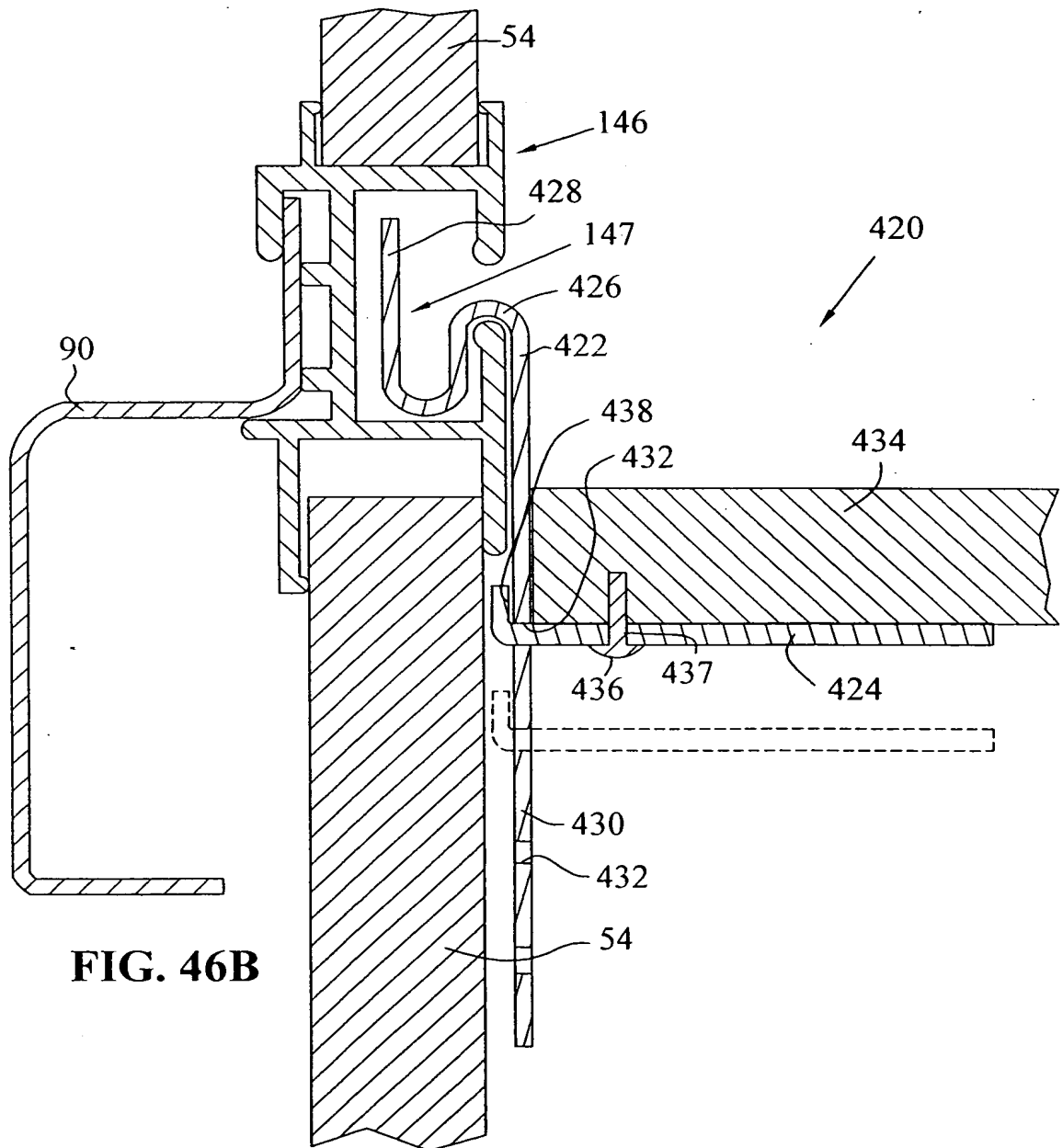
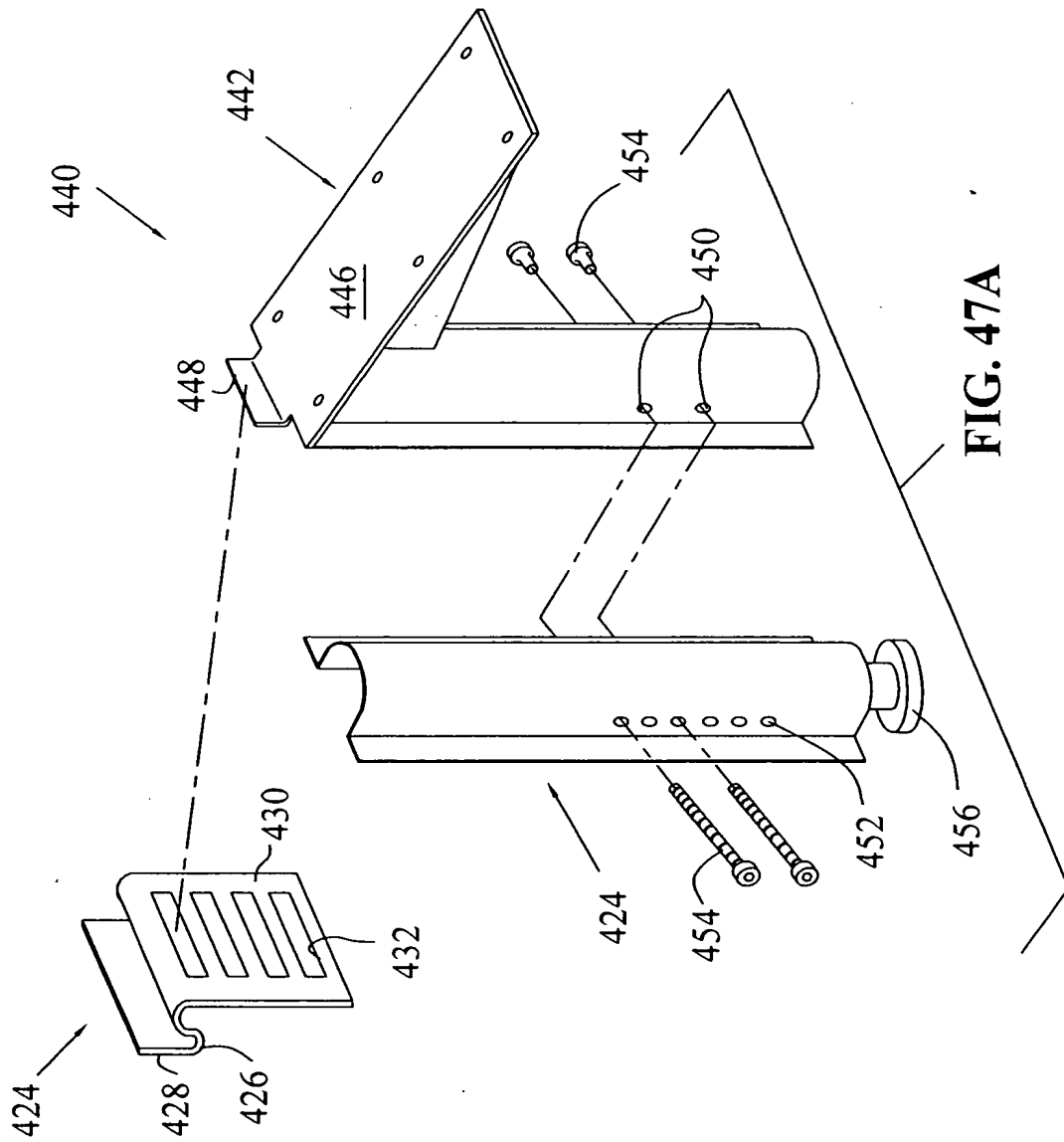


FIG. 46B



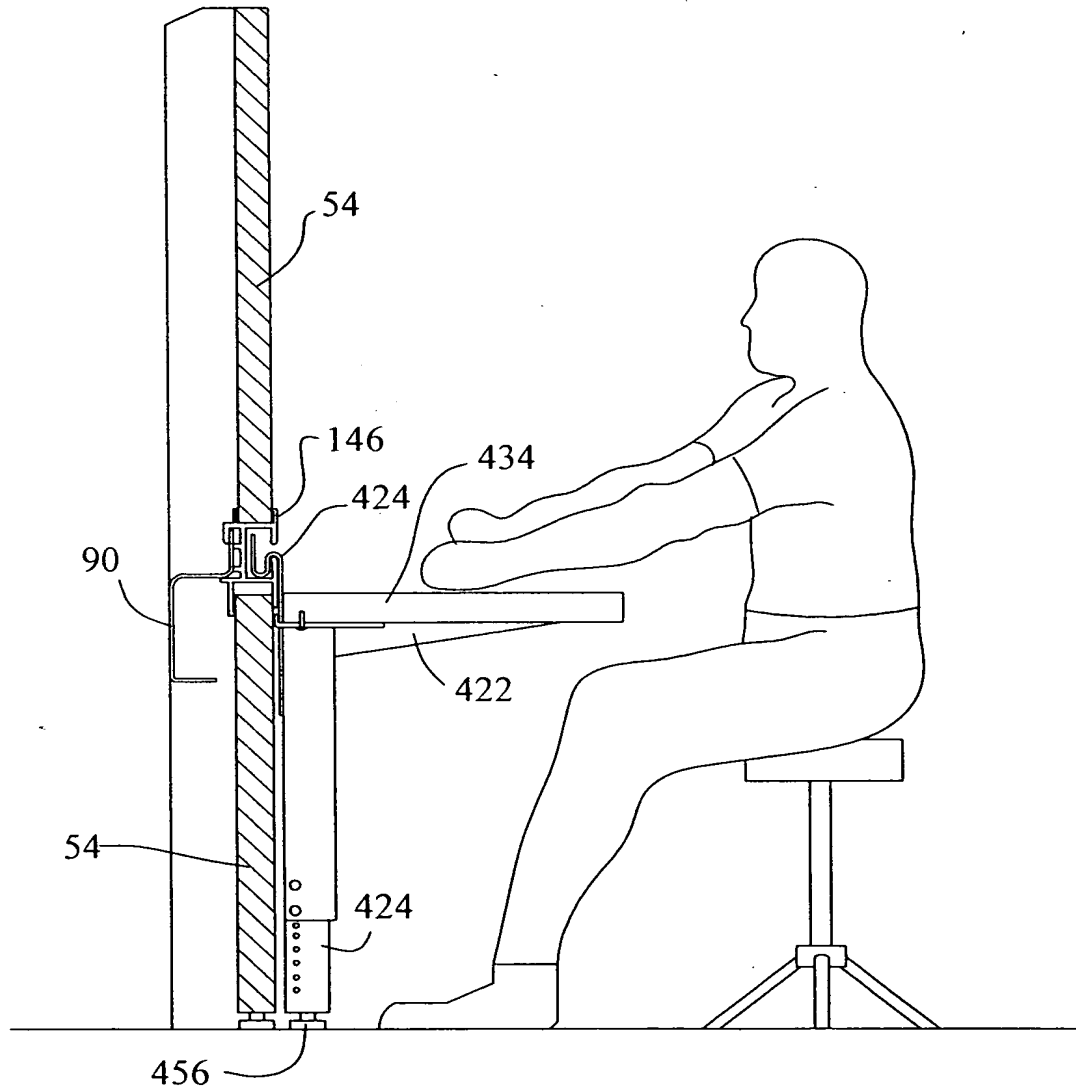


FIG. 47B